

597
A 92

Атлас

количественного распределения
демерсальных рыб шельфа
и верхнего материкового склона
северо-западной части
Берингова моря



Издательство ВНИРО

Министерство сельского хозяйства Российской Федерации
Федеральное агентство по рыболовству

Федеральное государственное унитарное предприятие
«Всероссийский научно-исследовательский институт
рыбного хозяйства и океанографии»
(ВНИРО)

Ministry of Agriculture of Russian Federation
Federal Agency for Fisheries

Federal State Unitary Enterprise
«Russian Federal Research Institute of Fisheries and Oceanography»
(VNIRO)



Атлас количественного распространения
демерсальных рыб на пологом склоне

и верхней континентальной склоне Берингова моря
в северо-западной части Северо-Восточного океана

Научно-исследовательский институт рыбного хозяйства и промышленности моря

ATLAS

**of Quantitative Distribution
of Demersal Fishes in the Shelf
and Upper Continental Slope
of the North-Western Part
of the Bering Sea.**



Moscow
VNIRO Publishing
2006

АТЛАС

количественного распределения демерсальных рыб шельфа и верхнего материкового склона северо-западной части Берингова моря



Москва
Издательство ВНИРО
2006

УДК 597-152.6:591.9(084.4) (265.518)

Автор-составитель: *А.И. Глубоков, д-р биол. наук*

Compiler: *A.I. Glubokov, Dr. Sc. (Biology)*

Оформление обложки: *Т.В. Шувалова*

Cover design: *T.V. Shuvalova*

А 92 **Атлас** количественного распределения демерсальных рыб шельфа и верхнего материкового склона северо-западной части Берингова моря.— М.: Изд-во ВНИРО, 2006. - 121с.

В атласе по трапециям со сторонами 30 минут по долготе и 15 минут по широте обобщены данные траловых уловов демерсальных рыб в 20 научных экспедициях, выполненных по программе «Комплексного изучения популяционной структуры, состояния запасов минтая северо-западной части Берингова моря и его роли в современных экосистемах» в июне-декабре 1996-2003 г. с периодичностью от 1-го до 10-ти месяцев. В атлас включены наиболее интересные карты-схемы плотности распределения и таблицы обилия в единицах численности и биомассы по всем исследованным видам рыб шельфа и верхней части материкового склона северо-западной части Берингова моря.

Atlas of Quantitative Distribution of Demersal Fishes in the Shelf and Upper Continental Slope of the North-Western Part of the Bering Sea .- M.: VNIRO Publishing, 2006. – 121 p.

The atlas summarizes catch data for demersal fishes by 0,5 (longitude) x 0,25 (latitude) degree quadrangles based on the trawlings data from research cruises in June-December 1996-2003 under programm “Comprehensive studies of population structure and status of north-western Bering sea pollock stocks and pollock’s role in the modern ecosystems”. Survey periodicity was from 1 to 10 months. The atlas includes the most interesting maps of fishes distribution and tables of numbers and biomass of all studied fishes in the shelf and upper continental slope of the north-western part of the Bering sea.

ВВЕДЕНИЕ

Настоящий Атлас посвящен количественному распределению демерсальных рыб северо-западной (российской) части Берингова моря. Атлас является первым изданием подобного рода для Берингова моря. Данной публикацией продолжаются работы по изданию аналогичных атласов для бассейна северной части Тихого океана, начатые ВНИРО и ТИНРО-центром в 2002-2003 гг. [Атлас.., 2002, 2003, 2004, Нектон.., 2003, 2004].

Определение количественной информации по нектону в серии Атласов ТИНРО-центра выполнено по одноградусным трапециям. В настоящем Атласе разрешение растра составляет 30 минут по долготе и 15 минут по широте. При таком разрешении одну одноградусную трапецию составляет 8 трапеций.

Фактический материал для Атласа собран в 20-ти экспедициях 1996-2003 гг., проведенных ВНИРО, КамчатНИРО и ТИНРО-центром по совместной программе «Комплексного изучения популяционной структуры, состояния запасов минтая северо-западной части Берингова моря и его роли в современных экосистемах».

В ходе реализации программы был применен новый методологический подход к изучению морских промысловых рыб путем проведения многократных в течение года съемок для оценки особенностей сезонной и межгодовой динамики функционирования популяций морских рыб, сбора достоверной комплексной информации о биологии, популяционной структуре и биомассе запасов. Впервые в истории регулярных исследований биологических ресурсов дальневосточных морей на единой методической основе собрана 8-летняя непрерывная посезонная информация о количественном распределении рыб северо-западной части Берингова моря. Полученные уникальные данные позволили построить надежные карты летнего, осеннего и зимнего распределения демерсальных рыб.

Так как экспедиции в первую очередь были сориентированы на изучение минтая *Theragra chalcogramma* и входящих в те же ихтиоцены наиболее массовых промысловых рыб (трески *Gadus macrocephalus*; белокорого *Hippoglossus stenolepis*, синекорого *Reinhardtius hippoglossoides matsuurae*, азиатского стрелозубого *Atherestes evermanni*, американского стрелозубого *Atherestes stomias* палтусов; двухлинейной *Lepidopsetta polyxystra*, палтусовидной *Hippoglossoides elassodon* и четырехбугорчатой *Pleuronectes quadrituberculatus* камбал), именно по ним получены наиболее точные количественные оценки. В 18-ти из 20-ти экспедиций лов гидробионтов проводили японские рыбаки, обладающие виртуозным умением работы донным тралом, что позволило получить достаточно полные оценки обилия всех демерсальных видов рыб. В то же время, имел место недоучет многих непромысловых, особенно редких, видов, так как схемы объектных съемок учитывали в первую очередь распределение массовых промысловых рыб.

В связи с тем, что схемы съемок были составлены в соответствии с батиметрическим распределением массовых скоплений минтая, вне учета оказались внутренняя часть шельфа с глубинами менее 50 м, нижняя часть материкового склона и ложе с глубинами более 370-400 м.

В Атлас включены наиболее интересные карты-схемы плотности распределения и таблицы обилия в единицах численности и биомассы по всем исследованным видам рыб шельфа и верхней части материкового склона северо-западной части Берингова моря. В таблицы, помимо демерсальных рыб, включены также некоторые пелагические виды (кета *Oncorhynchus keta*, нерка *Oncorhynchus nerka*, чавыча *Oncorhynchus tshawytscha*, тихоокеанская сельдь *Clupea pallasi*, тихоокеанская мойва *Mallotus villosus catervarius*), отмеченные в уловах донным тралом. Несмотря на то что полученные значения обилия по этим видам занижены, представляют несомненный интерес количественные характеристики их встречаемости у дна.

Собранная в издании база данных по обилию демерсальных рыб уникальна и может использоваться в качестве надежного источника информации по сезонному количественному распределению демерсальных рыб шельфа и верхней части материкового склона северо-западной части Берингова моря. Особую ценность данным придает то, что в ближайшие годы, вряд ли, удастся повторить многолетние траловые съемки с периодичностью в 1-10 месяцев.

МАТЕРИАЛ И МЕТОДИКА

Таблицы (табл. 2 - 10) и карты (рис. 1 – 74), опубликованные в настоящем Атласе, выполнены по результатам 20-ти донных траловых съемок 1996-2003 гг. (табл. 1). Все данные, использованные при составлении Атласа, были тщательно верифицированы. Продолжительность тралений, как правило, составляла от 30 минут до 1 часа, в редких случаях продолжительность тралений составляла 15 минут.

Обилие рассчитывали как частное от деления улова конкретного вида на площадь протраленного прямоугольника. Ввиду простоты формулы она здесь не приводится.

В последнее время часто дискутируется необходимость расчета обилия в объеме. Иными словами, необходимость умножать полученную на плоскости цифру на вертикальное развитие скоплений. Однако, на наш взгляд, такие расчеты будут правомочны только при наличии интегральной информации о трехмерной структуре скоплений на протяжении всего периода наблюдения (траления), включая изменения плотности. Такие данные можно получить исключительно гидроакустическими методами. При введении поправочных коэффициентов на распространение скоплений по вертикали при расчетах обилия по результатам ловов (трабовых, кошельковых и др.) всегда будут возникать значительные незакономерные ошибки, полностью исключающие возможность какого-либо сравнения данных между собой и с результатами, полученными ранее другими исследователями. Как справедливо отмечено И.В.Волвенко: «Слабая изученность хорологии большинства видов ведет к тому, что использование «объемного» метода зачастую дает на выходе увеличение не информации, а энтропии» [Атлас., 2003]. Поэтому при расчетах обилия рыб для настоящего Атласа поправочные коэффициенты на размер скоплений по вертикали не вводили, что, безусловно, занизило оценки.

Таблица 1

Список рейсов, материалы которых были использованы при составлении Атласа

Номер	Год	Месяцы	Тип и название судна	Наблюдатели
1	1996	Июнь-июль	Хокутен «Реан мару №35»	П.А.Балыкин ² , О.Г.Золотов ²
2	1996	Июль-август	Хокутен «Эйкю мару №75»	А.И.Глубоков ¹ , В.В.Масленников ¹
3	1996	Сентябрь-октябрь	Хокутен «Реан мару №35»	А.И.Варкентин ² , Н.И.Науменко ²
4	1996	Декабрь	Хокутен «Реан мару №35»	Е.А.Михалютин ² , И.К.Трофимов ²
5	1997	Июнь	Хокутен «Кайе-мару №28»	С.И.Моисеев ¹ , А.М.Орлов ¹
6	1997	Июнь	Хокутен «Тенью-мару №78»	А.С.Кровнин ¹ , В.Н.Филатов ³
7	1997	Июнь-июль	Хокутен «Эйкю мару №75»	А.И.Глубоков ¹ , К.В.Уколов ¹
8	1998	Ноябрь	Хокутен «Кайе-мару №28»	В.А.Бизиков ¹ , Ч.М.Нигматуллин ⁴
9	1998	Декабрь	Хокутен «Тенью-мару №78»	Д.О.Алексеев ¹
10	1999	Июнь	Хокутен «Кайе-мару №28»	В.А.Бизиков ¹ , А.И.Глубоков ¹
11	1999	Декабрь	Хокутен «Кайе-мару №28»	Д.О.Алексеев ¹ , В.А.Бизиков ¹
12	2000	Июнь	Хокутен «Кайе-мару №28»	Д.О.Алексеев ¹ , А.И.Глубоков ¹
13	2000	Сентябрь-октябрь	Хокутен «Кайе-мару №28»	С.Б.Попов ¹ , Д.А.Терентьев ²
14	2001	Июнь-июль	Хокутен «Кайе-мару №28»	А.И.Глубоков ¹ , Ю.А.Федорец ³
15	2001	Август	Хокутен «Кайе-мару №28»	Д.О.Алексеев ¹ , Р.Н.Новиков ²
16	2001	Октябрь-декабрь	Хокутен «Кайе-мару №28»	С.Б.Попов ¹ , Д.А.Терентьев ²
17	2002	Август-сентябрь	Хокутен «Кайе-мару №28»	А.О.Золотов ²
18	2002	Ноябрь	Хокутен «Кайе-мару №28»	А.А.Бонк ² , С.Б.Попов ¹
19	2003	Октябрь-ноябрь	РТМС «Багратион»	А.А.Баланов ⁵ , А.В.Буслов ² , А.О.Золотов ² , Г.В.Норвилло ¹ , А.В.Ходаков ¹
20	2003	Октябрь-ноябрь	БАТМ «Пионер Николаева»	А.И.Глубоков ¹ , С.Б.Попов ¹

Наблюдатели:

- ¹- Всероссийского научно-исследовательского института рыбного хозяйства и океанографии (ВНИРО);
- ²- Камчатского научно-исследовательского института рыбного хозяйства и океанографии (КамчатНИРО);
- ³- Тихookeанского научно-исследовательского рыбохозяйственного центра (ТИНРО-центр);
- ⁴- Атлантического научно-исследовательского института рыбного хозяйства и океанографии (АтлантНИРО);
- ⁵- Институт биологии моря ДВО РАН.

При расчетах нами использован наиболее употребимый в настоящее время коэффициент уловистости, равный 1. В действительности, конечно, коэффициент уловистости в той или иной степени меньше 1. Однако при попытке ввести усредненные коэффициенты уловистости для отдельных видов гидробионтов, типов орудий лова и даже групп особей разного размера никогда не учитывается еще один важный фактор – плотность скоплений, тогда как коэффициент уловистости одной и той же размерной группы тралом может различаться более чем в десять раз для разреженных и плотных скоплений. В этой связи с уверенностью можно сказать, что при использовании усредненного коэффициента уловистости для конкретного случая также возникают существенные ошибки в расчетных значениях обилия.

Таким образом, в настоящем издании при количественных расчетах использованы классические методы, дающие заниженную оценку обилия. Тем не менее данные, полученные традиционными методами, обладают главным достоинством – возможностью сравнения с результатами других исследователей. При необходимости коэффициент уловистости может быть легко пересчитан на любой, использованный в сравниваемых расчетах.

Принятое при построении карт разрешение растра составляет 30 минут по долготе и 15 минут по широте. На 60-й параллели Северного полушария, вблизи которой расположена большая часть станций траловых съемок, 30 минут по долготе приблизительно равны 15 минутам по широте и составляют 15 миль. В связи с различиями в схемах траловых съемок по сезонам, связанными с особенностями становления и распадения льда, общее количество трапеций при построении летних карт составило 148, осенних – 110, зимних – 122. Трапеции в принятой для всех карт проекции Меркатора, которая используется для производства морских навигационных карт, выглядят квадратами. Интенсивность окраски квадратов пропорциональна плотности распределения. Карты распределения видов, принадлежащих к одному надвидовому таксону (семейству или отряду), окрашивали одним цветом.

Картографической основой Атласа послужили электронные навигационные карты Государственного Управления навигации и океанографии (ГУНИО).

Построение карт осуществляли в программе «ArcView GIS 3.2» (Copyright © 1992-1999 Environmental Systems Research Institute, Inc.).

При составлении таблиц обилия осреднение проводили по следующим трем районам северо-западной части Берингова моря:

- Олюторско-Карагинский, включающий Каагинскую подзону Восточно-Камчатской зоны;
- Корякский (от 170° до 177° в.д.);
- Наваринский (к востоку от 177° в. д. до границы исключительной экономической зоны Российской Федерации).

Среднение по сезонам проводили следующим образом:

- траления, выполненные с 01 июня по 15 сентября, относили к летним;
- с 16 сентября по 15 ноября – к осенним;
- с 16 ноября по 31 декабря – к зимним.

В период с 01 января по 30 мая в связи с тяжелыми ледовыми условиями траловые съемки не проводили.

Видовую идентификацию рыб выполняли по определительным таблицам и описаниям, опубликованным В.К. Солдатовым и Г.У. Линдбергом [1930], А.Я. Таранцом [1937], А.П. Андрияшевым [1954], А.Е. Peden [1979], А.В. Нееловым [1979], Н. Masuda с соавторами [1984]. Научные названия рыб приводятся в соответствии с последней номенклатурой [Eschmeyer, 2004, 2005; Froese, Pauly, 2006]. Палтусовидных камбал в большинстве рейсов на 2 вида не разделяли, поэтому в сводных таблицах в строку палтусовидная камбала включены оба вида камбал: узкозубая *Hippoglossoides elassodon* Jordan et Gilbert и северная *Hippoglossoides robustus* Gill et Townsend.

ЛИТЕРАТУРА

- Андряшев А.П.** 1954. Рыбы северных морей СССР. М., Л.: Изд-во АН СССР. 566 с.
- Атлас** распределения в море различных стад тихоокеанских лососей в период весенне-летнего нагула и преднерестовых миграций. 2002 / Под ред. О.Ф.Гриценко. М.: ВНИРО. 190 с.
- Атлас** количественного распределения нектона в Охотском море / 2003. Под ред. В.П.Шунтова, Л.Н.Бочарова. М.: ФГУП «Национальные рыбные ресурсы». 1038 с.
- Атлас** количественного распределения нектона в северо-западной части Японского моря. 2004 / Под ред. В.П.Шунтова, Л.Н.Бочарова. М.: ФГУП «Национальные рыбные ресурсы». 986 с.
- Неелов А.В.** 1979. Сеймосенсорная система и классификация керчаковых рыб (Cottidae: Myoxocephalinae, Artediellinae). Л.: Наука. 208 с.
- Нектон** Охотского моря. Таблицы численности, биомассы и соотношения видов. 2003 / Под ред. В.П.Шунтова, Л.Н.Бочарова. Владивосток: ТИНРО-центр. 643 с.
- Нектон** северо-западной части Японского моря. Таблицы численности, биомассы и соотношения видов. 2004 / Под ред. В.П.Шунтова, Л.Н.Бочарова. Владивосток: ТИНРО-центр. 225 с.
- Солдатов В.К.**, Линдберг Г.У. 1930. Обзор рыб дальневосточных морей // Владивосток: Изв. ТИНРО. Т. 5. С. 1-563.
- Таранец А.Я.** 1937. Краткий определитель рыб советского Дальнего Востока и прилежащих вод // Изв. ТИНРО. Т. 11. С. 1-200.
- Eschmeyer W.N. (ed.)**. 2004. The on-line catalog of fishes. <http://www.Calacademy.org/research/ichthyology/annotated/AnnChkPhyl.html>.
- Eschmeyer W.N. (ed.)**. 2005. The on-line catalog of fishes. <http://www.Calacademy.org/research/ichthyology/catalog/fishcatsearch.html>.
- Froese R. and Pauly D. Editors.** 2006. FishBase. World Wide Web electronic publication. www.fishbase.org, version (03/2006).

Masuda H., Amaoka K., Araga C. et al. 1984. The Fishes of the Japanese Archipelago. Tokyo: Tokai Univ. Press. 3 Vols, P. 22 + 437, 20 + 448, 370 pls.

Peden A.E. 1979. A systematic revision of the hemilepidotine fishes (Cottidae) // Ibid., 11: 11-49.

**Обилие рыб Наваринского района Берингова моря летом 1996-2003 гг. на шельфе и в верхней части материкового склона,
средняя глубина 152 м (49-387)**

Вид	Встречаемость, %	Численность, экз/мин.иль ²			Биомасса, кг/миль ²		
		минимальная	максимальная	средняя M±m	минимальная	максимальная	средняя M±m
<i>Lampetra tridentata</i>	1,3	0	88,5	0,6±0,4	0	88,5	0,5±0,4
<i>Somniosus pacificus</i>	1,3	0	1150,4	9,3±6,4	0	159292,0	970,5±724,2
<i>Bathyraja aleutica</i>	17,2	0	1769,9	39,7±9,4	0	10088,5	159,0±47,9
<i>Bathyraja matsubarae</i>	0,4	0	132,7	0,6±0,6	0	840,7	3,5±3,5
<i>Bathyraja parvifera</i>	6,7	0	463,0	11,6±3,5	0	1526,5	29,6±9,6
<i>Bathyraja violacea</i>	0,8	0	88,5	0,7±0,5	0	398,2	1,8±1,7
<i>Bathyraja spp.</i>	43,7	0	3472,2	125,4±20,8	0	15169,8	463,3±80,1
<i>Oncorhynchus keta</i>	0,4	0	44,2	0,1±0,1	0	46,3	0,2±0,2
<i>Oncorhynchus nerka</i>	1,7	0	44,2	0,6±0,3	0	354,0	1,9±1,1
<i>Chipea pallasi</i>	18,9	0	2793,2	78,4±18,9	0	1456,8	27,9±7,8
<i>Mallotus villosus catervarius</i>	9,7	0	5265,5	173,5±51,5	0	265,5	5,8±1,8
<i>Gadus macrocephalus</i>	76,5	0	12129,6	941,7±119,1	0	41203,7	1830,3±279,6
<i>Theragra chalcogramma</i>	97,9	0	2077901,2	40196,6±9534,3	0	590123,5	21822,5±3255,5
<i>Boreogadus saida</i>	15,9	0	135177,0	895,9±577,1	0	4380,5	34,7±19,0
<i>Atheresthes evermanni</i>	19,3	0	4259,3	77,7±23,9	0	3333,3	82,9±22,5

Вид	Встр- чаемость, %	Численность, экз/мил. ²			Биомасса, кг/мил. ²	
		мини- мальная	макси- мальная	средняя $M \pm m$	мини- мальная	макси- мальная
<i>Atheresthes stomias</i>	8,4	0	1061,9	21,1±7,4	0	1637,2
<i>Lepidopsetta polyxysira</i>	81,9	0	20354,0	1905,8±195,6	0	10929,2
<i>Hippoglossoides elassodon</i>	74,4	0	25354,0	2205,9±257,3	0	4778,8
<i>Limanda aspera</i>	1,3	0	177,0	1,3±0,8	0	177,0
<i>Pleuronectes quadrifiliger</i>	55,5	0	24823,0	830,9±155,9	0	21991,2
<i>Hippoglossus stenolepis</i>	28,9	0	1481,5	45,8±9,1	0	2876,1
<i>Reinhardtius hippoglossoides matsurai</i>	68,9	0	12389,4	885,1±111,8	0	18765,4
<i>Glyptcephalus zachirus</i>	0,4	0	619,5	2,6±2,6	0	61,9
<i>Myoxocephalus jaok</i>	21,0	0	13274,3	194,7±68,3	0	8849,6
<i>Myoxocephalus polyacanthocephalus</i>	53,8	0	11991,2	557,8±78,3	0	37831,9
<i>Hemilepidotus gilberti</i>	13,9	0	7831,9	168,0±54,4	0	1261,1
<i>Hemilepidotus jordani</i>	24,4	0	9305,6	412,5±89,9	0	40531,0
<i>Gymnacanthus galeatus</i>	4,2	0	1017,7	9,4±4,7	0	225,7
<i>Icelus spiniger</i>	12,6	0	1543,2	30,1±9,1	0	185,2
<i>Ulca bolini</i>	12,2	0	2654,9	44,6±15,8	0	1681,4
<i>Hemitripterus villosus</i>	0,8	0	169,8	1,3±0,9	0	154,3
<i>Triglops scepticus</i>	9,2	0	2212,4	58,7±17,2	0	110,6

Вид	Встречаемость, %	Численность, экз/милль ²			Биомасса, кг/милль ²	
		Минимальная	Максимальная	средняя $M \pm m$	минимальная	максимальная
<i>Triglops spp.</i>	0,4	0	663,7	2,8±2,8	0	44,2
<i>Dasycoctus setiger</i>	11,8	0	12522,1	109,7±54,8	0	2088,5
<i>Malacocottus zonurus</i>	18,5	0	18407,1	472,1±124,9	0	2477,9
<i>Pleurogrammus monopterygius</i>	1,3	0	44,2	0,5±0,3	0	23,1
<i>Lycodes brevipes</i>	15,1	0	8761,1	189,1±55,3	0	2787,6
<i>Lycodes concolor</i>	1,3	0	61,7	0,5±0,3	0	63,3
<i>Lycodes fasciatus</i>	10,5	0	23230,1	270,9±118,5	0	2212,4
<i>Lycodes palearis</i>	10,1	0	1769,9	30,9±9,7	0	305,3
<i>Lycodes raridens</i>	3,8	0	1404,3	16,0±7,4	0	2963,0
<i>Lycodes spp.</i>	6,3	0	5309,7	97,6±34,0	0	531,0
<i>Liparis ochotensis</i>	6,3	0	1327,4	23,4±8,6	0	1415,9
<i>Bothrocara brumea</i>	0,4	0	221,2	0,9±0,9	0	132,7
<i>Careproctus furcellus</i>	4,2	0	2284,0	12,8±9,8	0	870,4
<i>Careproctus rasimus</i>	6,7	0	4424,8	51,6±24,4	0	2212,4
<i>Careproctus spp.</i>	2,9	0	5221,2	27,1±22,1	0	1924,8
<i>Stichaeus punctatus</i>	1,3	0	1327,4	7,2±5,8	0	973,5
<i>Lumpenus sagitta</i>	2,9	0	663,7	8,4±4,0	0	66,4

Вид	Встречаемость, %	Численность, экз/милль ²			Биомасса, кг/милль ²	
		мини- мальная	макси- мальная	средняя $M \pm m$		
<i>Percis japonicus</i>	17,6	0	3451,3	$677 \pm 21,8$	0	$663,7$
<i>Serritor frenatus</i>	5,0	0	463,0	$6,2 \pm 2,6$	0	$46,3$
<i>Serritor leptorhynchus</i>	3,8	0	370,4	$3,2 \pm 1,7$	0	$23,1$
<i>Podothecus accipenserinus</i>	4,6	0	2212,4	$31,2 \pm 13,2$	0	$221,2$
<i>Aspidophoroides bartoni</i>	0,8	0	169,8	$0,8 \pm 0,7$	0	$77,2$
<i>Aptocyclus ventricosus</i>	1,7	0	44,2	$0,6 \pm 0,3$	0	$110,6$
<i>Cyclopterus lindbergii</i>	2,9	0	3539,8	$38,7 \pm 19,6$	0	$177,0$
<i>Sebastes aleutianus</i>	0,8	0	46,3	$0,4 \pm 0,3$	0	$92,6$
<i>Sebastes alutus</i>	6,7	0	840,7	$12,2 \pm 4,9$	0	$309,7$
<i>Sebastes borealis</i>	2,1	0	277,8	$2,8 \pm 1,5$	0	$246,9$
<i>Anoplopoma fimbria</i>	0,4	0	77,2	$0,3 \pm 0,3$	0	$222,2$
						$0,9 \pm 0,9$

Обилие рыб Наваринского района Берингова моря осенью 1996-2003 гг. на шельфе и в верхней части материкового склона, средняя глубина 143 м (68-305)

Вид	Встр- чаемость, %	Численность, экз/милль ²				Биомасса, кг/милль ²
		мини- мальная	макси- мальная	средняя $M \pm m$	мини- мальная	
<i>Somniosus pacificus</i>	2,2	0	44,2	0,8±0,5	0	10619,5
<i>Bathyraja aleutica</i>	2,2	0	132,7	1,6±1,1	0	451,3
<i>Bathyraja parmifera</i>	9,4	0	1460,2	27,6±12,8	0	2407,1
<i>Bathyraja violacea</i>	6,5	0	265,5	5,6±2,4	0	1743,4
<i>Bathyraja maculata</i>	9,4	0	796,5	24,2±8,1	0	2654,9
<i>Bathyraja spp.</i>	39,8	0	1543,2	97,9±19,1	0	6172,8
<i>Oncorhynchus keta</i>	3,6	0	92,6	1,9±0,9	0	234,5
<i>Oncorhynchus nerka</i>	1,4	0	44,2	0,5±0,4	0	146,0
<i>Oncorhynchus tshawytscha</i>	1,4	0	221,2	1,9±1,6	0	398,2
<i>Clupea pallasi</i>	63,0	0	4424778,8	37570,4±32275,6	0	1414601,8
<i>Mallotus villosus catervarius</i>	6,5	0	88,5	2,9±1,0	0	752,2
<i>Eleginus gracilis</i>	1,4	0	2212,4	16,7±16,0	0	1238,9
<i>Gadus macrocephalus</i>	82,6	0	38938,1	1505,1±352,2	0	36982,3
<i>Theragra chalcogramma</i>	100,0	420,4	1842101,8	127568,7±19191,4	26,5	360309,7
<i>Boreogadus saida</i>	3,6	0	442,5	7,7±4,6	0	42,0
<i>Atheresthes evermanni</i>	36,2	0	3716,8	145,6±39,9	0	3362,8
<i>Atheresthes stomias</i>	26,1	0	7345,1	330,9±94,1	0	7256,6

Вид	Встречаемость, %	Численность, экз/миль ²			Биомасса, кг/миль ²		
		минимальная	максимальная	средняя $M \pm m$	минимальная	максимальная	средняя $M \pm m$
<i>Lepidopsetta polyxystra</i>	78,2	0	72234,5	1565,0±577,5	0	34601,8	842,3±294,7
<i>Hippoglossoides elassodon</i>	93,4	0	24469,0	1589,5±235,3	0	3371,7	334,0±41,1
<i>Limanda aspera</i>	5,1	0	4778,8	41,0±34,7	0	2754,4	22,8±20,0
<i>Limanda sakhalinensis</i>	5,8	0	1327,4	13,1±9,8	0	212,4	3,5±1,9
<i>Myzopsetta proboscidea</i>	2,1	0	5531,0	40,7±40,1	0	2754,4	20,1±20,0
<i>Pleuronectes quadri-tuberculatus</i>	34,7	0	23053,1	286,0±169,3	0	27168,1	335,1±199,3
<i>Hippoglossus stenolepis</i>	30,4	0	265,5	22,9±4,0	0	1637,2	164,4±30,1
<i>Reinhardtius hippoglossoides matsuurae</i>	76,1	0	4911,5	364,2±63,4	0	4166,7	252,8±39,9
<i>Glyptocephalus zachirus</i>	1,4	0	44,2	0,5±0,4	0	2,9	0,03±0,02
<i>Myoxocephalus jaok</i>	26,8	0	3407,1	102,7±31,4	0	6858,4	192,0±60,1
<i>Myoxocephalus polyacanthocephalus</i>	33,3	0	5575,2	161,9±51,8	0	11708,0	365,0±105,8
<i>Melletes papilio</i>	1,4	0	973,5	7,4±7,1	0	177,0	1,4±1,3
<i>Hemilepidotus gilberti</i>	18,1	0	1725,7	73,3±21,5	0	575,2	21,8±6,8
<i>Hemilepidotus jordani</i>	16,6	0	10619,5	158,9±91,6	0	2561,9	67,8±30,6
<i>Hemilepidotus spp.</i>	0,7	0	1725,7	12,5±12,5	0	531,0	3,8±3,8
<i>Gymnacanthus galeatus</i>	8,7	0	6991,2	71,8±51,8	0	2079,6	20,5±15,3
<i>Icelus spiniger</i>	18,8	0	1991,2	70,4±19,5	0	221,2	6,8±2,0
<i>Ulca holini</i>	15,2	0	663,7	16,7±5,7	0	575,2	32,6±8,8
<i>Triglops forficatus</i>	1,4	0	752,2	7,1±5,7	0	79,6	0,7±0,6

Вид	Встречаемость, %	Численность, экз/милль ²			Биомасса, кг/милль ²		
		минимальная	максимальная	средняя M±m	минимальная	максимальная	средняя M±m
<i>Triglops scepticus</i>	6,5	0	132,7	1,9±1,2	0	44,2	0,6±0,3
<i>Triglops spp.</i>	2,2	0	463,0	4,5±3,5	0	46,3	0,4±0,3
<i>Dasycottus setiger</i>	15,9	0	1902,7	38,8±15,9	0	398,2	9,9±3,6
<i>Malaccocottus zonurus</i>	23,1	0	8982,3	324,1±104,0	0	1703,5	52,4±17,6
<i>Pleurogrammus monopterygius</i>	0,7	0	22,1	0,2±0,2	0	11,1	0,1±0,1
<i>Lycodes brevipes</i>	10,9	0	973,5	23,6±8,6	0	88,5	5,1±1,5
<i>Lycodes concolor</i>	15,2	0	663,7	26,1±7,3	0	1460,2	19,2±10,9
<i>Lycodes fascianus</i>	13,0	0	1814,2	30,6±13,9	0	4424,8	70,3±34,2
<i>Lycodes palearis</i>	13,0	0	1504,4	30,5±12,6	0	185,2	5,8±1,9
<i>Lycodes ravidens</i>	1,4	0	44,2	0,6±0,5	0	70,8	1,0±0,7
<i>Lycodes spp.</i>	4,3	0	277,8	4,4±2,4	0	46,3	1,2±0,5
<i>Liparis ochotensis</i>	19,6	0	2610,6	51,6±21,1	0	3628,3	101,7±35,2
<i>Careproctus furcellus</i>	2,2	0	1814,2	17,6±13,5	0	672,6	9,1±5,7
<i>Careproctus rastrellinus</i>	19,6	0	398,2	21,3±5,1	0	230,1	8,4±2,3
<i>Careproctus spn.</i>	9,4	0	925,9	19,9±8,6	0	185,2	6,7±2,6
<i>Zaprora silenus</i>	4,3	0	370,4	7,4±3,6	0	92,6	1,8±0,9
<i>Stichaeus punctatus</i>	3,6	0	553,1	8,5±5,1	0	132,7	2,1±1,4
<i>Lumpenus sagitta</i>	0,7	0	973,5	7,1±7,1	0	8,8	0,1±0,1
<i>Percis japonicus</i>	21,7	0	575,2	29,6±7,0	0	66,4	4,1±1,0

Вид	Встречаемость, %	Численность, экз/миль ²			Биомасса, кг/миль ²
		минимальная	максимальная	средняя M±m	
<i>Sarritor frenatus</i>	9,4	0	619,5	20,0±7,3	0
<i>Sarritor leptorhynchus</i>	0,7	0	44,2	0,3±0,3	24,3
<i>Podothecus accipenserinus</i>	5,8	0	796,5	13,1±6,7	0
<i>Podothecus sturioides</i>	0,7	0	44,2	0,3±0,3	3,5
<i>Aptocyclus ventricosus</i>	7,2	0	110,6	4,0±1,4	53,1
<i>Cyclopterus lindbergii</i>	2,2	0	177,0	2,6±1,6	0
<i>Sebastes aleutianus</i>	1,4	0	221,2	1,9±1,6	210,2
<i>Sebastes alutus</i>	8,7	0	929,2	12,7±7,0	0
<i>Sebastes borealis</i>	2,2	0	370,4	3,0±7,0	265,5
					61,9
					138,9
					925,9
					3,1±1,3
					6,8±6,7

Таблица 4
Обилие рыб Наваринского района Берингова моря зимой 1996-2003 гг. на шельфе и в верхней части материкового склона, средняя глубина 139 м (72-400)

Вид	Встречаемость, %	Численность, экз/миль ²			Биомасса, кг/миль ²
		минимальная	максимальная	средняя M±m	
<i>Bathyraja spp.</i>	97,4	0	5663,7	900,5±184,7	0
<i>Clupea pallasi</i>	28,2	0	9444,4	875,7±319,3	16061,9
<i>Eleginops gracilis</i>	5,1	0	246,9	7,1±6,4	1586,4
<i>Gadus macrocephalus</i>	82,0	0	13451,3	1429,9±464,3	2073,1±678,1
					3931,0±684,6
					122,5±49,3
					2,2±1,9
					20177,0

Вид	Встречаемость, %	Численность, экз./миль ²			Биомасса, кг/миль ²		
		Минимальная	Максимальная	средняя M±m	минимальная	максимальная	средняя M±m
<i>Theragra chalcogramma</i>	100,0	44,2	202831,9	32758,1±7372,7	13,3	131238,9	14901,7±3813,4
<i>Atheresthes evermanni</i>	15,3	0	442,5	25,0±13,2	0	1017,7	64,5±30,8
<i>Atheresthes stomias</i>	5,1	0	61,7	2,4±1,8	0	347,2	11,3±9,2
<i>Lepidopsetta polyxystra</i>	68,6	0	11061,9	1773,8±454,0	0	7389,4	1245,1±338,6
<i>Hippoglossoides elassodon</i>	76,9	0	8451,3	1968,0±356,8	0	3849,6	589,2±120,4
<i>Pleuronectes quadrifiligerulus</i>	61,5	0	23185,8	1166,9±595,6	0	30132,7	1463,8±777,5
<i>Hippoglossus stenolepis</i>	33,3	0	1858,4	127,9±55,2	0	9203,5	1167,5±409,9
<i>Reinhardtius hippoglossoides matsuurae</i>	41,0	0	885,0	126,3±36,7	0	1371,7	162,5±52,0
<i>Myoxocephalus jaoek</i>	35,8	0	4336,3	434,5±141,8	0	5929,2	831,6±242,9
<i>Myoxocephalus polyacanthocephalus</i>	33,3	0	10493,8	560,7±358,9	0	5777,8	356,2±196,5
<i>Hemilepidotus jordani</i>	2,5	0	2168,1	55,6±55,6	0	1991,2	51,1±51,1
<i>Gymnacanthus galeatus</i>	5,1	0	416,7	17,8±12,7	0	166,7	6,3±4,7
<i>Hemitripterus villosus</i>	10,2	0	61,7	5,1±2,6	0	246,9	16,7±8,4
<i>Triglops scepticus</i>	15,3	0	246,9	22,6±10,1	0	18,5	1,9±8,4
<i>Malacoctenus zonurus</i>	5,1	0	46,3	2,0±1,4	0	6,2	0,3±0,2
<i>Lycodes palearis</i>	20,5	0	138,9	18,2±6,4	0	154,3	15,6±6,4
<i>Liparis ochotensis</i>	10,2	0	308,6	10,3±8,0	0	555,6	15,1±14,2
<i>Careproctus spp.</i>	5,1	0	30,9	1,6±1,1	0	6,2	0,2±0,2
<i>Percis japonicus</i>	10,2	0	30,9	3,2±1,5	0	9,3	0,6±0,3

Вид	Встречаемость, %	Численность, экз./миль ²			Биомасса, кг/миль ²
		минимальная	максимальная	средняя M±m	
<i>Aptocyclus ventricosus</i>	2,5	0	30,9	0,8±0,8	0,2±0,2
<i>Sebastes alutus</i>	5,1	0	619,5	21,6±21,6	9,6±8,1

Таблица 5
Обилие рыб Корякского района Берингова моря летом 1996-2003 гг. на шельфе и в верхней части материкового склона, средняя глубина 225м (54-374)

Вид	Встречаемость, %	Численность, экз./миль ²			Биомасса, кг/миль ²
		минимальная	максимальная	средняя M±m	
<i>Lampris tridentata</i>	1,7	0	92,5	1,6±1,6	0,6±0,6
<i>Somniosus pacificus</i>	5,1	0	884,9	24,0±16,1	1409,9±1206,1
<i>Bathyraja aleutica</i>	5,1	0	1150,4	40,5±26,9	244,5±167,2
<i>Bathyraja parvifera</i>	1,7	0	176,9	3,0±3,0	663,7
<i>Bathyraja violacea</i>	1,7	0	44,2	0,7±0,7	11,2±11,2
<i>Bathyraja spp.</i>	32,2	0	2345,1	134,0±53,1	0,4±0,4
<i>Clupea pallasi</i>	25,4	0	119598,8	2258,4±2025,2	628,0±273,4
<i>Gadus macrocephalus</i>	27,1	0	14074,1	515,6±263,6	896,6±802,8
<i>Theragra chalcogramma</i>	86,4	0	273148,1	25100,7±7117,5	1316,3±687,1
<i>Atheresthes evermanni</i>	62,7	0	8849,5	432,4±168,4	732,75±344,1
<i>Atheresthes stomias</i>	10,1	0	309,7	18,7±8,8	29,3±14,4

Вид	Встречаемость, %	Численность, экз./мил. ²				Биомасса, кг/мил. ²	
		минимальная	максимальная	средняя M±m	минимальная		
<i>Lepidopsetta polyxystra</i>	27,1	0	3009,2	175,4±72,5	0	5023,1	166,3±93,9
<i>Hippoglossoides elassodon</i>	16,9	0	1296,2	70,3±31,4	0	370,3	23,0±9,8
<i>Pleuronectes quadrifasciatus</i>	8,4	0	972,2	42,6±21,9	0	1296,2	44,7±26,7
<i>Hippoglossus stenolepis</i>	69,4	0	1296,2	199,0±37,0	0	6327,4	865,8±177,1
<i>Reinhardtius hippoglossoides matsuurae</i>	50,8	0	1203,7	154,7±33,2	0	3379,6	447,0±96,0
<i>Glyptocephalus zachirus</i>	8,4	0	575,2	18,1±11,9	0	135,8	4,0±2,5
<i>Myoxocephalus jaok</i>	3,4	0	1666,6	31,1±28,3	0	6203,7	113,3±105,3
<i>Myoxocephalus polyacanthocephalus</i>	28,8	0	5848,7	265,1±109,8	0	17592,5	997,8±405,9
<i>Hemilepidotus gibberti</i>	1,7	0	2206,7	37,4±37,4	0	679,0	11,5±11,5
<i>Hemilepidotus jordani</i>	37,2	0	11681,4	606,2±247,9	0	5796,4	258,2±111,4
<i>Gymnacanthus galeatus</i>	16,9	0	925,9	62,9±27,2	0	1111,1	52,1±24,9
<i>Icelus spiniger</i>	18,6	0	529,8	29,4±11,4	0	176,6	7,0±3,3
<i>Ulca bolini</i>	10,1	0	401,2	10,0±6,9	0	1172,8	31,1±20,4
<i>Triglops scepticus</i>	1,7	0	44,2	0,7±0,7	0	3,1	0,05±0,05
<i>Dasycottus setiger</i>	18,6	0	3396,7	163,0±70,2	0	1684,7	81,4±34,9
<i>Malacoctenus zonurus</i>	25,4	0	44444,4	2783,4±1057,3	0	5995,5	369,9±143,6
<i>Pleurogrammus monopterygius</i>	1,7	0	46,2	0,8±0,8	0	30,8	0,5±0,5
<i>Lycodes brevipes</i>	10,1	0	1666,6	55,7±32,2	0	462,9	12,5±8,2
<i>Lycodes concolor</i>	10,1	0	108,0	5,9±2,8	0	246,9	8,8±4,9

Вид	Встречаемость, %	Численность, экз./мил. ²			Биомасса, кг/мил. ²		
		минимальная	максимальная	средняя $M \pm m$	минимальная	максимальная	средняя $M \pm m$
<i>Lycodes fasciatus</i>	3,4	0	231,4	5,2±4,1	0	324,1	7,1±5,7
<i>Lycodes spp.</i>	1,7	0	44,2	0,7±0,7	0	6,6	0,1±0,1
<i>Bothrocara brumnea</i>	1,7	0	132,7	2,2±2,2	0	132,7	2,2±2,2
<i>Careproctus furcellus</i>	16,9	0	2035,3	64,7±36,1	0	1858,4	43,5±31,6
<i>Careproctus rastinius</i>	8,4	0	432,1	18,7±9,6	0	163,5	6,4±3,5
<i>Careproctus spp.</i>	5,1	0	2477,8	63,7±45,2	0	1769,9	43,1±31,6
<i>Zaprora silemus</i>	1,7	0	30,8	0,5±0,5	0	27,7	0,5±0,5
<i>Stichaeus punctatus</i>	1,7	0	619,4	10,5±10,5	0	530,9	9,0±9,0
<i>Lumpenus sagitta</i>	1,7	0	88,4	1,5±1,5	0	8,8	0,1±0,1
<i>Lumpenella longirostris</i>	1,7	0	92,5	1,6±1,6	0	9,2	0,2±0,2
<i>Percis japonicus</i>	11,8	0	884,9	35,2±19,8	0	79,6	4,0±2,0
<i>Sarritor leptorhynchus</i>	6,8	0	46,2	2,1±1,1	0	4,6	0,2±0,1
<i>Podothecus accipenserinus</i>	1,7	0	1033,9	17,5±17,5	0	138,8	2,4±2,4
<i>Cyclopterus lindbergii</i>	3,4	0	185,1	4,7±3,5	0	18,5	0,5±0,3
<i>Sebastes aleutianus</i>	3,4	0	44,2	1,0±0,8	0	79,6	1,9±1,5
<i>Sebastes alutus</i>	18,6	0	4444,4	108,4±76,2	0	8333,3	34,6±16,5
<i>Sebastes borealis</i>	11,8	0	19259,2	341,2±326,3	0	3703,7	91,1±65,4

**Обилие рыб Корякского района Берингова моря осенью 1996-2003 гг. на шельфе и в верхнем материковом склоне,
средняя глубина 298 м (240-353)**

Вид	Встречаемость, %	Численность, экз./мил. ²			Биомасса, кг./мил. ²		
		минимальная	максимальная	средняя $M \pm m$	минимальная	максимальная	средняя $M \pm m$
<i>Somniosus pacificus</i>	50,0	0	265,4	88,5±49,8	0	55973,4	11563,4±9015,6
<i>Bathyraja aleutica</i>	33,3	0	884,9	184,4±144,7	0	6265,4	1140,1±1029,3
<i>Bathyraja matsubarai</i>	50,0	0	707,9	147,5±114,1	0	1309,7	292,0±211,1
<i>Bathyraja parmifera</i>	33,3	0	530,9	110,6±86,8	0	1398,2	328,9±233,6
<i>Bathyraja violacea</i>	50,0	0	176,9	59,0±31,6	0	495,5	139,4±80,1
<i>Bathyraja maculata</i>	33,3	0	884,9	154,9±146,2	0	2548,6	443,95±421,4
<i>Theragra chalcogramma</i>	100,0	44,2	15486,7	3797,9±2522,4	1,7	11106,1	3151,8±1929,9
<i>Atheresthes evermanni</i>	66,6	0	707,9	354,0±125,7	0	1238,9	609,14±207,7
<i>Atheresthes stomias</i>	66,6	0	840,7	243,4±128,6	0	1084,0	331,9±165,2
<i>Lepidopsetta polyxystra</i>	16,6	0	132,7	22,1±22,1	0	88,4	14,7±14,7
<i>Hippoglossoides elassodon</i>	33,3	0	88,4	18,4±14,5	0	84,0	16,2±13,7
<i>Hippoglossus stenolepis</i>	66,6	0	154,8	55,3±24,1	0	1128,3	338,9±169,9
<i>Reinhardtius hippoglossoides matsurai</i>	100,0	44,2	442,4	213,9±68,0	12,8	1681,4	598,0±249,3
<i>Myoxocephalus jaok</i>	16,6	0	575,2	95,9±95,9	0	2676,9	446,2±446,2
<i>Dasycoctonus setiger</i>	33,3	0	176,9	59,0±37,3	0	34,9	7,9±5,8
<i>Malacocottus zonurus</i>	50,0	0	72168,1	14520,6±11770,7	0	17323,0	3078,7±2854,7
<i>Liparis ochotensis</i>	16,6	0	398,2	66,4±66,4	0	641,5	106,9±106,9

Вид	Встречаемость, %	Численность, экз/миль ²			Биомасса, кг/миль ²
		минимальная	максимальная	средняя M±m	
<i>Bothrocara brunnea</i>	16,6	0	1238,9	206,5±206,5	1050,8
<i>Careproctus furcellus</i>	50,0	0	44,2	22,1±9,9	175,1±175,1
<i>Careproctus spp.</i>	16,6	0	929,2	154,9±154,9	8,8±4,0
<i>Percis japonicus</i>	16,6	0	575,2	95,9±95,9	84,8±84,8
<i>Serritor frenatus</i>	16,6	0	44,2	7,4±7,4	12,5±12,5
<i>Aptocyclus ventricosus</i>	16,6	0	44,2	7,4±7,4	0,4±0,4
<i>Sebastes aleutianus</i>	33,3	0	88,4	22,123±15,113	50,4
<i>Sebastes alutus</i>	66,6	0	530,9	147,5±83,7	8,4±8,4
<i>Sebastes borealis</i>	50,0	0	66,3	25,8±12,1	221,2
<i>Anarhichas fimbria</i>	16,6	0	221,2	36,9±36,9	72,3±35,9

Обилие рыб Корякского района Берингова моря зимой 1996-2003 гг. на шельфе и в верхнем материковом склоне, средняя глубина 214 м (62-353)

Вид	Встречаемость, %	Численность, экз/миль ²			Биомасса, кг/миль ²
		минимальная	максимальная	средняя M±m	
<i>Somniosus pacificus</i>	9,1	0	54,3	4,9±4,9	2866,8
<i>Bathyraja aleutica</i>	63,6	0	530,9	80,4±48,8	4336,2
<i>Bathyraja matsubarai</i>	27,2	0	44,2	9,0±5,2	556,3±402,9

Вид	Встречаемость, %	Численность, экз/милль ²			Биомасса, кг/милль ²		
		минимальная	максимальная	средняя M±m	минимальная	максимальная	средняя M±m
<i>Bathyraja paramostra</i>	45,4	0	398,2	58,4±35,9	0	1086,9	221,9±115,9
<i>Bathyraja spp.</i>	45,4	0	788,0	100,0±71,2	0	1513,5	193,79±137,5
<i>Oncorhynchus tshawytscha</i>	9,1	0	44,2	4,0±4,0	0	256,6	23,3±23,3
<i>Eleginus gracilis</i>	9,1	0	27,1	2,5±2,5	0	9,5	0,9±0,9
<i>Gadus macrocephalus</i>	63,6	0	27364,1	4796,5±2984,7	0	38599,1	5899,8±3823,5
<i>Theragra chalcogramma</i>	100,0	163,0	40570,6	8848,7±3774,8	192,9	17369,5	4177,4±1470,0
<i>Atheresthes evermanni</i>	81,8	0	353,2	110,6±39,8	0	490,4	163,4±59,9
<i>Atheresthes stomias</i>	18,1	0	1637,1	253,4±173,1	0	2234,5	353,2±240,2
<i>Lepidopsetta polyxystra</i>	100,0	27,1	20353,2	6338,2±2412,2	9,5	11315,2	2487,1±1014,9
<i>Hippoglossoides elassodon</i>	72,7	0	11061,9	1394,5±1010,5	0	3880,5	490,6±356,4
<i>Limanda aspera</i>	36,3	0	1592,9	170,7±143,1	0	407,0	52,5±36,9
<i>Limanda sakhalinensis</i>	9,1	0	132,7	12,1±12,1	0	39,8	3,6±3,6
<i>Pleuronectes quadrituberculatus</i>	81,8	0	19239,1	2965,8±1924,7	0	15275,8	2461,0±1607,6
<i>Hippoglossus stenolepis</i>	90,9	0	2876,1	432,3±249,9	0	8438,0	1579,6±778,0
<i>Reinhardtius hippoglossoides mitsukurae</i>	54,5	0	265,4	56,6±28,7	0	451,3	115,9±50,6
<i>Glyptocephalus zachirus</i>	18,1	0	221,2	23,8±20,1	0	31,8	3,6±2,9
<i>Myoxocephalus jaok</i>	18,1	0	221,2	36,2±24,5	0	431,4	63,4±43,9
<i>Myoxocephalus polyacanthocephalus</i>	81,8	0	1168,4	274,2±123,2	0	2902,1	801,3±349,4
<i>Hemilepidotus gilberti</i>	27,2	0	1820,6	181,6±164,3	0	657,6	71,8±59,3

Вид	Встречаемость, %	Численность, экз/мил. ²			Биомасса, кг/мил. ²		
		минимальная	максимальная	средняя M±m	минимальная	максимальная	средняя M±m
<i>Hemilepidotus jordani</i>	45,4	0	44538,0	5691,7±4066,5	0	47644,0	5378,3±4296,6
<i>Gymnacanthus galeatus</i>	36,3	0	5434,7	580,9±489,6	0	2307,0	253,6±207,4
<i>Icelus spiniger</i>	18,1	0	132,7	24,1±16,2	0	16,8	3,0±2,0
<i>Ula bolini</i>	45,4	0	40,7	12,4±5,0	0	218,7	51,5±24,5
<i>Hemiripterus villosus</i>	9,9	0	265,4	24,1±24,1	0	221,2	20,1±20,1
<i>Triglops scepticus</i>	18,1	0	132,7	16,1±12,3	0	5,3	0,7±0,5
<i>Triglops spp.</i>	63,6	0	10380,4	1043,7±934,9	0	843,7	84,4±76,0
<i>Dasycottus setiger</i>	72,7	0	3817,9	519,0±336,1	0	697,0	110,2±61,3
<i>Malacocottus zonurus</i>	81,8	0	4429,3	1116,6±395,8	0	508,8	163,7±51,3
<i>Pleurogrammus monopterygius</i>	45,4	0	81,5	17,3±7,8	0	40,7	9,5±4,1
<i>Lycodes concolor</i>	27,2	0	122,2	16,1±11,3	0	141,3	17,8±12,8
<i>Lycodes spp.</i>	27,2	0	95,1	25,3±13,1	0	13,5	3,3±1,7
<i>Liparis ochotensis</i>	63,6	0	842,3	218,7±86,2	0	879,0	178,1±82,7
<i>Bothrocara brunnea</i>	9,1	0	67,9	6,2±6,2	0	14,9	1,4±1,4
<i>Careproctus furcellus</i>	18,1	0	1371,6	185,0±133,0	0	663,7	116,7±78,3
<i>Caneproctus rasirinus</i>	9,1	0	265,4	24,1±24,1	0	154,8	14,1±14,1
<i>Stichaeus punctatus</i>	36,3	0	54,3	10,4±5,5	0	21,7	2,7±1,9
<i>Lumpenella longirostris</i>	9,1	0	132,7	12,1±12,1	0	14,1	1,3±1,3
<i>Percis japonicus</i>	81,8	0	1283,1	197,3±116,0	0	159,2	31,4±14,4

Вид	Встречаемость, %	Численность, экз/милль ²			Биомасса, кг/милль ²
		минимальная	максимальная	средняя M±m	
<i>Sarrius frenatus</i>	18,1	0	44,2	8,0±5,4	0
<i>Podothecus accipenserinus</i>	90,9	0	1238,9	231,3±109,03	0
<i>Aspidophoroides bartoni</i>	27,2	0	54,3	8,6±5,3	0
<i>Aptocyclus ventricosus</i>	9,1	0	13,5	1,2±1,2	0
<i>Sebastes aleutianus</i>	9,1	0	27,1	2,5±2,5	0
<i>Sebastes alutus</i>	45,4	0	575,2	80,7±53,0	0
<i>Sebastes borealis</i>	36,3	0	67,9	13,6±6,9	0
<i>Anarhichas fimbria</i>	9,1	0	13,5	1,2±1,2	0

Таблица 8
Обилие рыб Олutorsко-Карагинского района Берингова моря летом 1996-2003 гг. на шельфе и в верхней части материкового склона, средняя глубина 289 м (154-383)

Вид	Встречаемость, %	Численность, экз/милль ²			Биомасса, кг/милль ²
		минимальная	максимальная	средняя M±m	
<i>Lampris tridentata</i>	3,4	0	11,1	0,4±0,4	0
<i>Somniosus pacificus</i>	6,8	0	44,2	1,9±1,6	0
<i>Bathyraja aleutica</i>	31,0	0	1946,9	226,2±93,3	0
<i>Bathyraja matsubarai</i>	6,8	0	177,0	6,5±6,1	0

Вид	Встречаемость, %	Численность, экз/милль ²				Биомасса, кг/милль ²	
		Минимальная	Максимальная	средняя $M \pm m$	минимальная		
<i>Bathyraja paramitra</i>	10,3	0	2389,4	101,1±83,7	0	1836,2	88,2±67,1
<i>Bathyraja spp.</i>	44,8	0	4424,8	601,5±203,8	0	11991,1	1719,7±607,5
<i>Gadus macrocephalus</i>	24,1	0	2654,9	184,6±100,8	0	5088,5	343,2±190,2
<i>Theragra chalcogramma</i>	79,3	0	254424,8	25046,5±11820,2	0	252212,4	20530,7±9867,4
<i>Atheresthes evermanni</i>	79,3	0	22123,9	1274,8±754,9	0	13274,3	1217,4±483,4
<i>Atheresthes stomias</i>	24,1	0	2345,1	135,8±81,8	0	3022,1	253,0±123,6
<i>Lepidotsetta polyxystra</i>	27,5	0	4159,3	167,8±142,9	0	531,0	42,9±20,3
<i>Hippoglossoides elassodon</i>	62,0	0	4646,0	643,9±205,6	0	2132,7	258,9±92,2
<i>Pleuronectes quadrifiliger</i>	10,3	0	110,6	6,9±4,3	0	177,0	12,7±7,4
<i>Hippoglossus stenolepis</i>	75,8	0	1438,1	281,5±69,8	0	3008,8	836,6±167,3
<i>Reinhardtius hippoglossoides matsurai</i>	37,9	0	2212,4	139,6±82,1	0	7854,0	396,9±270,9
<i>Glyptocephalus zachirus</i>	6,8	0	88,5	4,6±3,4	0	22,1	1,3±0,9
<i>Myoxocephalus jaok</i>	6,8	0	44,2	3,1±2,1	0	168,1	9,3±6,7
<i>Myoxocephalus polynotatus</i>	17,2	0	13407,1	526,4±461,4	0	2522,1	247,2±121,1
<i>Hemilepidotus jordani</i>	10,3	0	1327,4	100,7±58,4	0	531,0	38,1±22,6
<i>Gymnacanthus galeatus</i>	6,8	0	88,5	4,6±3,4	0	44,2	2,3±1,7
<i>Icelus spiniger</i>	17,2	0	5354,0	261,7±194,3	0	398,2	21,4±14,5
<i>Triglops scepticus</i>	3,4	0	8495,6	293,0±293,0	0	885,0	30,5±30,5
<i>Dasycottus setiger</i>	17,2	0	309,7	25,2±12,8	0	247,8	15,7±9,2

Вид	Частота встречаемости, %	Численность, экз/милль ²				Биомасса, кг/милль ²
		минимальная	максимальная	средняя $M \pm m$	максимальная	
<i>Malacocottus zonurus</i>	44,8	0	24424,8	4266,9±1241,2	0	4247,8
<i>Lycodes brevipes</i>	17,2	0	2300,9	106,8±81,2	0	2075,2
<i>Lycodes concolor</i>	20,6	0	177,0	22,9±9,5	0	265,5
<i>Liparis ochotensis</i>	3,4	0	44,2	1,5±1,5	0	66,4
<i>Bothrocara brunnea</i>	6,8	0	177,0	7,6±6,2	0	398,2
<i>Careproctus furcellus</i>	10,3	0	4690,3	184,6±162,0	0	2522,1
<i>Careproctus rasrimus</i>	3,4	0	885,0	30,5±30,5	0	442,5
<i>Careproctus spp.</i>	20,6	0	1150,4	77,8±42,3	0	575,2
<i>Percis japonicus</i>	10,3	0	575,2	33,6±22,9	0	106,2
<i>Sarritor frenatus</i>	6,8	0	88,5	4,6±3,4	0	7,5
<i>Podothecus accipenserinus</i>	3,4	0	44,2	1,5±1,5	0	4,4
<i>Sebastes aleutianus</i>	3,4	0	177,0	6,1±6,1	0	185,8
<i>Sebastes alutus</i>	34,4	0	2743,4	248,7±110,3	0	1371,7
<i>Sebastes borealis</i>	44,8	0	6637,2	408,9±238,1	0	13274,3
<i>Anoplopoma fimbria</i>	3,4	0	44,2	1,5±1,5	0	137,2

Обилие рыб Олуторского-Карагинского района Берингова моря осенью 1996-2003 гг. на шельфе и в верхней части материкового склона, средняя глубина 150 м (40-384)

Вид	Встречаемость, %	Численность, экз/миль ²			Биомасса, кг/миль ²	
		Минимальная	Максимальная	средняя M±m	Минимальная	Максимальная
<i>Somniosus pacificus</i>	5,2	0	132,7	4,4±2,7	0	9883,7
<i>Bathyraja aleutica</i>	8,7	0	973,4	24,1±17,4	0	2469,0
<i>Bathyraja parvifera</i>	21,0	0	988,3	43,3±19,7	0	1769,9
<i>Bathyraja violacea</i>	14,0	0	1327,4	46,5±24,9	0	1238,9
<i>Bathyraja maculata</i>	5,2	0	265,4	7,0±4,9	0	500,0
<i>Bathyraja spp.</i>	3,5	0	176,9	5,4±3,8	0	305,3
<i>Oncorhynchus keta</i>	3,5	0	58,1	2,0±1,4	0	11,6
<i>Oncorhynchus tshawytscha</i>	5,2	0	58,1	3,1±1,7	0	389,5
<i>Clupea pallasi</i>	52,6	0	160639,5	7706,0±3357,1	0	64360,4
<i>Mallotus villosus catervarius</i>	40,3	0	9127,9	603,8±215,2	0	127,9
<i>Eleginus gracilis</i>	42,1	0	54186,0	2629,5±1035,4	0	3438,9
<i>Gadus macrocephalus</i>	64,9	0	24476,7	1275,7±464,9	0	46686,0
<i>Theragra chalcogramma</i>	96,4	0	2380000,0	115380,4±46274,0	0	813953,5
<i>Atheresthes evermanni</i>	21,0	0	2389,4	174,2±67,5	0	3668,1
<i>Atheresthes stomias</i>	22,8	0	1283,2	84,2±30,7	0	1433,6
<i>Lepidotsetta polyxystra</i>	17,5	0	581,4	24,4±11,1	0	523,2
<i>Hippoglossoides elassodon</i>	47,3	0	20581,4	813,8±427,5	0	3139,5

Вид	Встречаемость, %	Численность, экз/милль ²			Биомасса, кг/милль ²		
		минимальная	максимальная	средняя M±m	минимальная	максимальная	средняя M±m
<i>Limanda aspera</i>	31,5	0	8023,3	358,9±156,9	0	2947,6	118,9±56,7
<i>Limanda sakhalinensis</i>	43,8	0	39651,2	2204,2±875,0	0	2936,0	170,1±68,9
<i>Myzopsetta proboscidea</i>	1,7	0	58,1	1,0±1,0	0	14,5	0,3±0,3
<i>Pleuronectes quadrifiliger</i>	22,8	0	581,4	55,1±17,1	0	622,1	49,1±15,7
<i>Hippoglossus stenolepis</i>	29,8	0	1150,4	52,7±21,8	0	4769,9	249,3±94,8
<i>Reinhardtius hippoglossoides matsuurae</i>	36,8	0	581,4	63,3±18,0	0	401,1	40,6±11,5
<i>Myoxocephalus jaok</i>	12,2	0	581,4	22,4±11,4	0	505,8	25,7±12,7
<i>Myoxocephalus polyacanthocephalus</i>	40,3	0	2848,8	208,1±66,6	0	5930,2	391,7±138,2
<i>Melletes papilio</i>	29,8	0	12209,3	299,7±214,6	0	2906,9	70,5±51,0
<i>Hemilepidotus gilberti</i>	22,8	0	14709,3	343,7±259,2	0	6250,0	144,2±110,1
<i>Hemilepidotus jordani</i>	52,6	0	9709,3	591,4±203,3	0	3023,2	307,2±94,3
<i>Gymnacanthus galeatus</i>	7,0	0	116,3	5,1±2,6	0	17,4	0,9±0,5
<i>Icelus spiniger</i>	21,0	0	1395,3	133,9±47,4	0	66,8	5,6±1,9
<i>Hemiripterus villosus</i>	21,0	0	407,0	22,4±8,3	0	1279,1	34,9±22,6
<i>Triglops forficatus</i>	5,2	0	58,1	3,8±1,9	0	8,7	0,3±0,2
<i>Triglops scepticus</i>	19,2	0	6918,6	208,7±128,5	0	395,3	12,8±7,4
<i>Triglops spp.</i>	7,0	0	232,6	8,2±4,7	0	5,8	0,2±0,1
<i>Dasycottus setiger</i>	10,5	0	174,4	10,7±4,5	0	66,8	5,3±2,2
<i>Malacocottus zonurus</i>	26,3	0	4186,0	382,3±116,3	0	1013,2	79,6±26,0

Вид	Встречаемость, %	Численность, экз./мил. ²			Биомасса, кг/мил. ²		
		минимальная	максимальная	средняя M±m	минимальная	максимальная	средняя M±m
<i>Pleurogrammus monopterygius</i>	36,8	0	523,3	69,4±17,1	0	375,0	34,8±10,5
<i>Lycodes concolor</i>	5,2	0	929,2	37,3±22,8	0	1238,9	50,5±30,3
<i>Lycodes palearis</i>	19,2	0	8255,8	222,4±147,3	0	860,4	30,7±16,2
<i>Lycodes rariensis</i>	12,2	0	930,2	43,9±22,6	0	654,0	29,7±14,8
<i>Liparis ochotensis</i>	19,2	0	348,8	24,2±8,6	0	508,7	24,4±11,2
<i>Bothrocara brunnea</i>	5,2	0	132,7	5,4±3,3	0	265,4	10,8±6,6
<i>Careproctus furcellus</i>	19,2	0	697,7	63,3±22,0	0	593,0	51,2±17,3
<i>Careproctus rastrinus</i>	21,0	0	988,4	60,1±24,1	0	706,4	32,2±15,4
<i>Careproctus spp.</i>	3,5	0	58,1	1,8±1,3	0	27,8	0,5±0,5
<i>Zaprora silenus</i>	26,3	0	6947,7	146,4±121,65	0	1337,2	28,1±23,4
<i>Lumpenella longirostris</i>	3,5	0	407,0	10,2±7,7	0	31,9	0,9±0,6
<i>Lumpenus sagitta</i>	3,5	0	58,1	2,0±1,4	0	2,0	0,04±0,04
<i>Percis japonicus</i>	26,3	0	160639,5	55,1±17,1	0	125,0	11,4±3,5
<i>Sarritor frenatus</i>	28,1	0	639,5	48,9±14,7	0	26,5	2,3±0,6
<i>Sarritor leptorhynchus</i>	7,0	0	58,1	4,1±2,0	0	23,2	0,5±0,4
<i>Podothecus accipenserinus</i>	17,5	0	2151,2	86,7±42,6	0	116,2	4,7±2,3
<i>Aspidophoroides bartoni</i>	10,5	0	116,3	7,1±2,9	0	5,8	0,1±0,1
<i>Aptocyclus ventricosus</i>	8,7	0	58,1	4,9±2,1	0	194,7	7,7±4,0
<i>Sebastes aleutianus</i>	3,5	0	44,2	1,6±1,1	0	103,9	3,5±2,5

Вид	Встречаемость, %	Численность, экз/миль ²			Биомасса, кг/миль ²
		минимальная	максимальная	средняя M±m	
<i>Sebastes alutus</i>	15,7	0	465,1	31,2±12,9	10,5±4,4
<i>Sebastes borealis</i>	7,0	0	442,5	14,0±8,7	27,4±16,4

Обилие рыб Олдоторского-Карагинского района Берингова моря зимой 1996-2003 гг., средняя глубина 283м (200-310)

Вид	Встречаемость, %	Численность, экз/миль ²			Биомасса, кг/миль ²
		минимальная	максимальная	средняя M±m	
<i>Bathyraja aleutica</i>	60,0	0	132,7	61,9±26,5	1194,6
<i>Bathyraja matsubarai</i>	60,0	0	176,9	61,9±33,1	482,3±226,3
<i>Bathyraja parmifera</i>	20,0	0	353,9	70,8±70,8	232,7±147,8
<i>Bathyraja violacea</i>	40,0	0	176,9	53,1±35,4	557,5±557,5
<i>Bathyraja maculata</i>	20,0	0	88,4	17,7±17,7	84,1±57,0
<i>Chupea pallasii</i>	20,0	0	44,2	8,8±8,8	31,9±31,9
<i>Gadus macrocephalus</i>	100,0	265,4	26548,6	7628,3±4983,6	2,0±2,0
				991,1	14255,7±7314,1
				37632,7	

Продолжение табл. 10

Вид	Встречаемость, %	Численность, экз/милль ²				Биомасса, кг/милль ²	
		минимальная	максимальная	средняя $M \pm m$	минимальная		
<i>Theragra chalcogramma</i>	100,0	5884,9	148230,1	68433,6±22869,8	5486,7	74845,1	44044,2±11191,4
<i>Atheresthes evermanni</i>	100,0	44,2	796,4	398,2±120,4	137,1	973,4	474,3±137,9
<i>Atheresthes stomias</i>	100,0	44,2	1017,6	424,8±187,5	70,7	1526,5	611,5±266,7
<i>Lepidopsetta polyxystra</i>	100,0	884,9	9955,7	3867,2±1856,4	530,9	5884,9	2119,4±1043,4
<i>Hippoglossoides elassodon</i>	80,0	0	26548,6	5761,1±5207,7	0	13097,3	2840,7±2567,8
<i>Pleuronectes quadrinotatus</i>	100,0	44,2	9955,7	3814,1±2089,4	39,8	8761,1	3353,1±1818,3
<i>Hippoglossus stenolepis</i>	80,0	0	2477,8	752,2±451,7	0	7433,6	2236,2±1328,7
<i>Reinhardtius hippoglossoides matursae</i>	40,0	0	1017,6	212,4±201,5	0	1592,9	354,86±311,50
<i>Glyptocephalus zachirus</i>	20,0	0	44,2	8,8495±8,8495	0	7,5	1,5044±1,5044
<i>Myoxocephalus polyacanthocephalus</i>	100,0	221,2	4247,7	1663,7±683,5	663,7	12831,8	4876,1±2104,1
<i>Hemilepidotus giberti</i>	40,0	0	17079,6	3663,7±3362,5	0	7433,6	1616,8±1459,6
<i>Hemilepidotus jordani</i>	40,0	0	575,2	132,7±111,9	0	212,3	55,8±41,2
<i>Gymnacanthus galeatus</i>	80,0	0	707,9	194,7±130,2	0	398,2	111,2±73,7

Вид	Встречаемость, %	Численность, экз/мил. ²			Биомасса, кг/мил. ²	
		минимальная	максимальная	средняя M±m	минимальная	максимальная
<i>Icelus spiniger</i>	100,0	44,2	884,9	292,0±156,2	4,4	53,1
<i>Hemitripterus villosus</i>	80,0	0	619,4	203,5±109,8	0	1327,4
<i>Triglops forficatus</i>	20,0	0	44,2	8,8±8,8	0	1,7
<i>Triglops scepticus</i>	80,0	0	3230,1	752,2±621,5	0	163,7
<i>Dasycottus setiger</i>	40,0	0	929,2	221,2±180,3	0	495,5
<i>Malacocottus zonurus</i>	100,0	1946,9	19823,0	9707,9±2984,2	398,2	4181,4
<i>Lycodes concolor</i>	20,0	0	221,2	44,2±44,2	0	353,9
<i>Liparis ochotensis</i>	60,0	0	398,2	123,9±75,9	0	283,1
<i>Bothrocara brunnea</i>	60,0	0	88,4	44,2±19,8	0	230,1
<i>Careproctus furcellus</i>	100,0	44,2	3716,8	1300,8±692,9	55,3	4159,2
<i>Careproctus rastrinus</i>	100,0	176,9	1327,4	699,1±190,0	154,8	597,3
<i>Percis japonicus</i>	80,0	0	619,4	318,6±258,2	0	110,6
<i>Sarritor frenatus</i>	20,0	0	44,2	8,8±8,8	0	1,7

Окончание табл. 10

Вид	Встречаемость, %	Численность, экз/милль ²			Биомасса, кг/милль ²
		минимальная	максимальная	средняя $M \pm m$	
<i>Podothecus accipenserinus</i>	80,0	0	442,4	212,4±77,1	0
<i>Aptocyclus ventricosus</i>	40,0	0	44,2	17,7±10,8	0
<i>Sebastes alutus</i>	60,0	0	2522,1	619,5±480,0	1216,8
<i>Sebastes borealis</i>	20,0	0	44,2	8,8±8,8	0
					464,6
					92,9±92,9

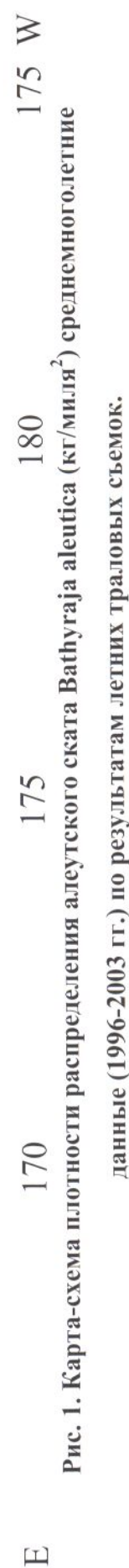


Рис. 1. Карта-схема плотности распределения алеутского ската *Bathyraja aleutica* (кг/миля²) среднемноголетние данные (1996-2003 гг.) по результатам летних траловых съемок.

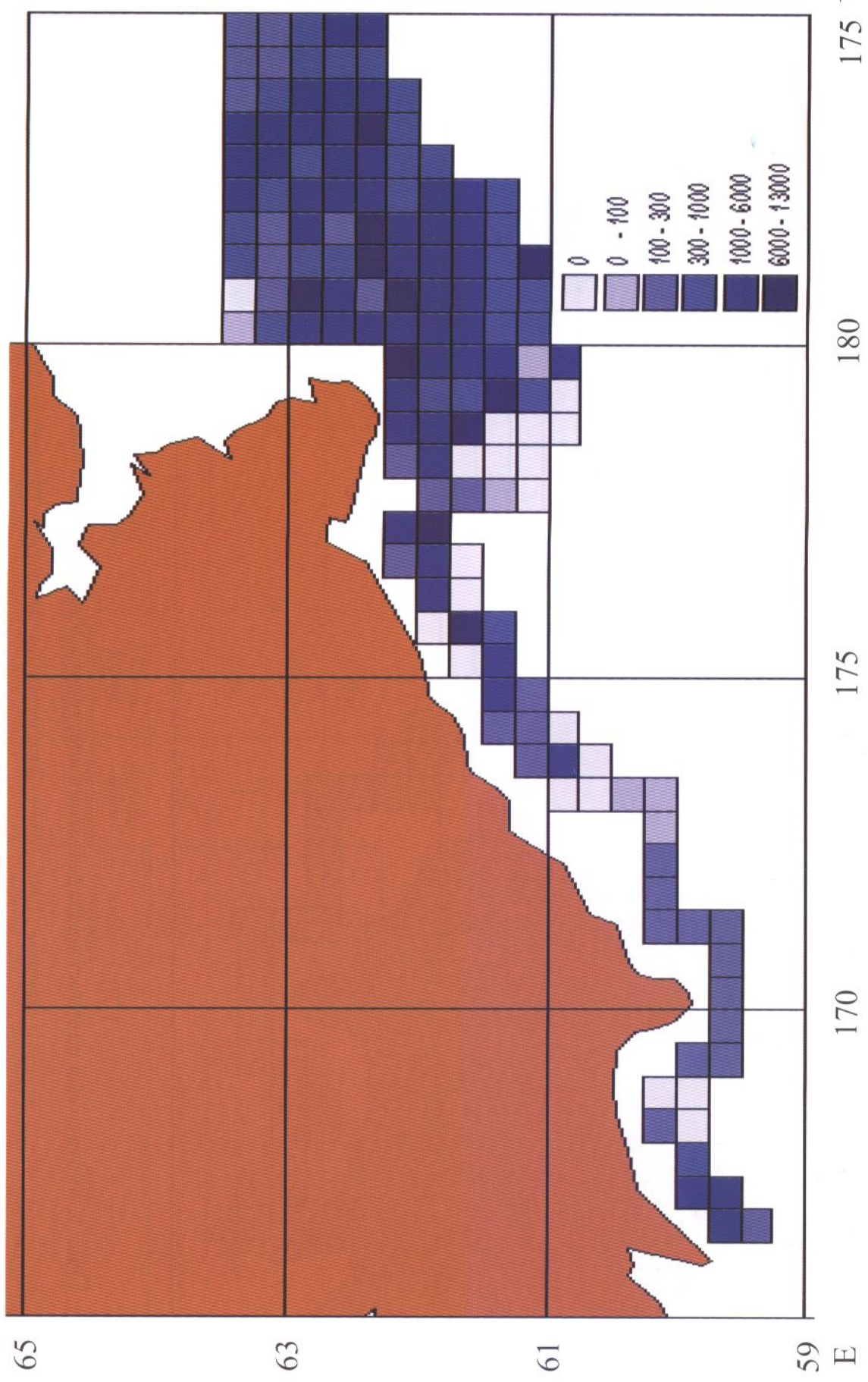


Рис. 2. Карта-схема плотности распределения тихоокеанской трески *Gadus macrocephalus* (кг/миля²), среднемноголетние данные (1996-2003 гг.) по результатам летних трауловых съемок.

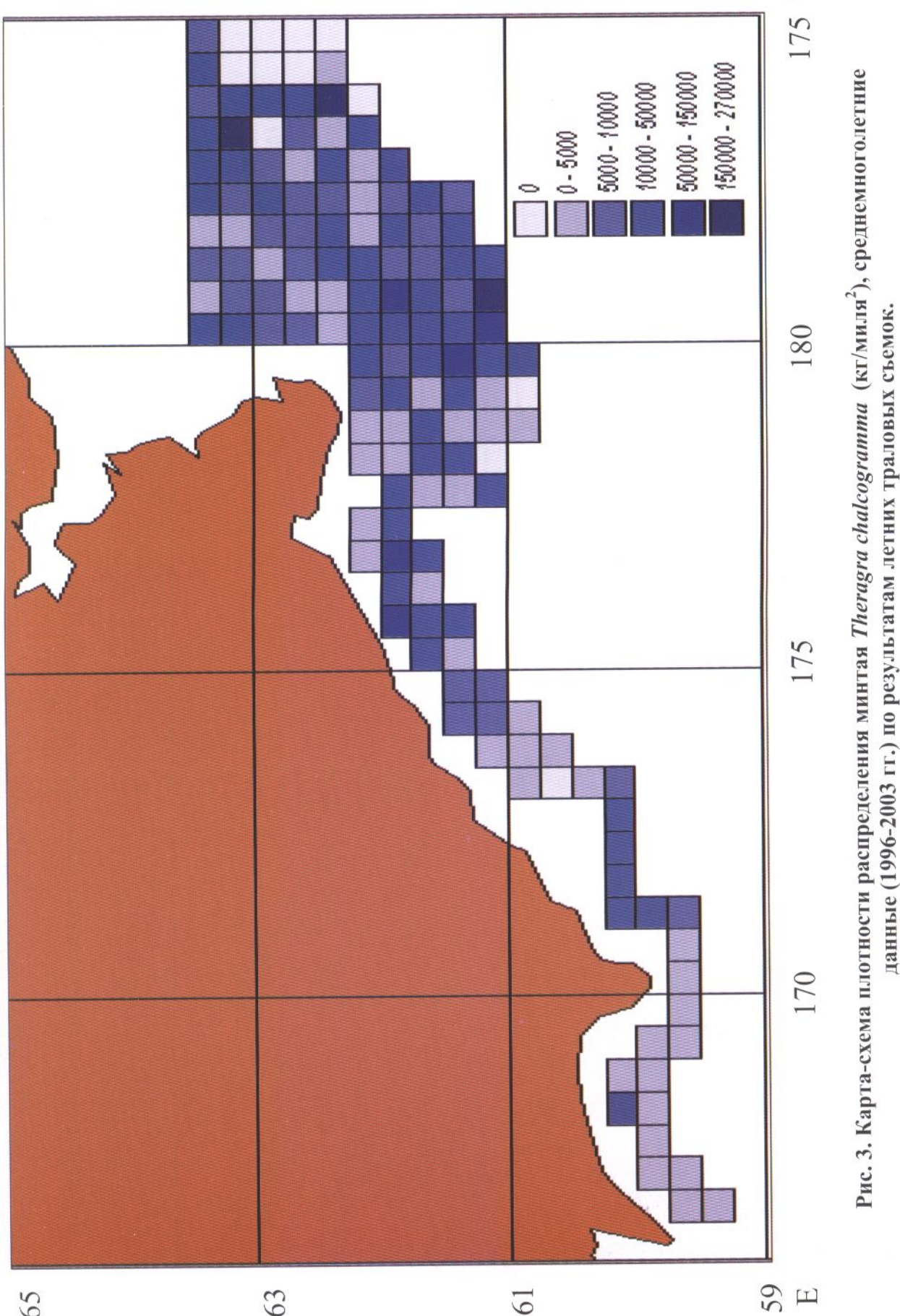


Рис. 3. Карта-схема плотности распределения минтая *Theragra chalcogramma* (кг/миля²), среднемноголетние данные (1996-2003 гг.) по результатам летних траловых съемок.

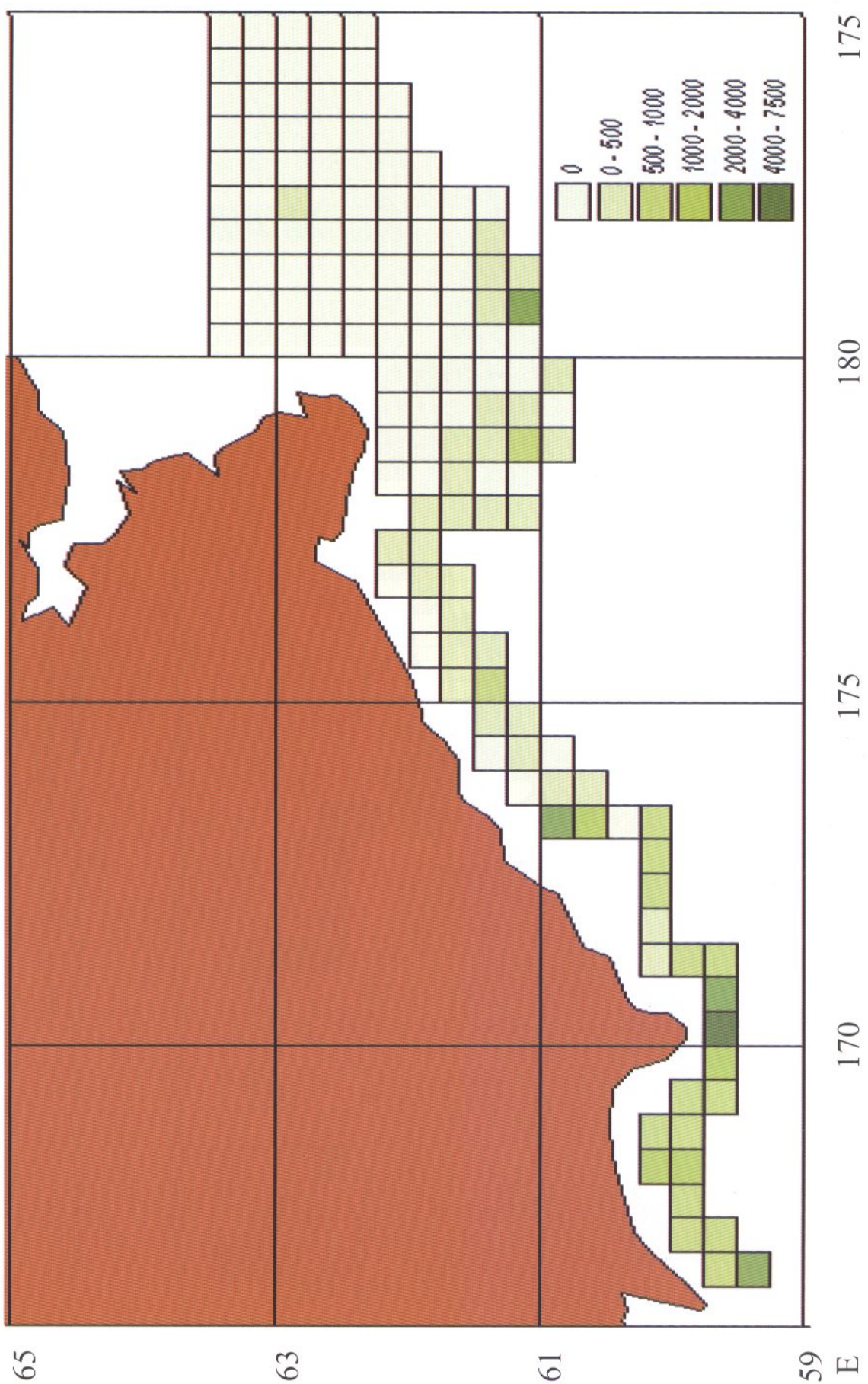
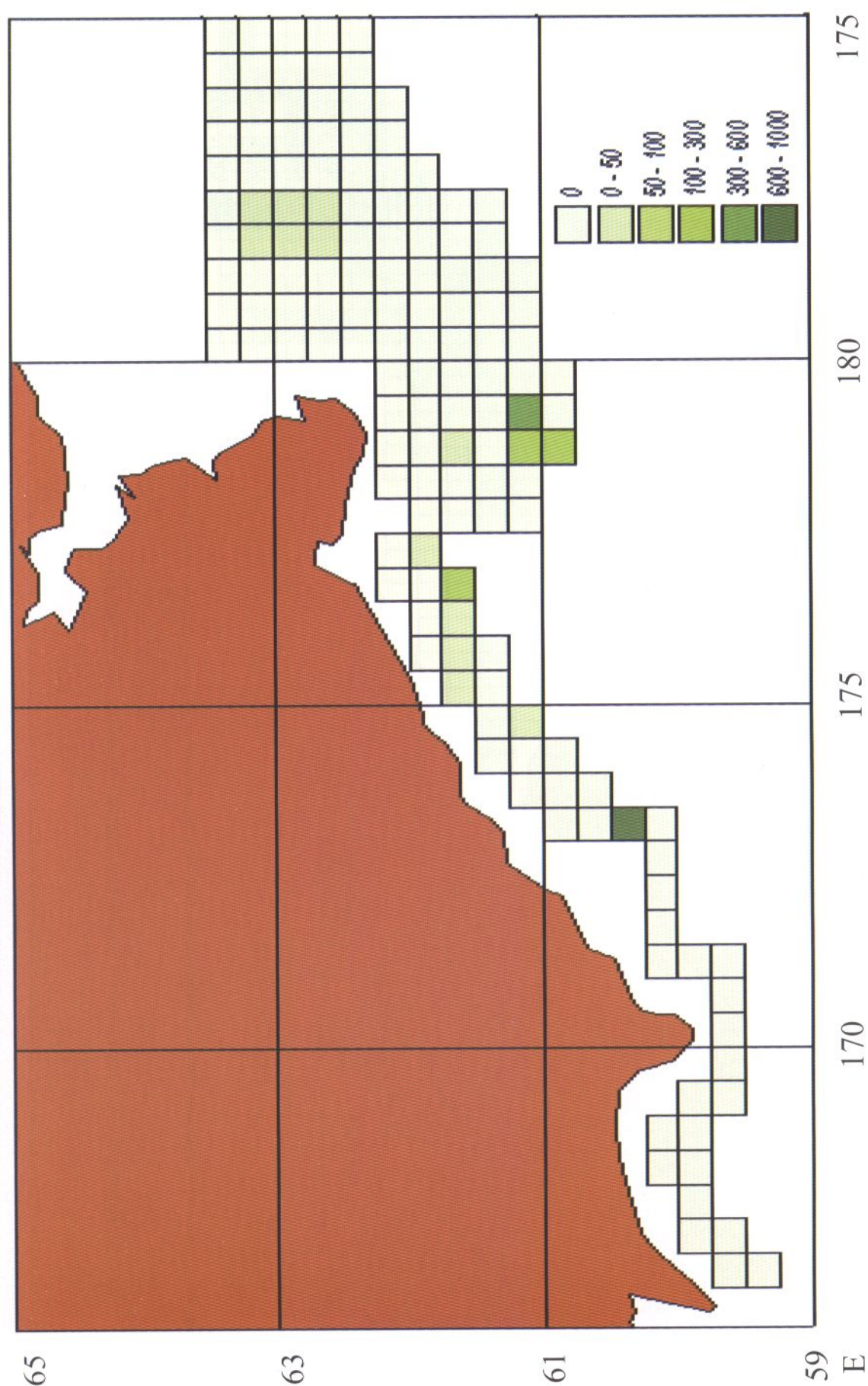
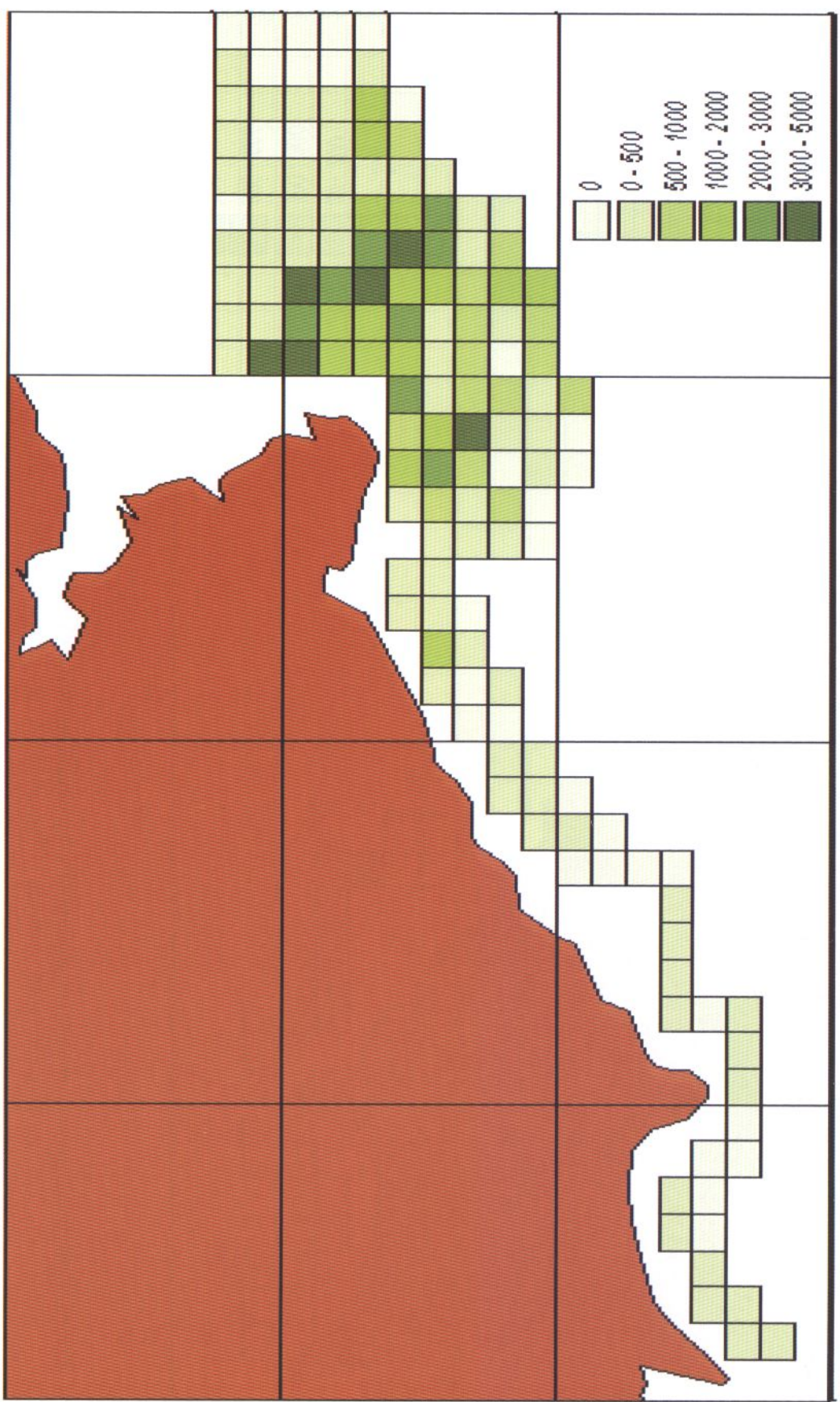


Рис. 4. Кarta-схема плотности распределения азиатского стрелозубого палтуса *Atherestes evermanni* (кг/миля²), среднемноголетние данные (1996-2003 гг.) по результатам летних траловых съемок.

Рис. 5. Карта-схема плотности распределения американского стрелозубого палтуса *Atheresthes stomias* ($\text{кт}/\text{миля}^2$), среднемноголетние данные (1996-2003 гг.) по результатам летних тралевых съемок.





65

63

61

59

E

44

Рис. 6. Карта-схема плотности распределения северной двухлинейной камбалы *Lepidorselta polyxesta* (кг/миля²), среднемноголетние данные (1996-2003 гг.) по результатам летних траловых съемок.

170

175

180

W

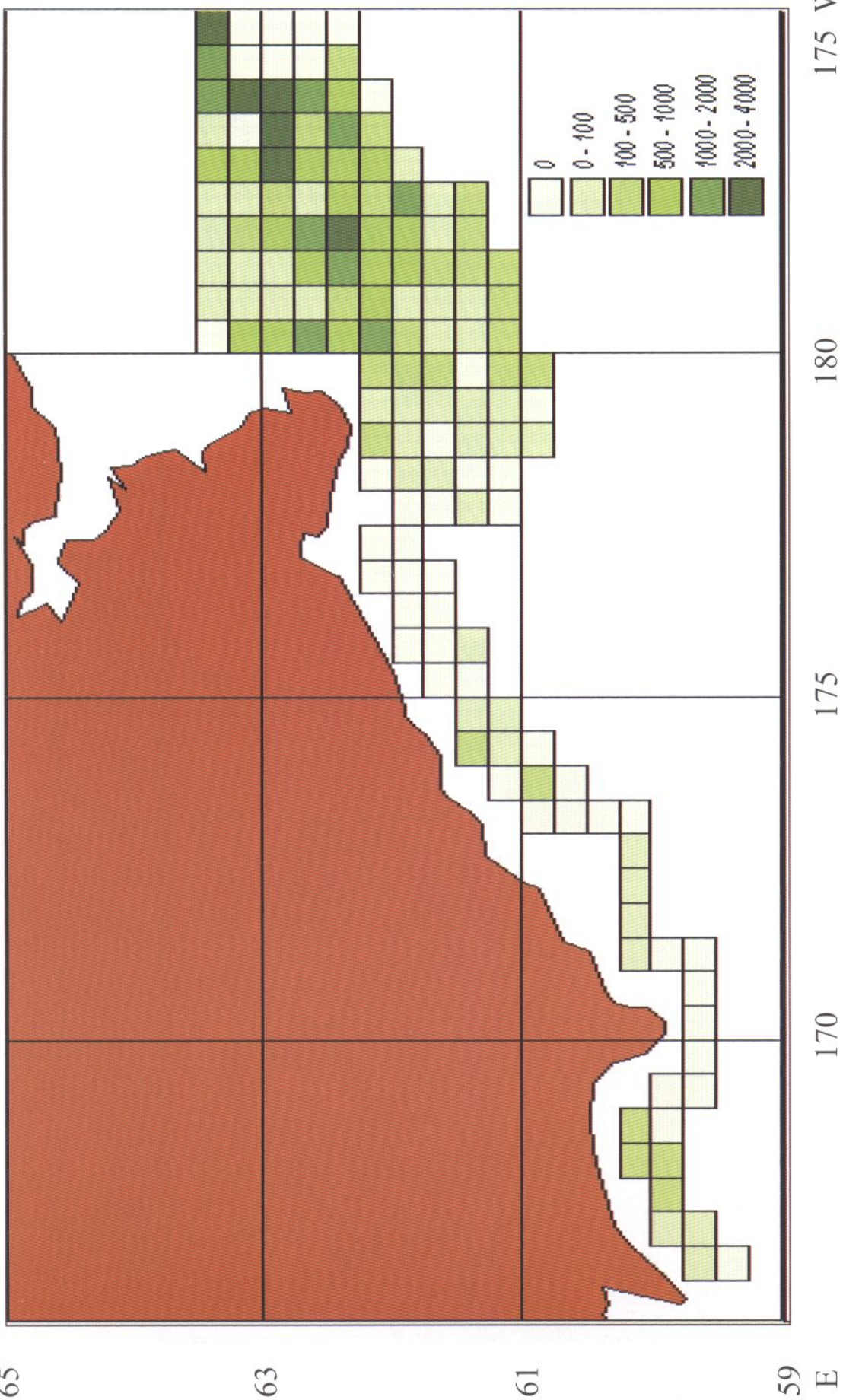


Рис. 7. Карта-схема плотности распределения палпусиевидной камбалы *Hippoglossoides elassodon*+*H.robustus* (кг/миля²), среднемноголетние данные (1996-2003 гг.) по результатам летних трауловых съемок.

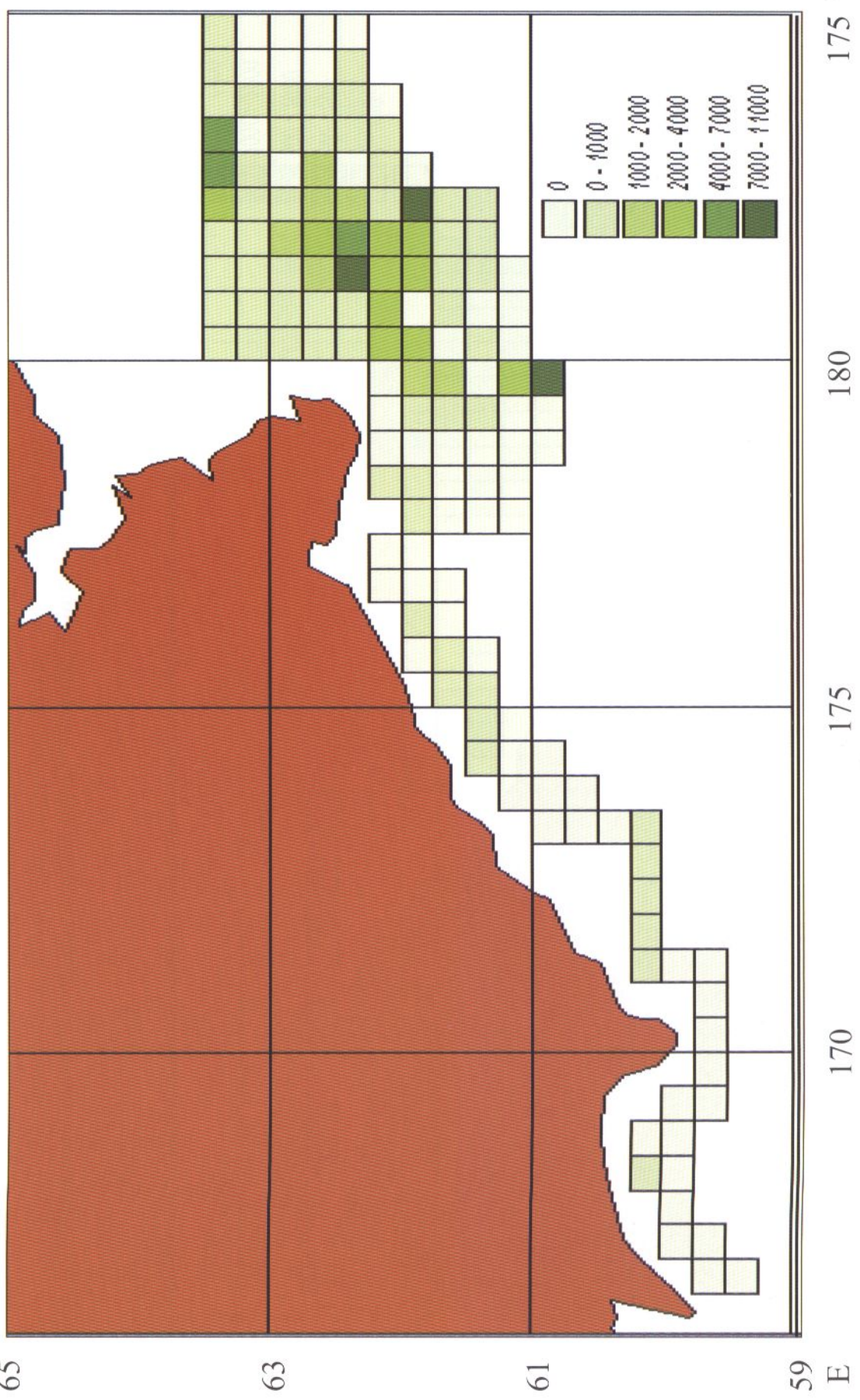


Рис. 8. Карта-схема плотности распределения четырехборчагой камбалы *Pleuronetes quadrifasciatus* (кг/миля²), среднемноголетние данные (1996-2003 гг.) по результатам летних гравировальных съемок.

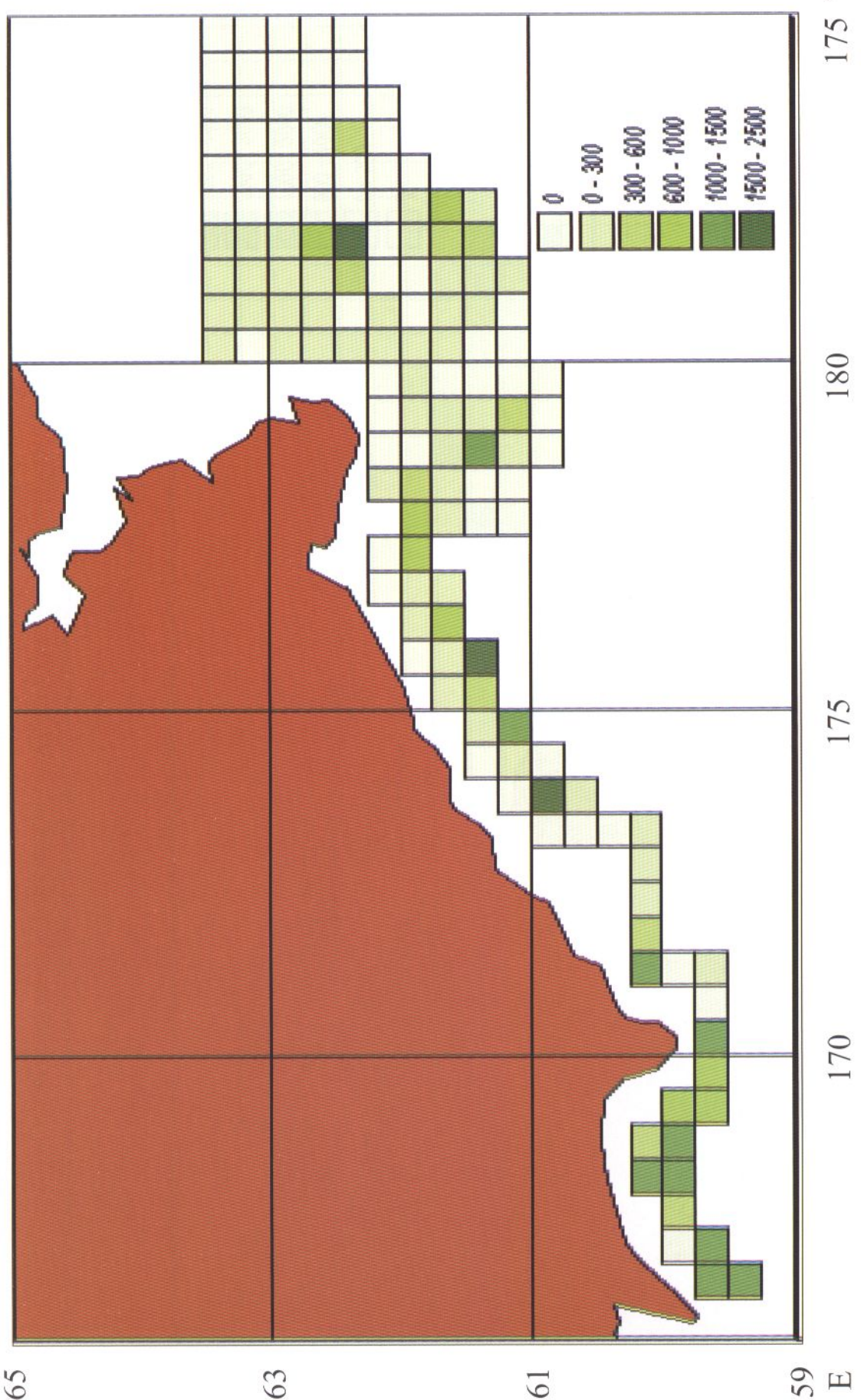


Рис. 9. Карта-схема плотности распределения тихоокеанского белокорого палтуса *Hippoglossus stenolepis* ($\text{кг}/\text{миля}^2$), среднемноголетние данные (1996-2003 гг.) по результатам летних траловых съемок.

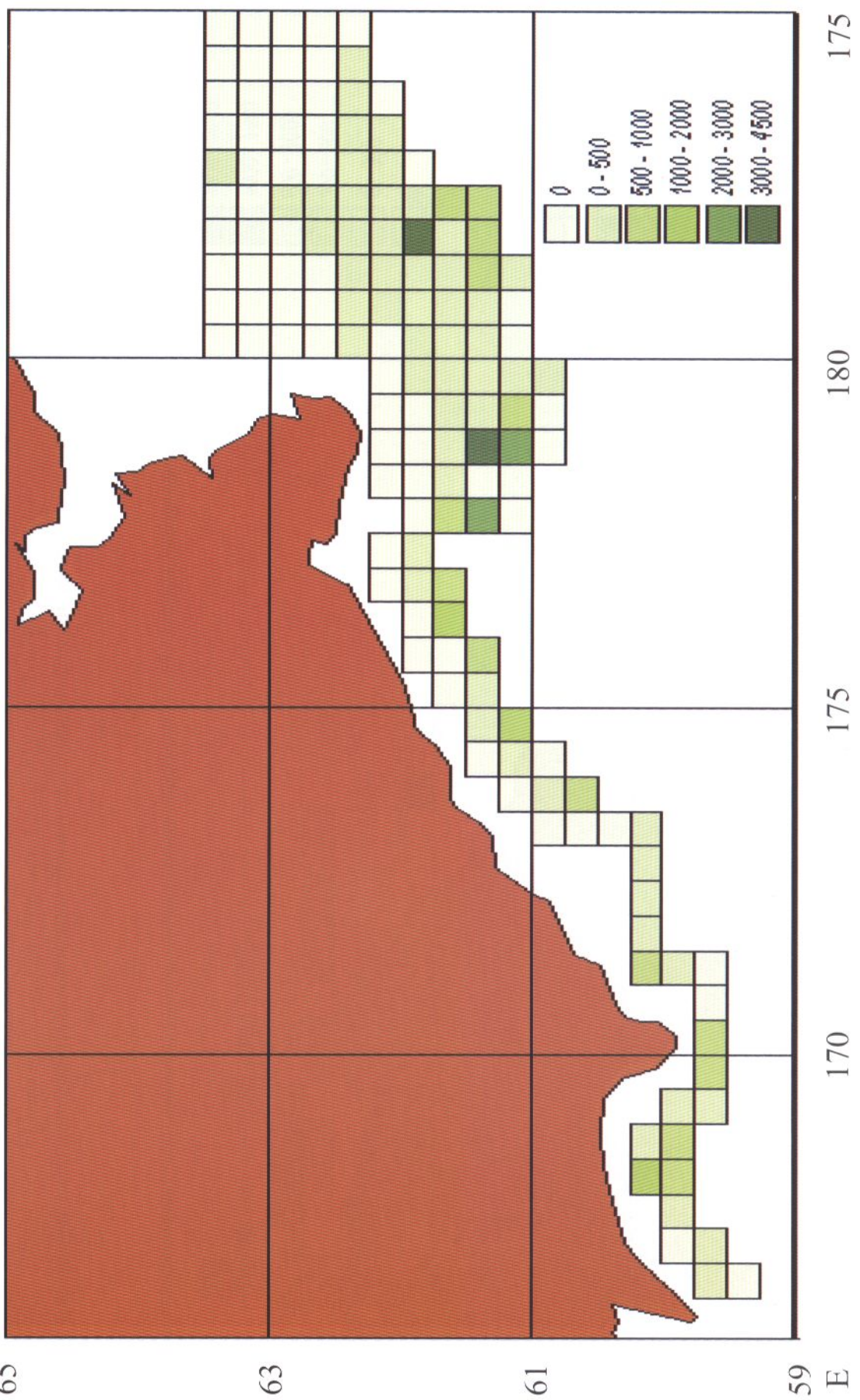


Рис. 10. Карта-схема плотности распределения тихоокеанского черного палтуса *Reinhardtius hippoglossoides matsuurae* ($\text{кг}/\text{миля}^2$), среднемноголетние данные (1996-2003 гг.) по результатам летних траовых съемок.

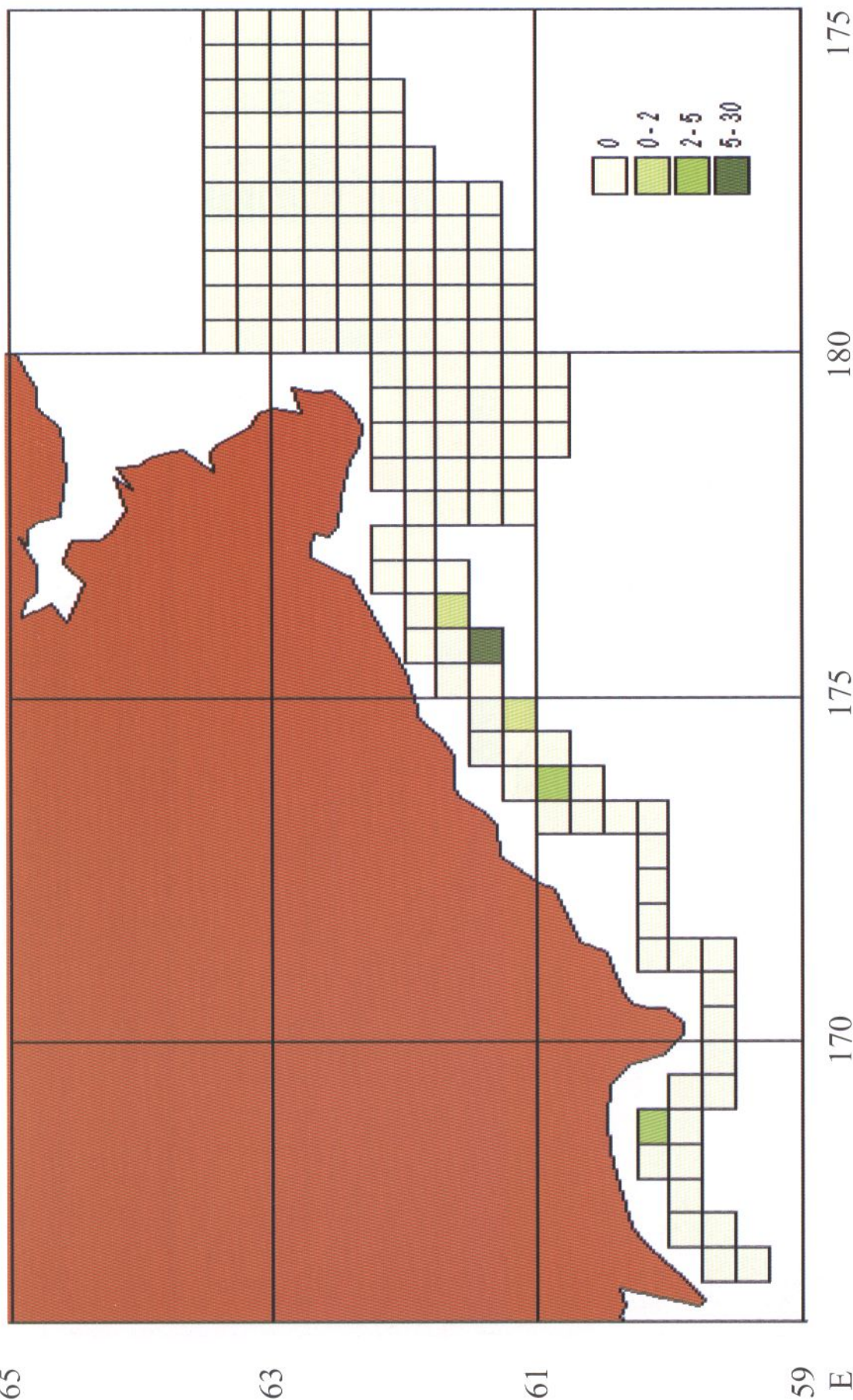


Рис. 11. Карта-схема плотности распределения длинноперого малянгота *Glyptosephalus zachirus* ($\text{кг}/\text{миля}^2$), среднемноголетние данные (1996-2003 гг.) по результатам летних траповых съемок.

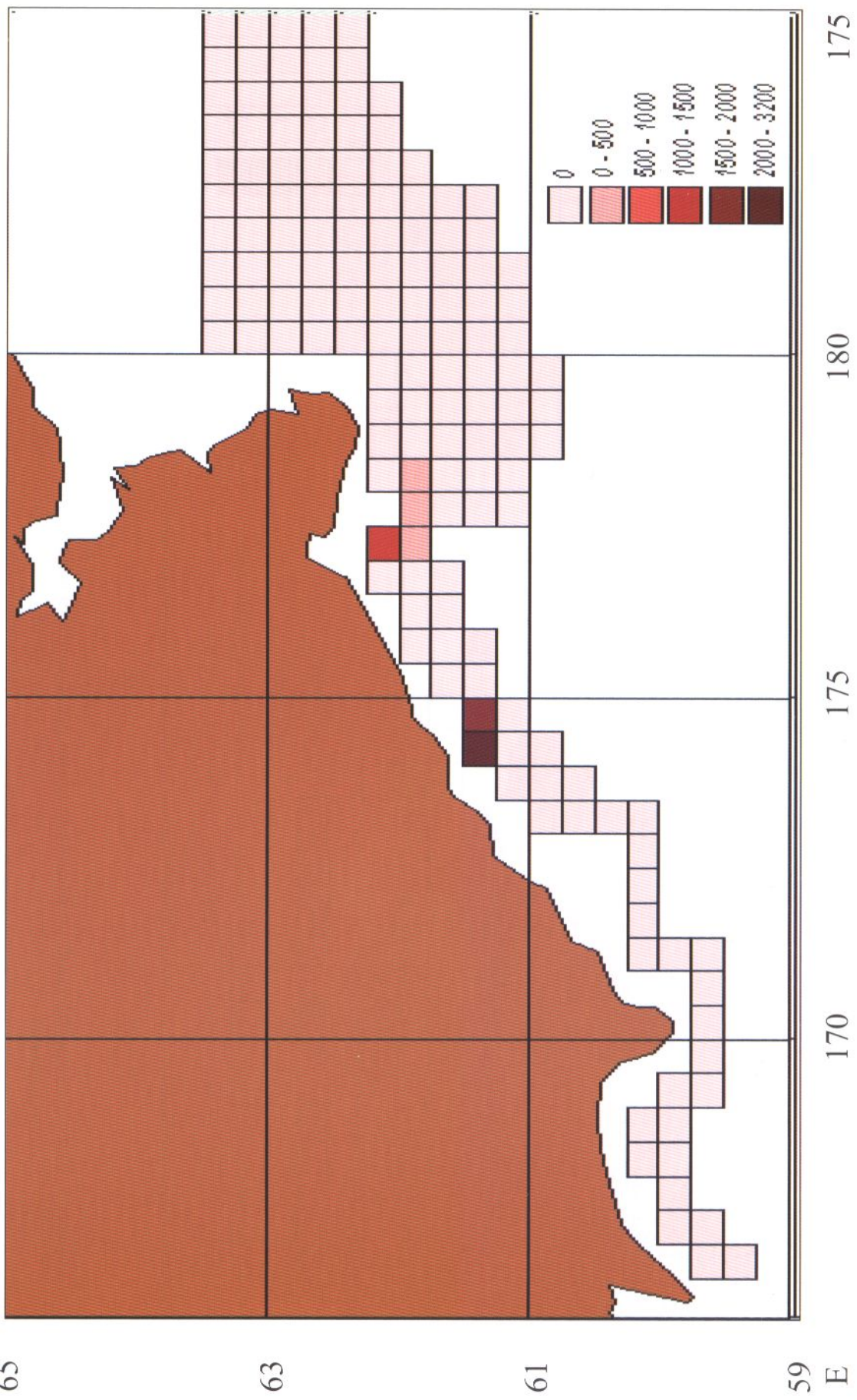
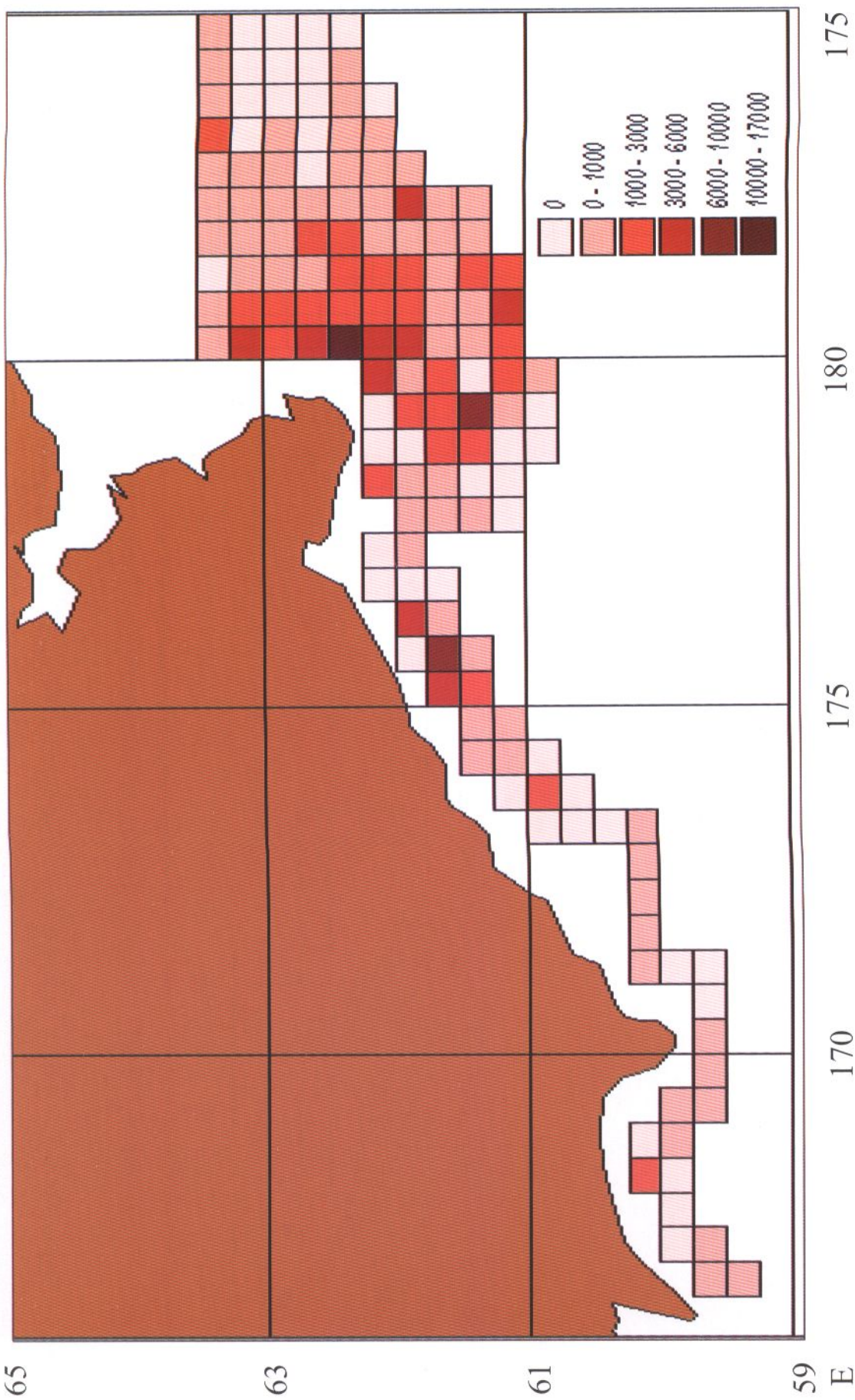


Рис. 12. Карта-схема плотности распределения керчака-яока *Myoxocephalus jaok* ($\text{кг}/\text{миля}^2$), среднемноголетние
данные (1996-2003 гг.) по результатам летних траловых съемок.

Рис. 13. Карта-схема плотности распределения многоиглого керчака *Myxocephalus polystomus* по результатам летних гравировальных съемок.



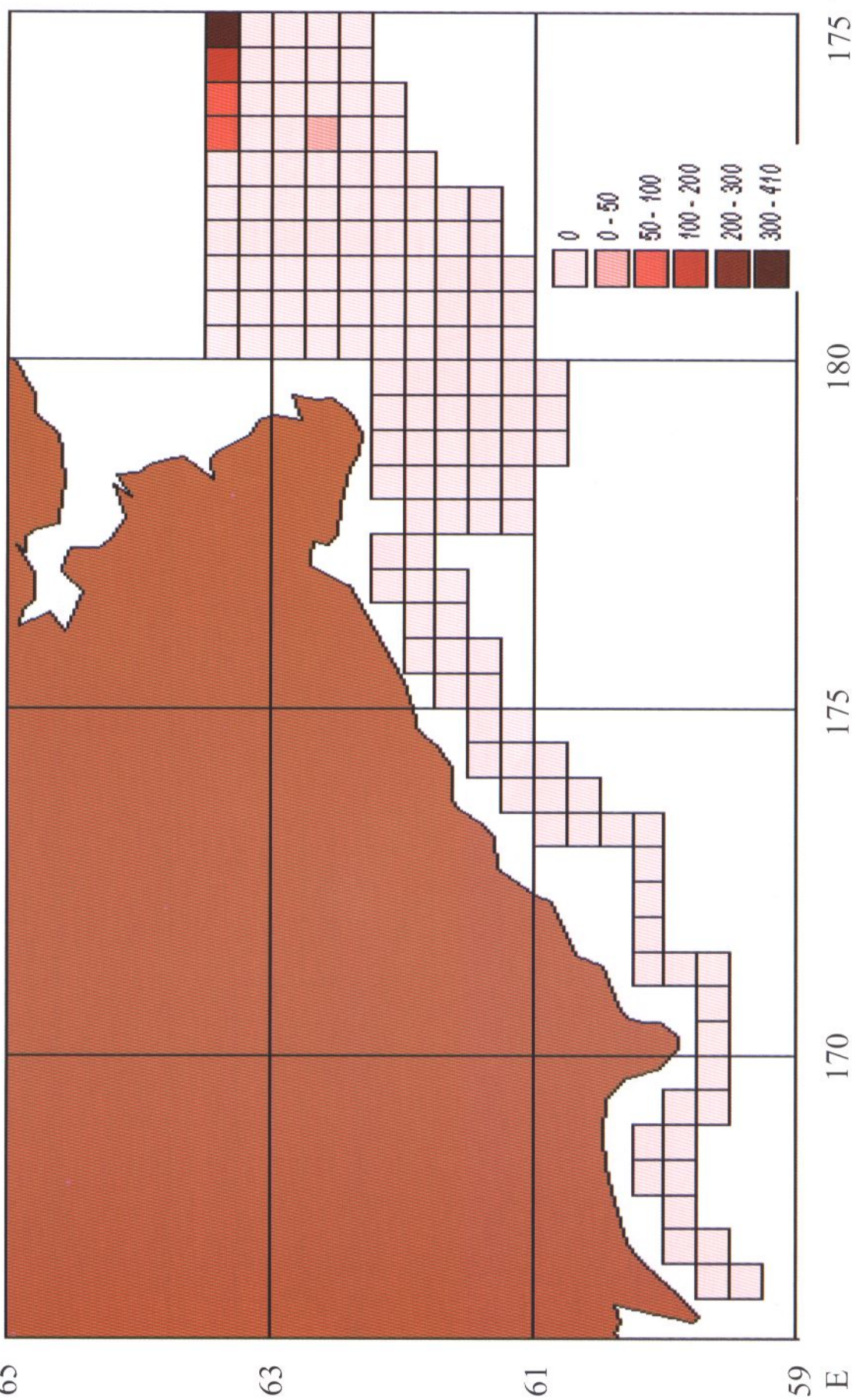


Рис. 14. Карта-схема плотности распределения пестрого получешуйника *Hemilepidotus gilberti* (кг/миля²), среднемноголетние данные (1996-2003 гг.) по результатам летних трауловых съемок.

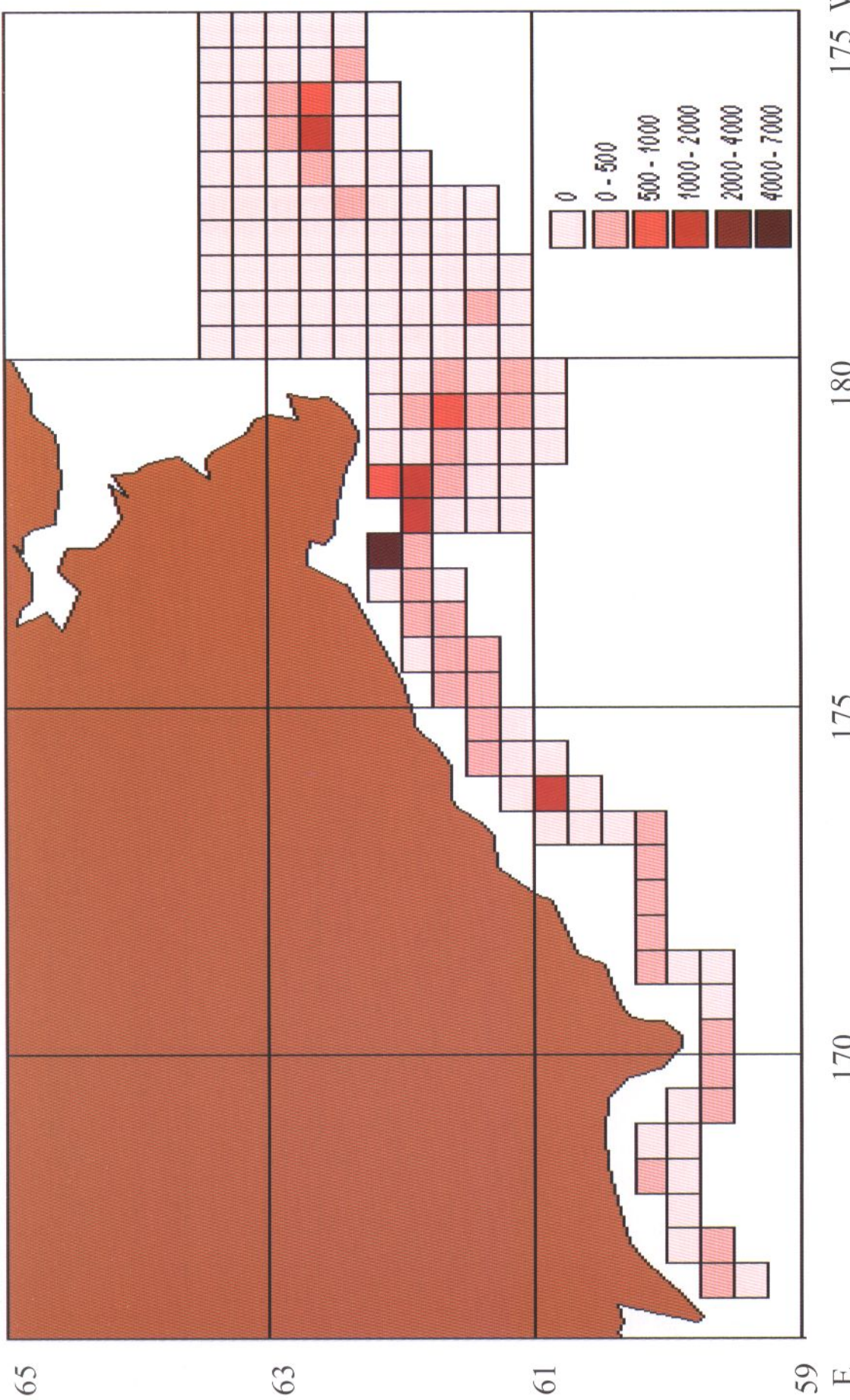


Рис. 15. Карта-схема плотности распределения белобрюхого полулучшайника *Hemilepidotus jordani* ($\text{кг}/\text{мил}^2$), среднемноголетние данные (1996-2003 гг.) по результатам летних тралевых съемок.

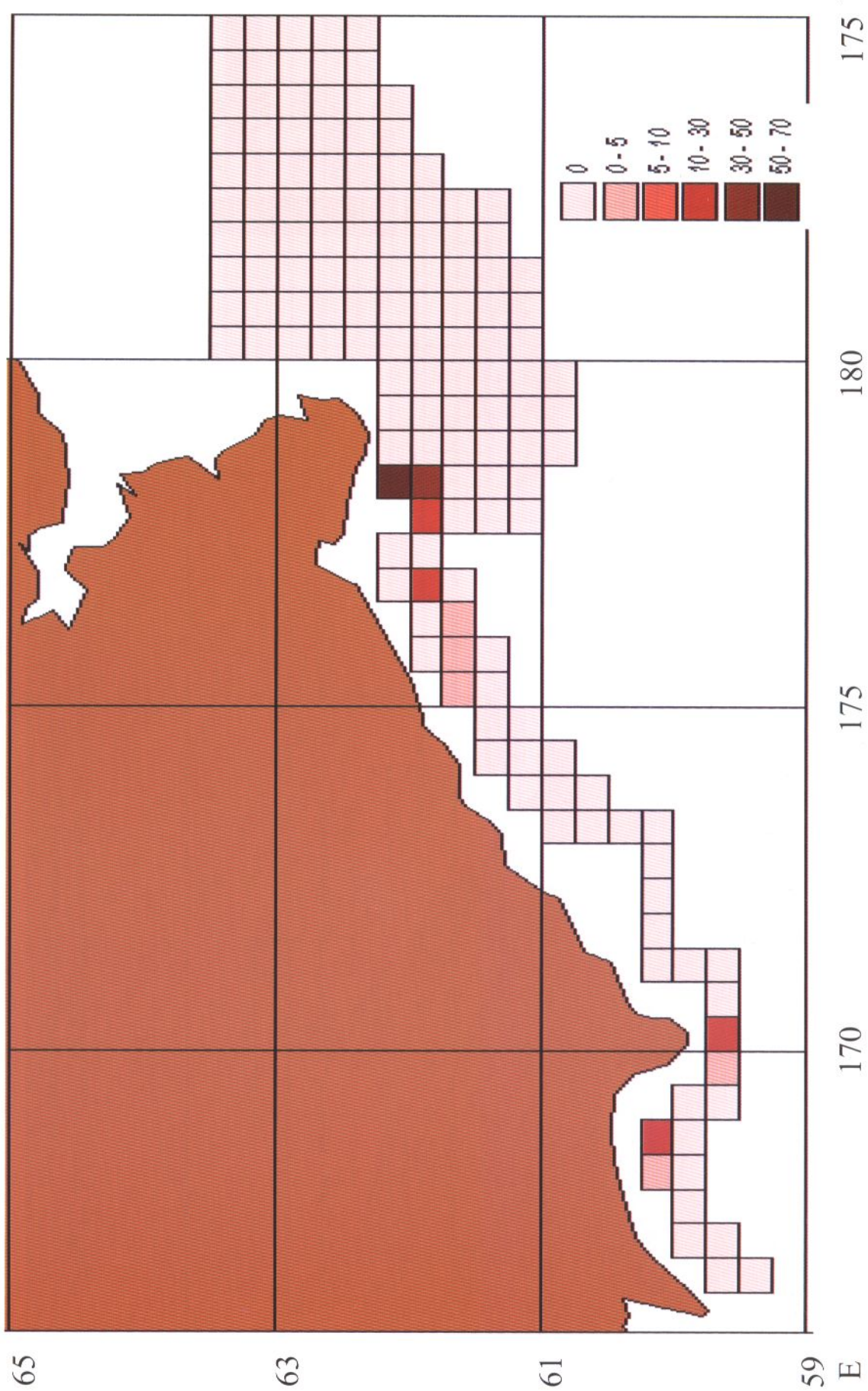


Рис. 16. Карта-схема плотности распределения узколобого шлемоносца *Gynasanthus galeatus* (кг/милля²), среднемноголетние данные (1996-2003 гг.) по результатам летних траловых съемок.

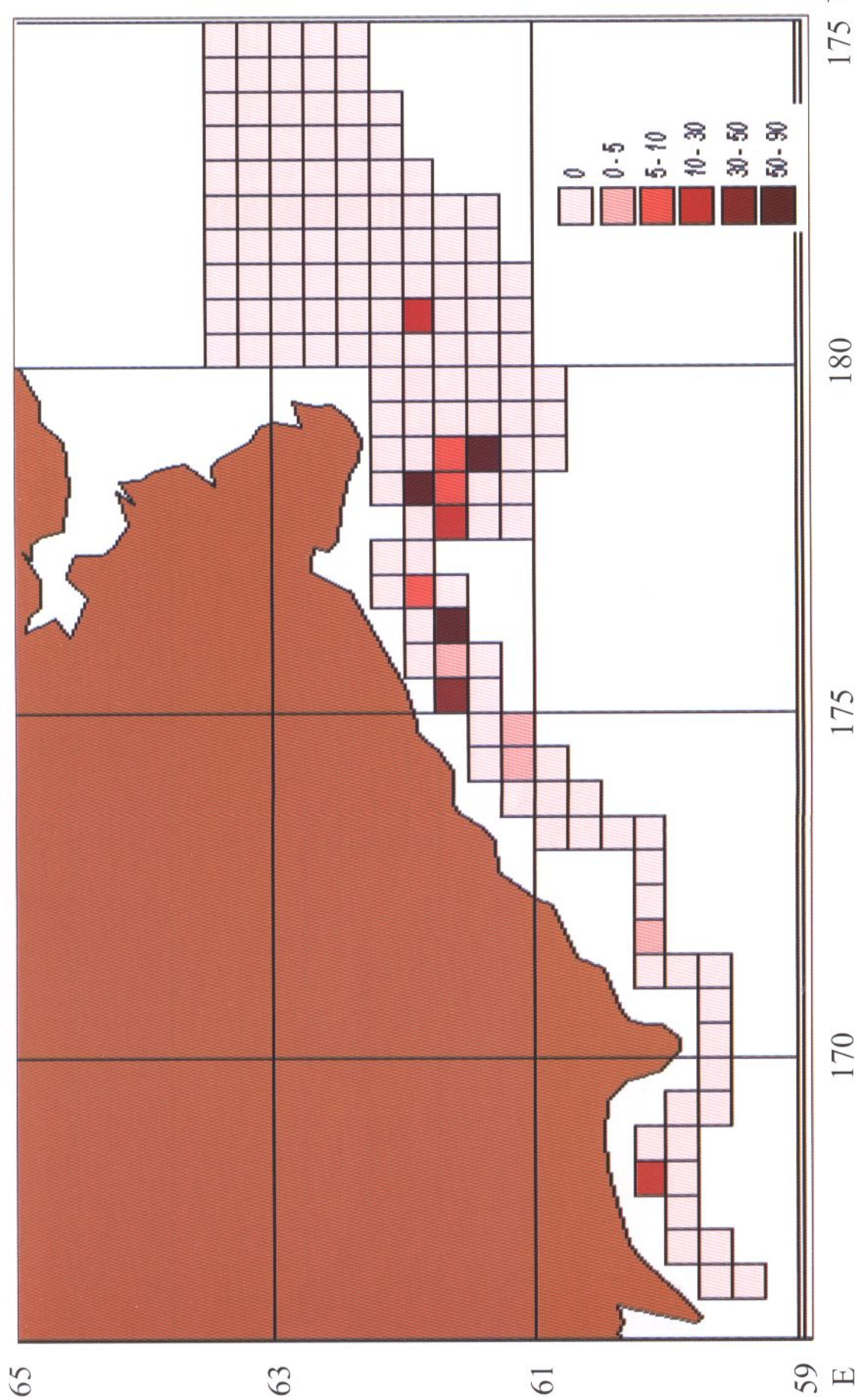


Рис. 17. Карта-схема плотности распределения колючего ищела *Icelus spiniger* (кг/миля²), среднемноголетние
данные (1996-2003 гг.) по результатам летних траовых съемок.

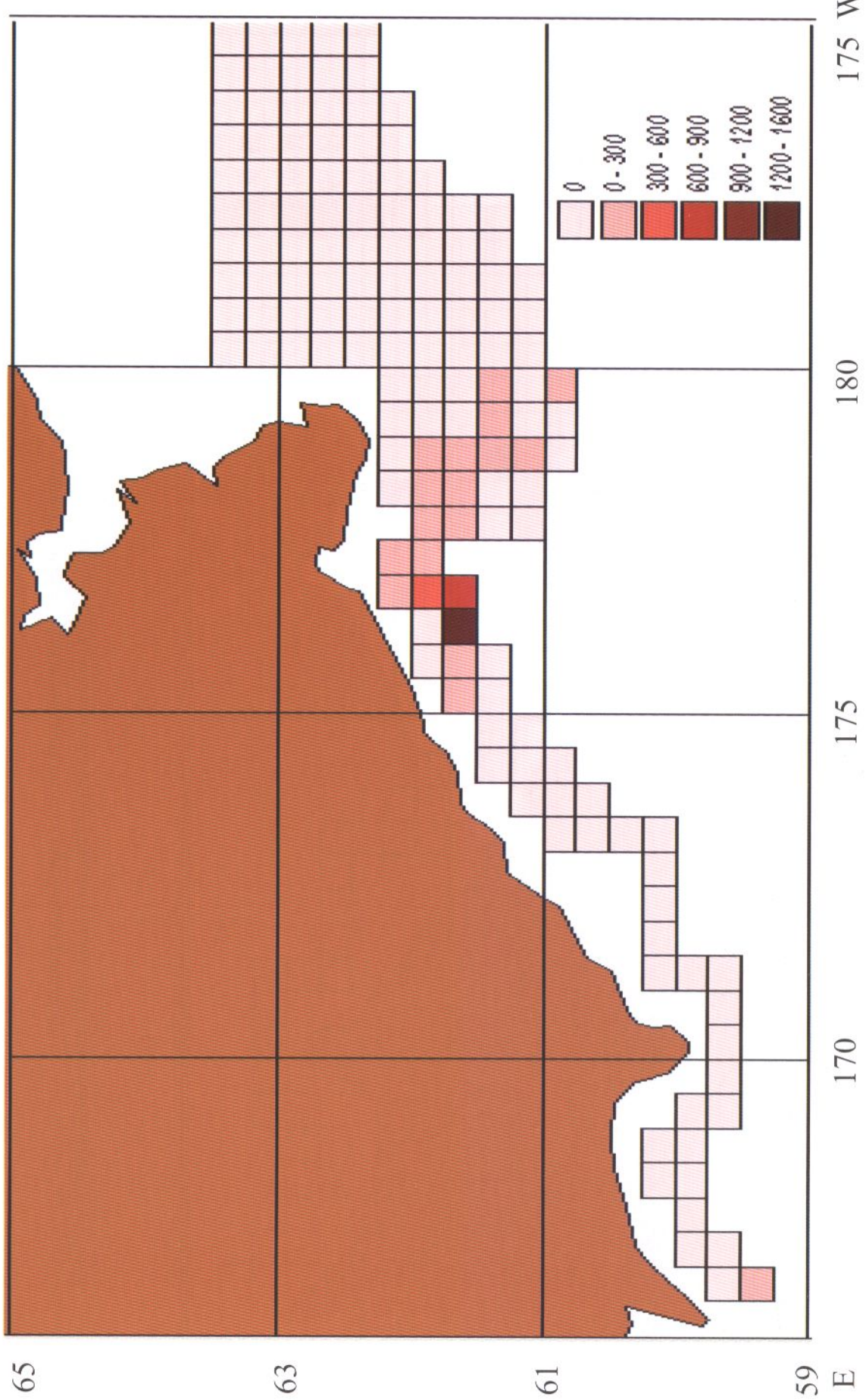


Рис. 18. Карта-схема плотности распределения ульки *Ulica bolini* ($\text{кг}/\text{м}^2$), среднемноголетние данные (1996-2003 гг.)
по результатам летних траиловых съемок.

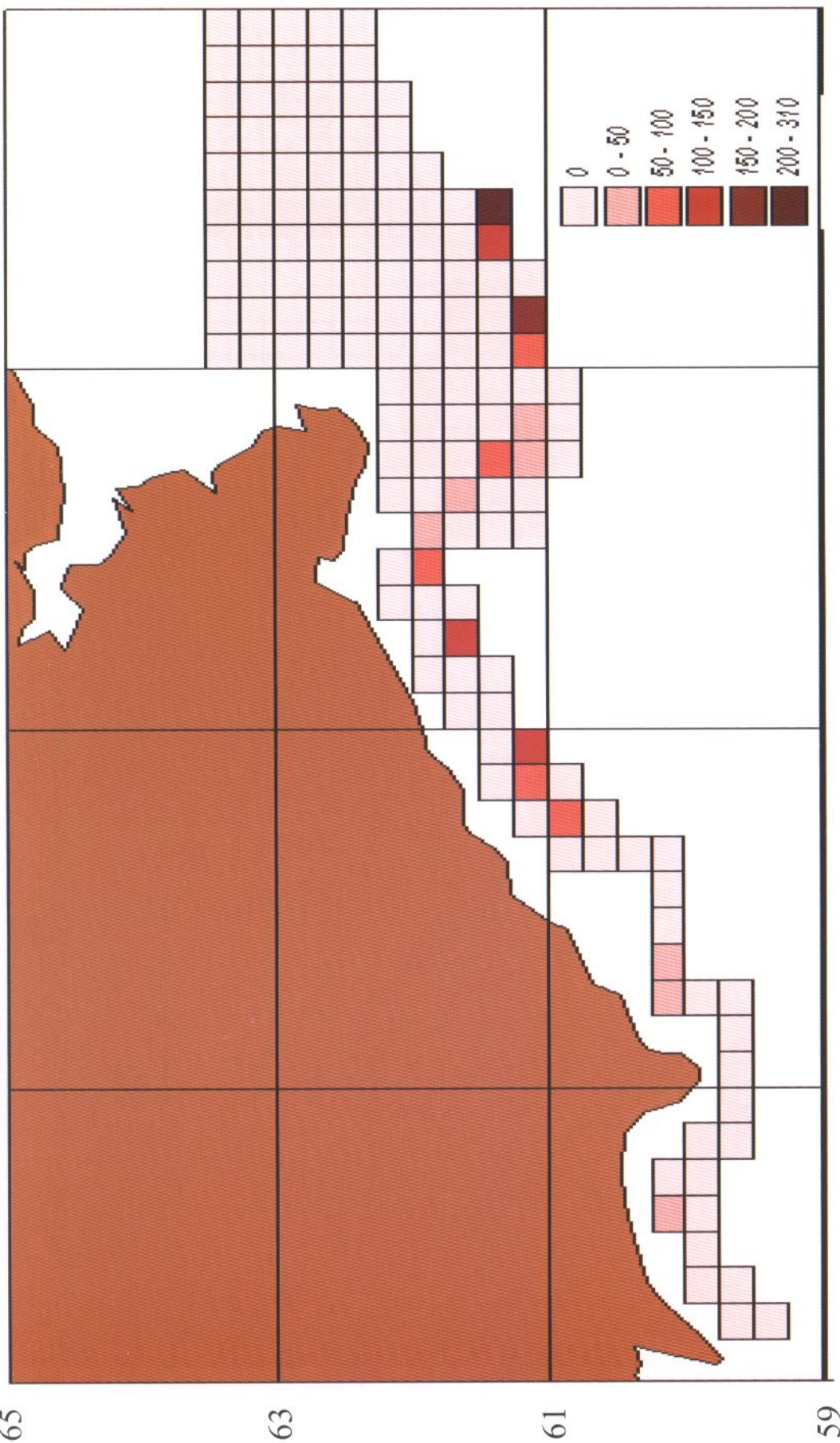


Рис. 19. Карта-схема плотности распределения щетинистого бычка *Dasycottus setiger* ($\text{кг}/\text{миля}^2$), среднемноголетние данные (1996-2003 гг.) по результатам летних траовых съемок.

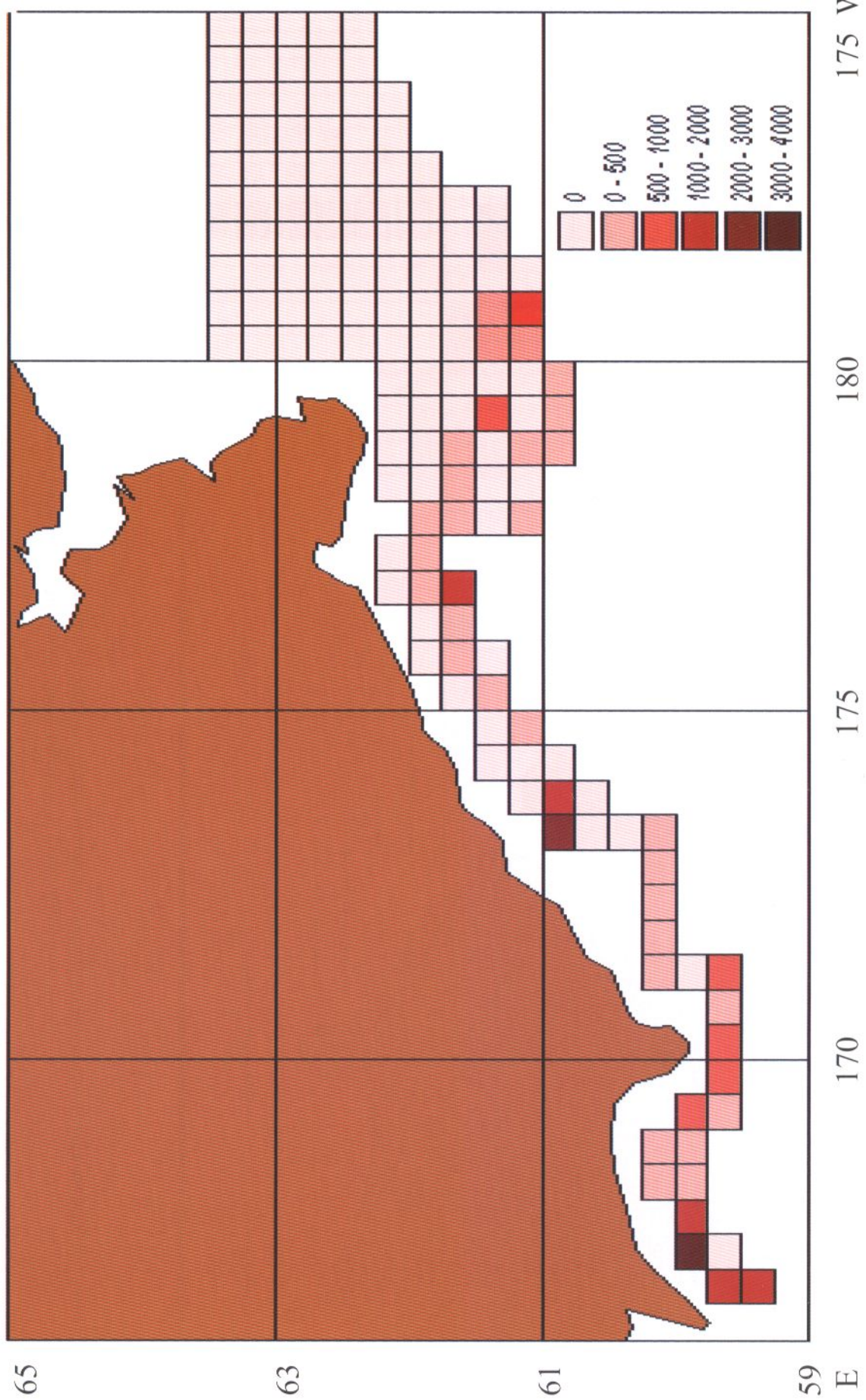


Рис. 20. Карта-схема плотности распределения мягкого бычка *Malacocottus zonurus* ($\text{кг}/\text{м}^2$), среднемноголетние данные (1996-2003 гг.) по результатам летних траловых съемок.

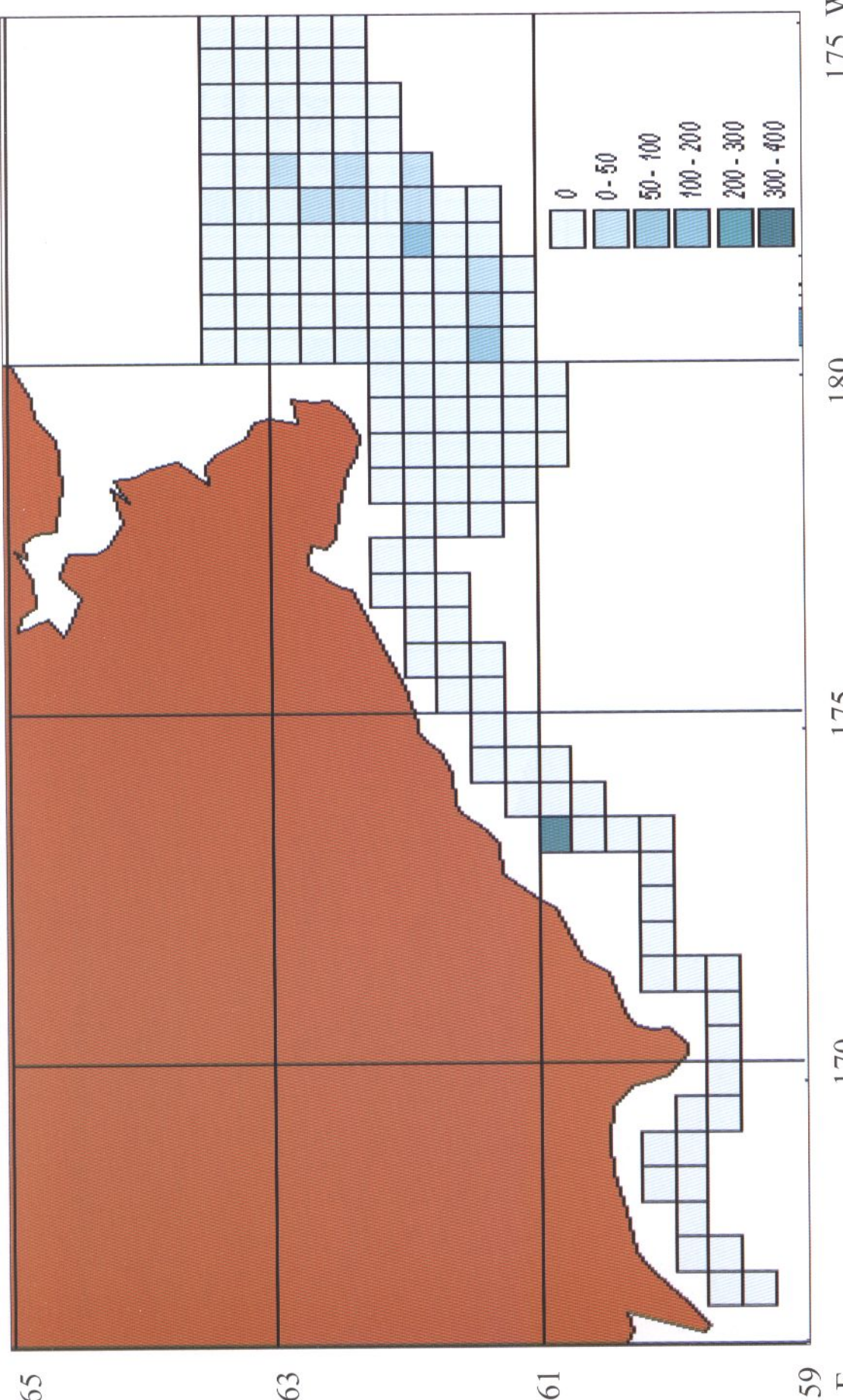


Рис. 21. Карта-схема плотности распределения коротконогого ликода *Lycodes brevipes* ($\text{кг}/\text{миля}^2$), среднемноголетние данные (1996-2003 гг.) по результатам летних трауловых съемок.

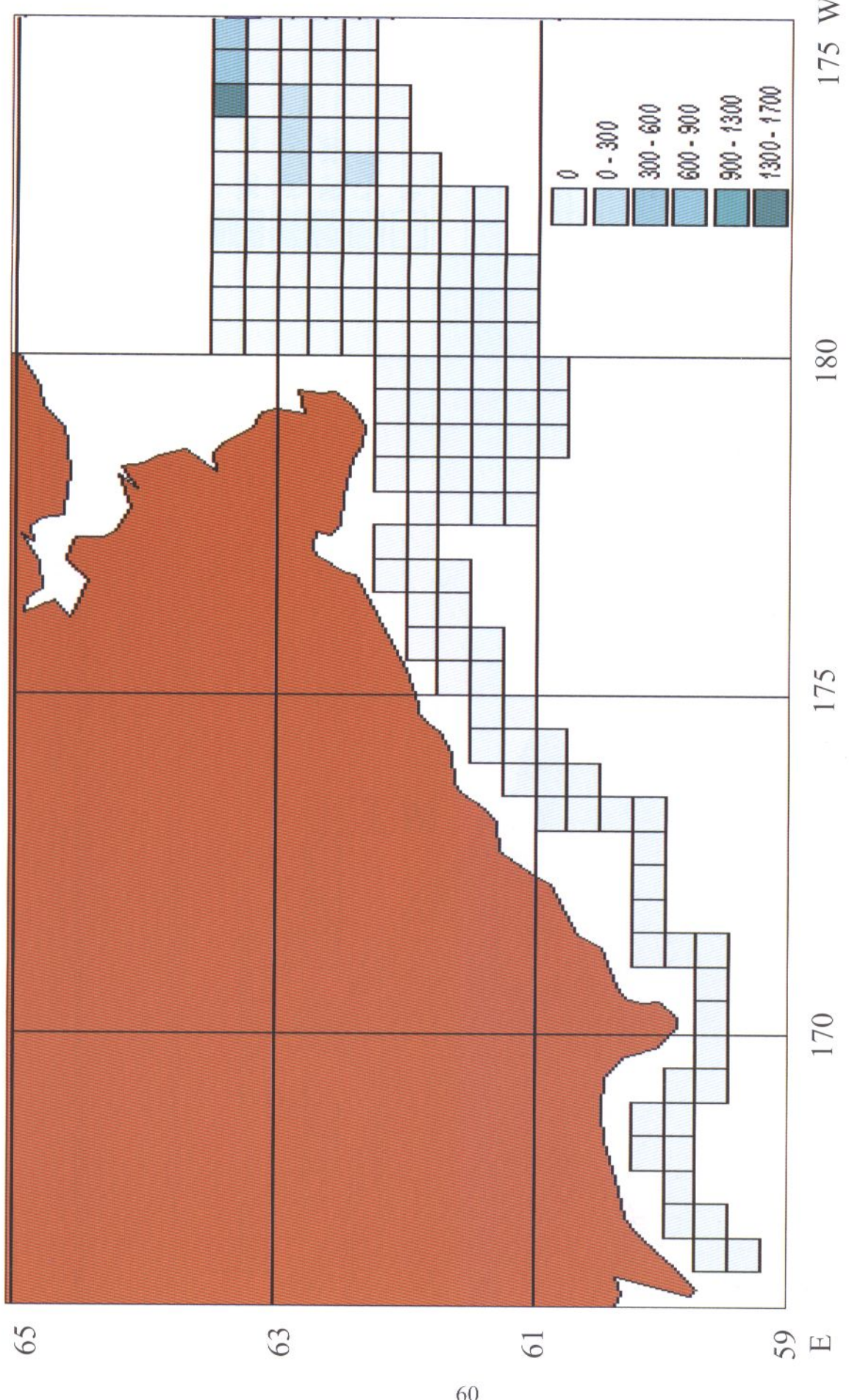


Рис. 22. Карта-схема плотности распределения редкозубого ликода *Lycodes rairdens* ($\text{кг}/\text{мил}^2$), среднемноголетние данные (1996-2003 гг.) по результатам летних трауловых съемок.

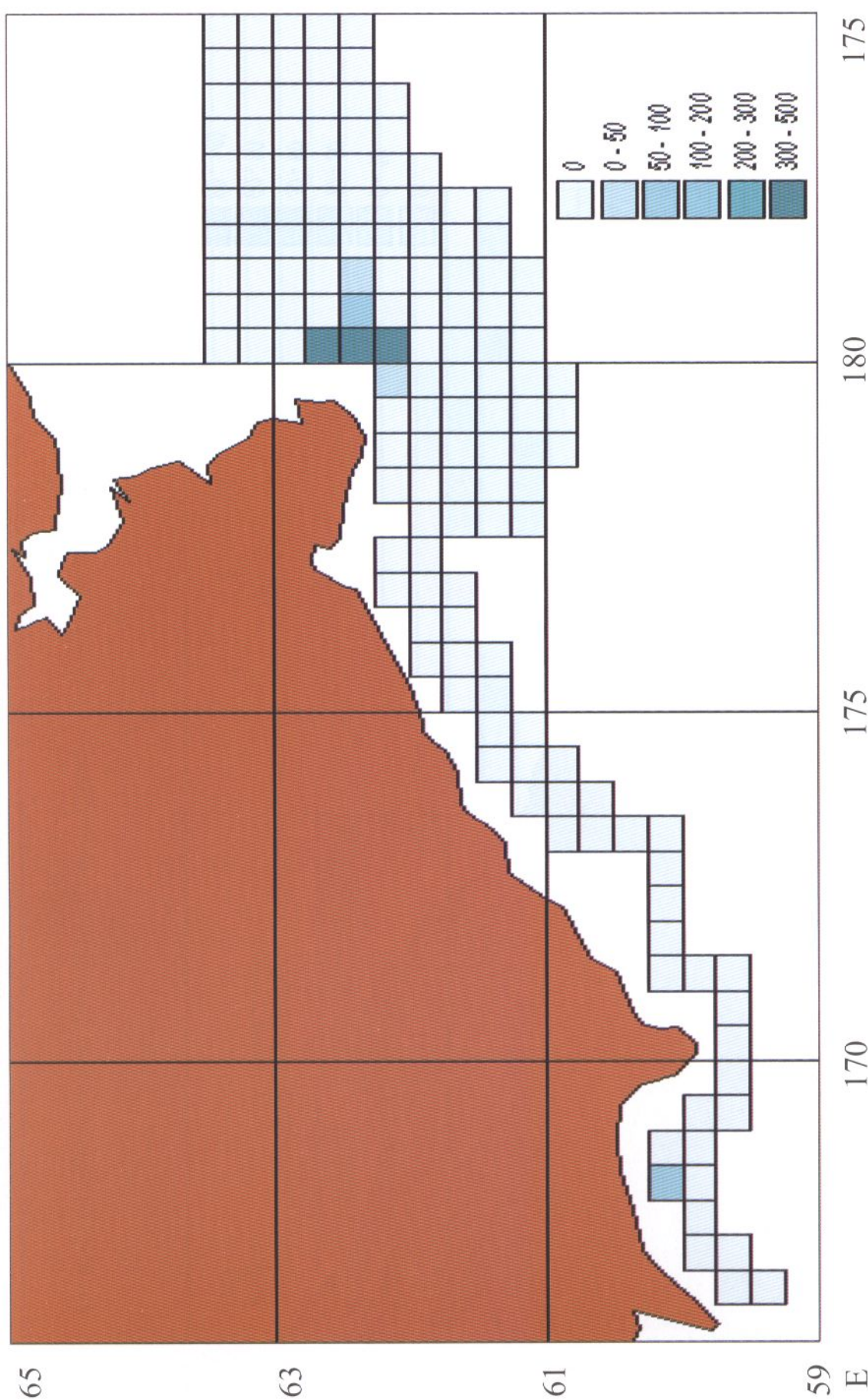


Рис. 23. Карта-схема плотности распределения охотского липариса *Liparis ochotensis* (кг/миля²), среднемноголетние данные (1996-2003 гг.) по результатам летних траовых съемок.

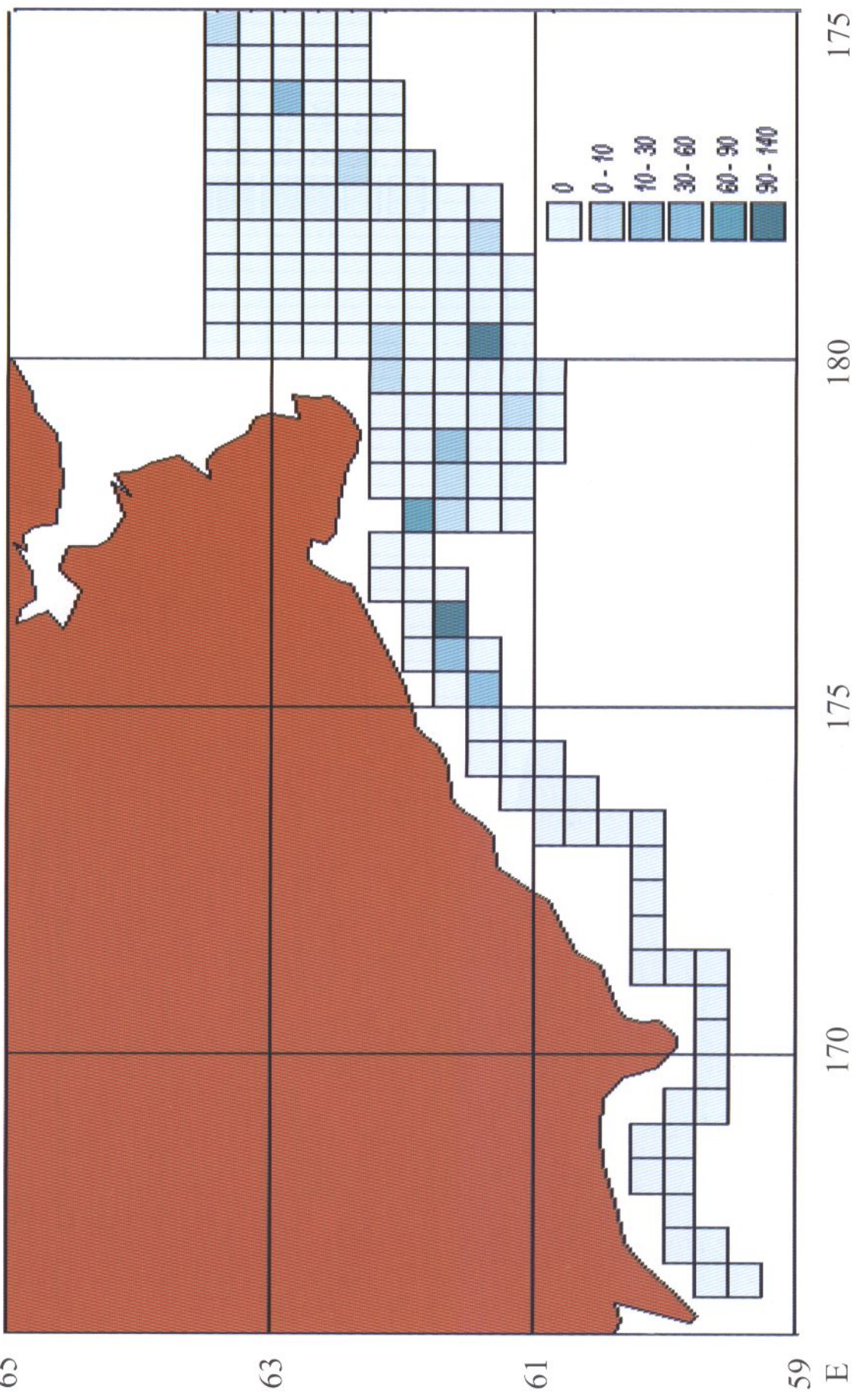


Рис. 24. Карта-схема плотности распределения шершавого карепрокта *Careproctus rastinus* (кг/миля²), среднемноголетние
данные (1996-2003 гг.) по результатам летних гравировальных съемок.

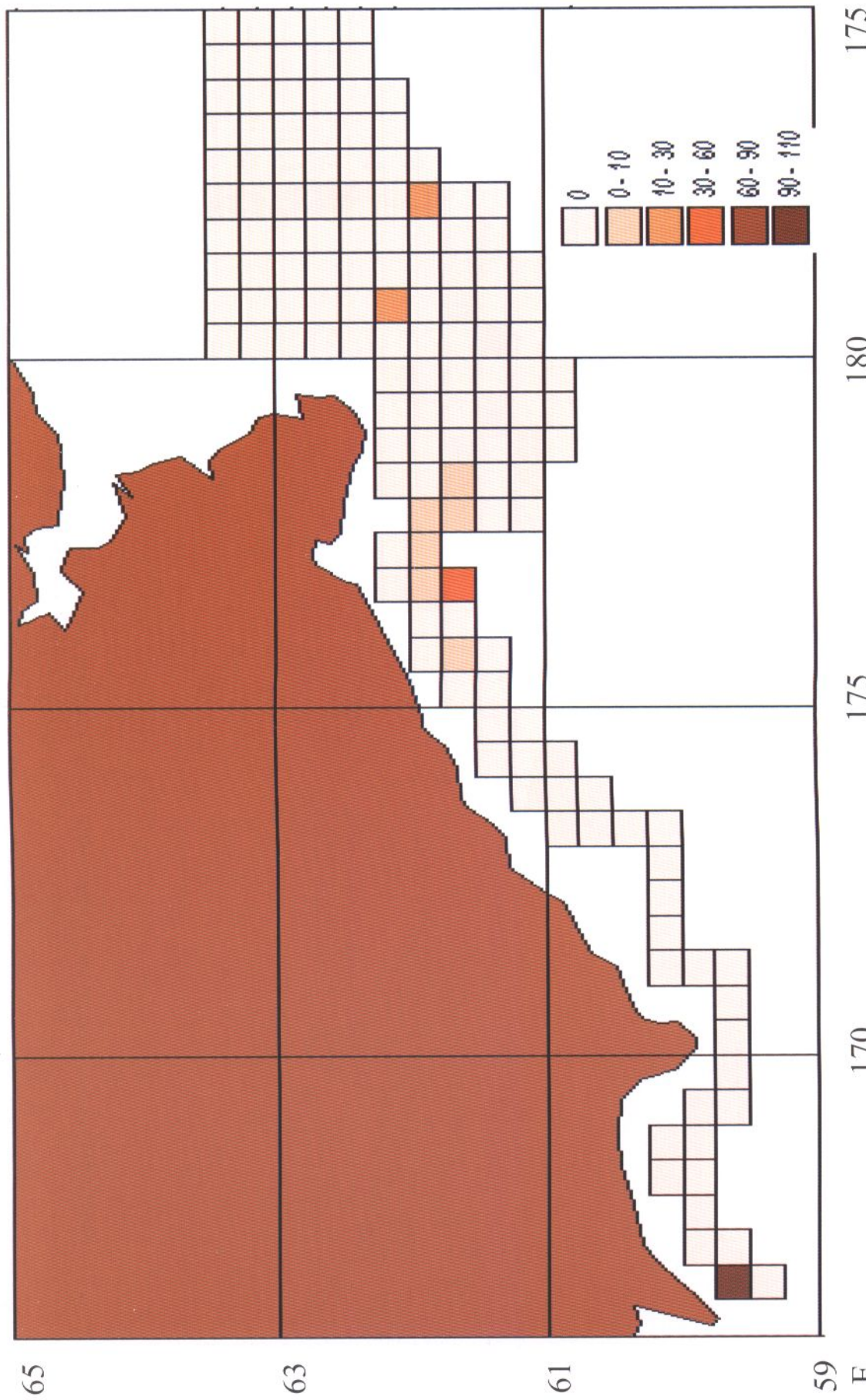


Рис. 25. Карта-схема плотности распределения японской лисички *Percis japonicus* (кг/милля²), среднемноголетние данные (1996-2003 гг.) по результатам летних гидрологических съемок.

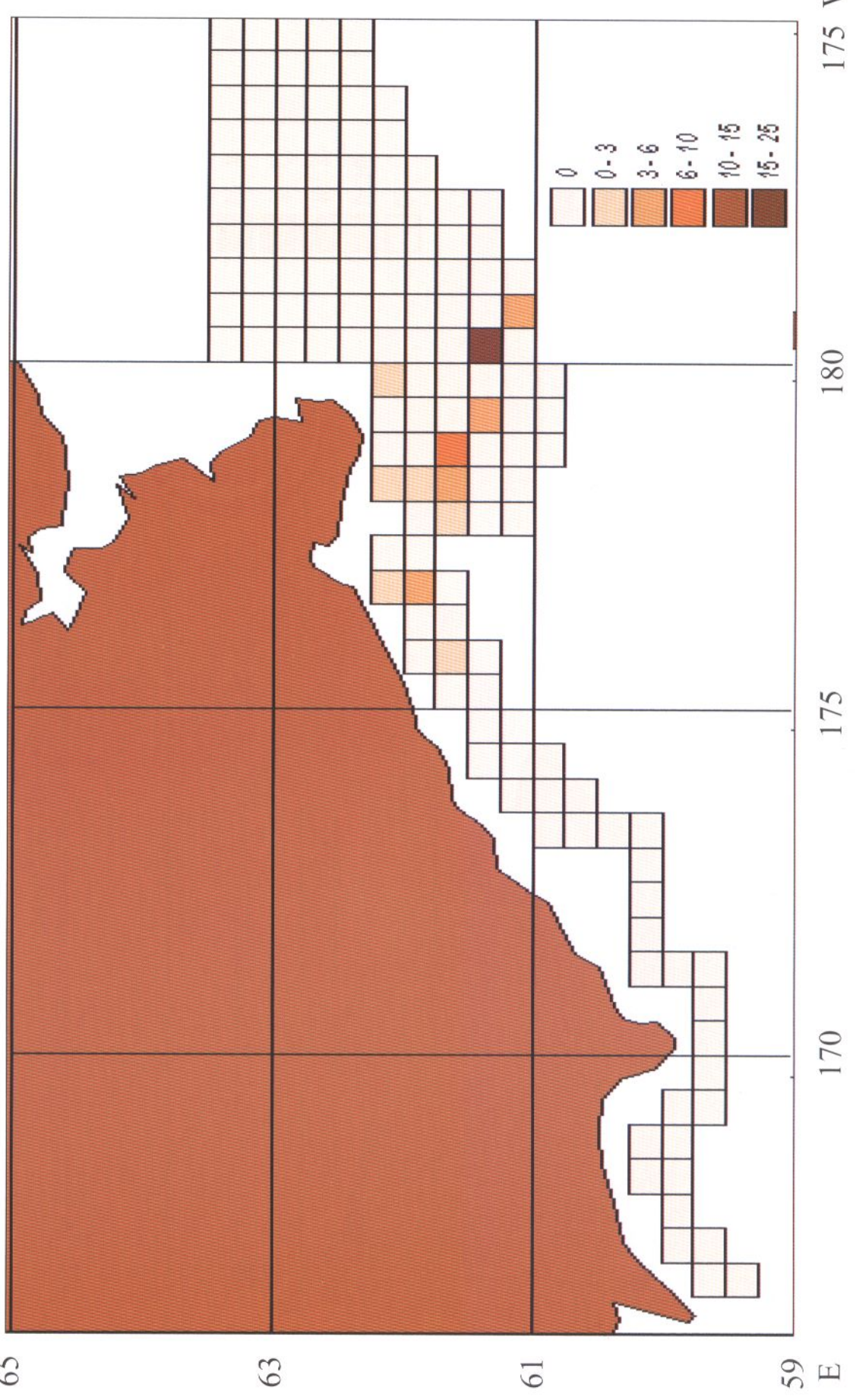


Рис. 26. Карта-схема плотности распределения тонкохвостой лисички *Sarrtor frenatus* ($\text{кг}/\text{м}^2$), среднемноголетние данные (1996-2003 гг.) по результатам летних трауловых съемок.

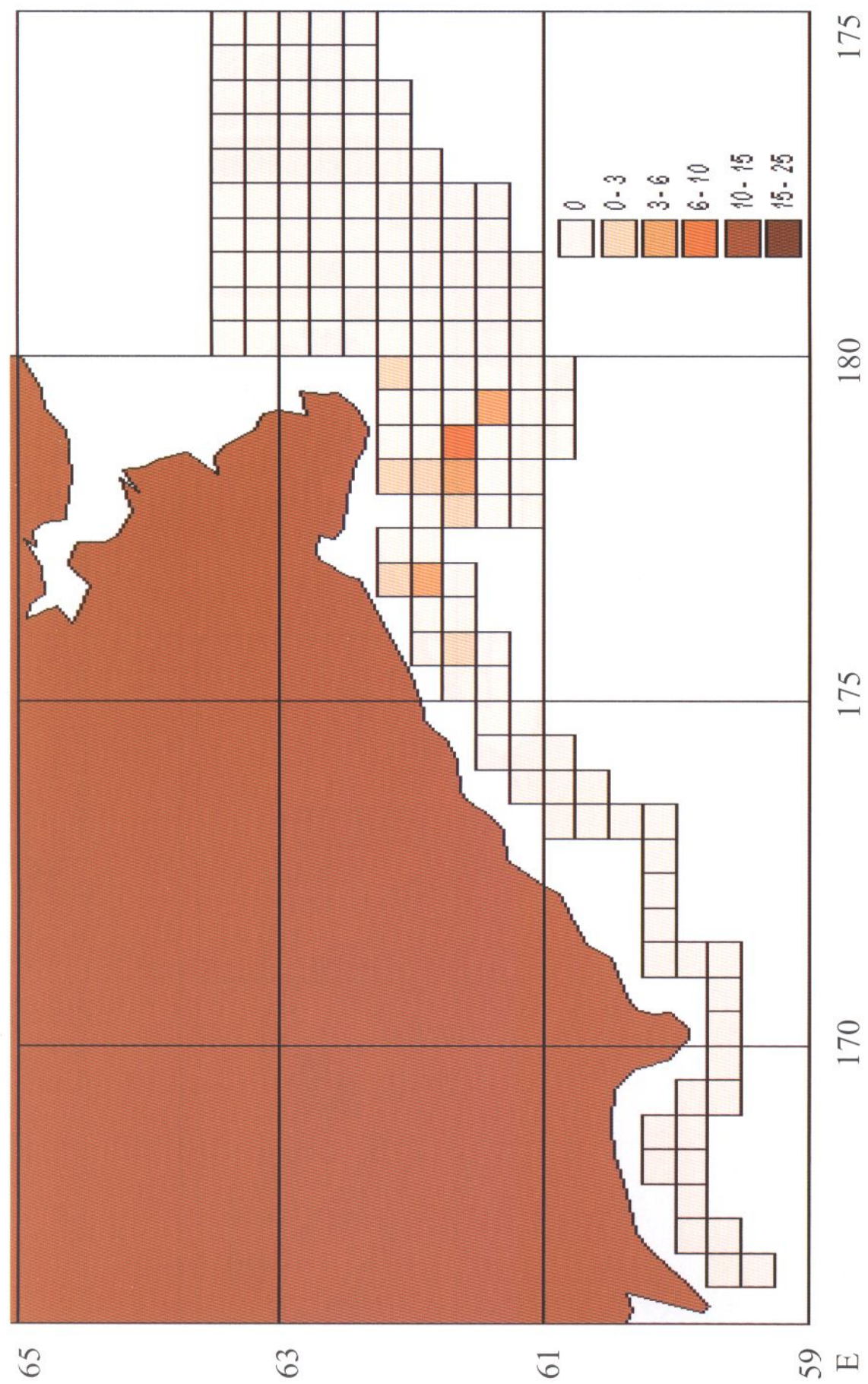


Рис. 27. Карта-схема плотности распределения тонкорылой лисички *Sarrius leptorhynchus* (кг/мил²), среднемноголетние
данные (1996-2003 гг.) по результатам летних траловых съемок.

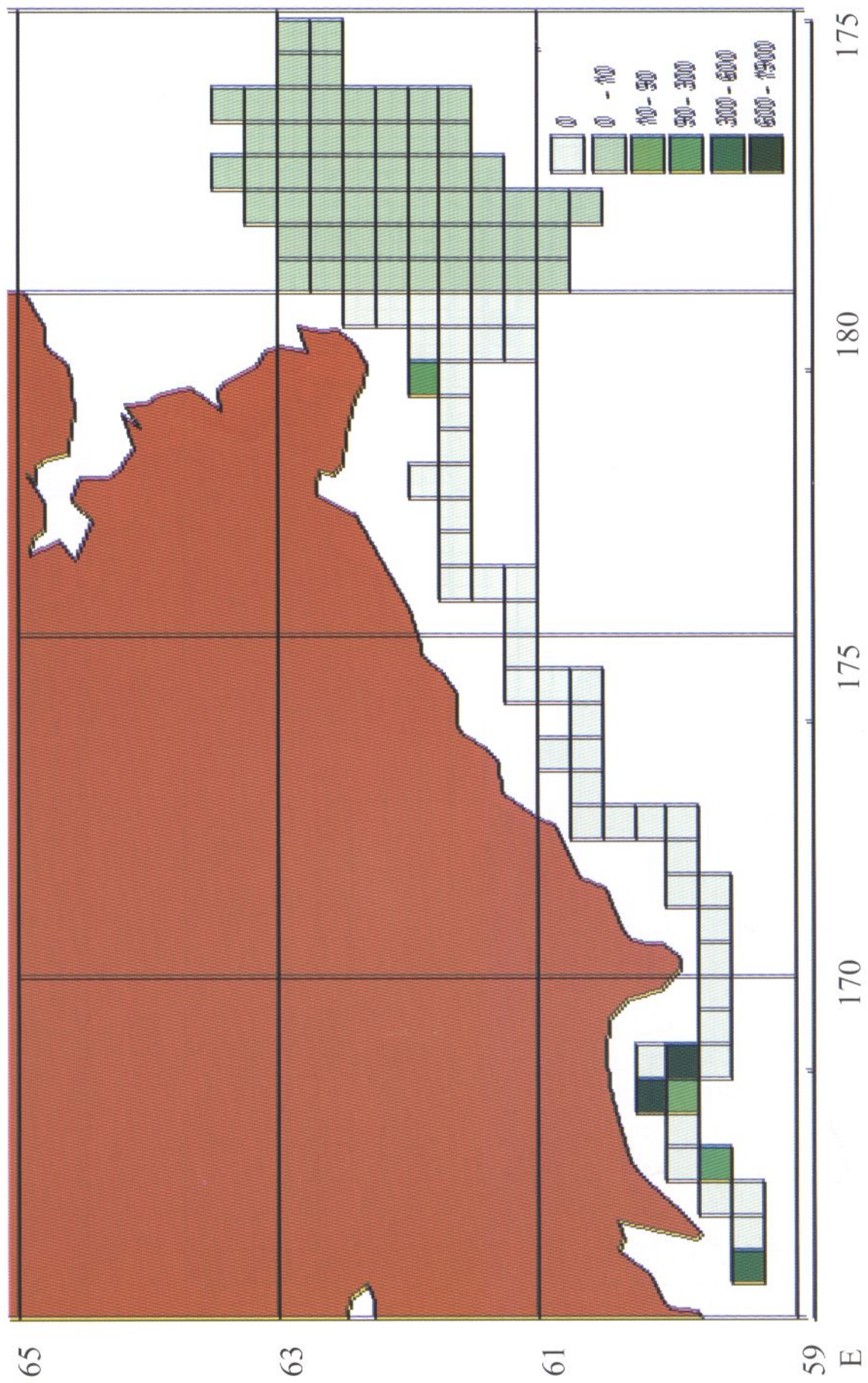


Рис. 28. Карта-схема плотности распределения алеутского ската *Bathyraja aleutica* (кг/миля²), среднемноголетние данные (1996-2003 гг.) по результатам осенних траловых съемок.

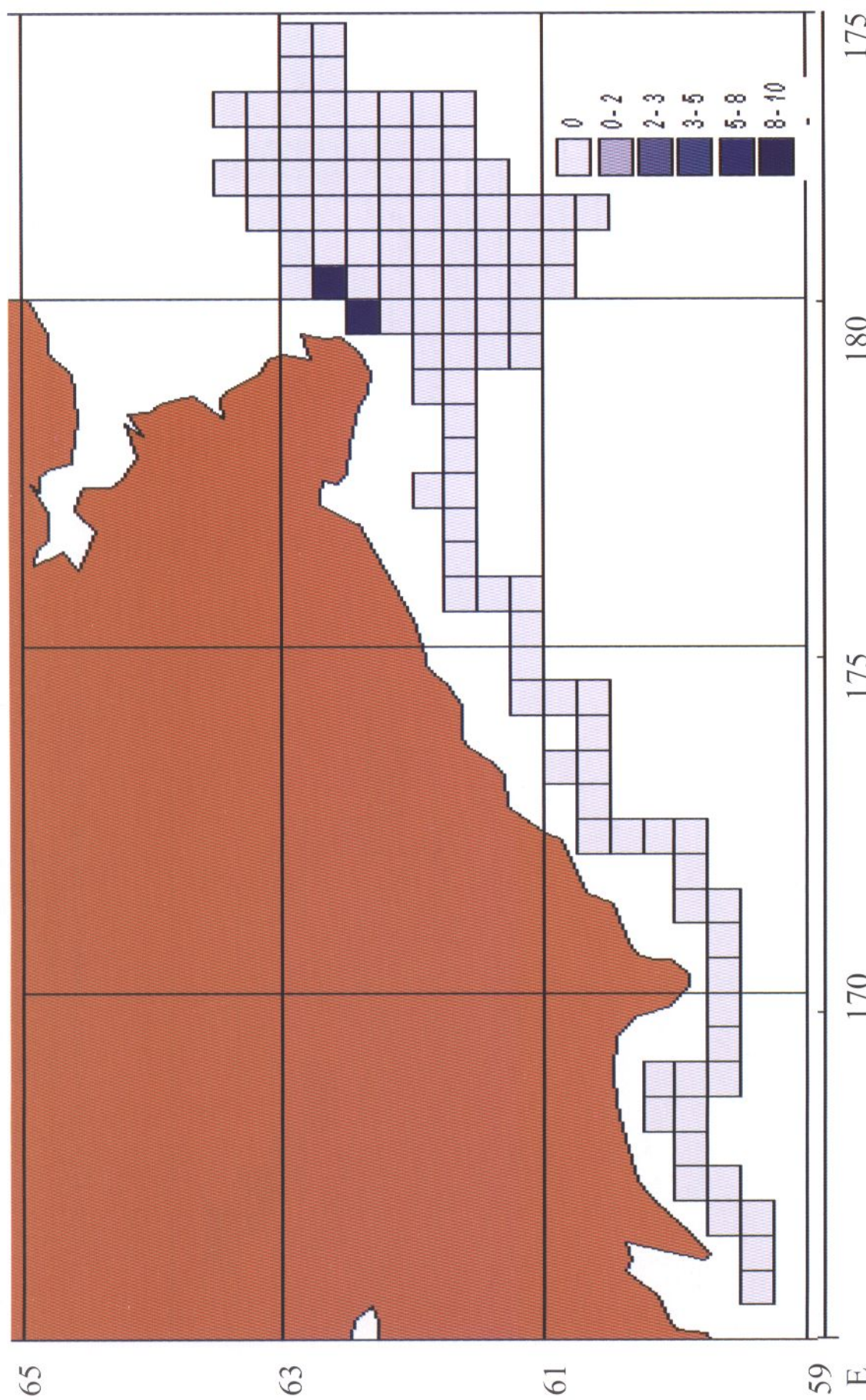


Рис. 29. Карта-схема плотности распределения наваги *Eleginus gracilis* (кг/миля²), среднемноголетние
данные (1996-2003 гг.) по результатам осенних траловых съемок.

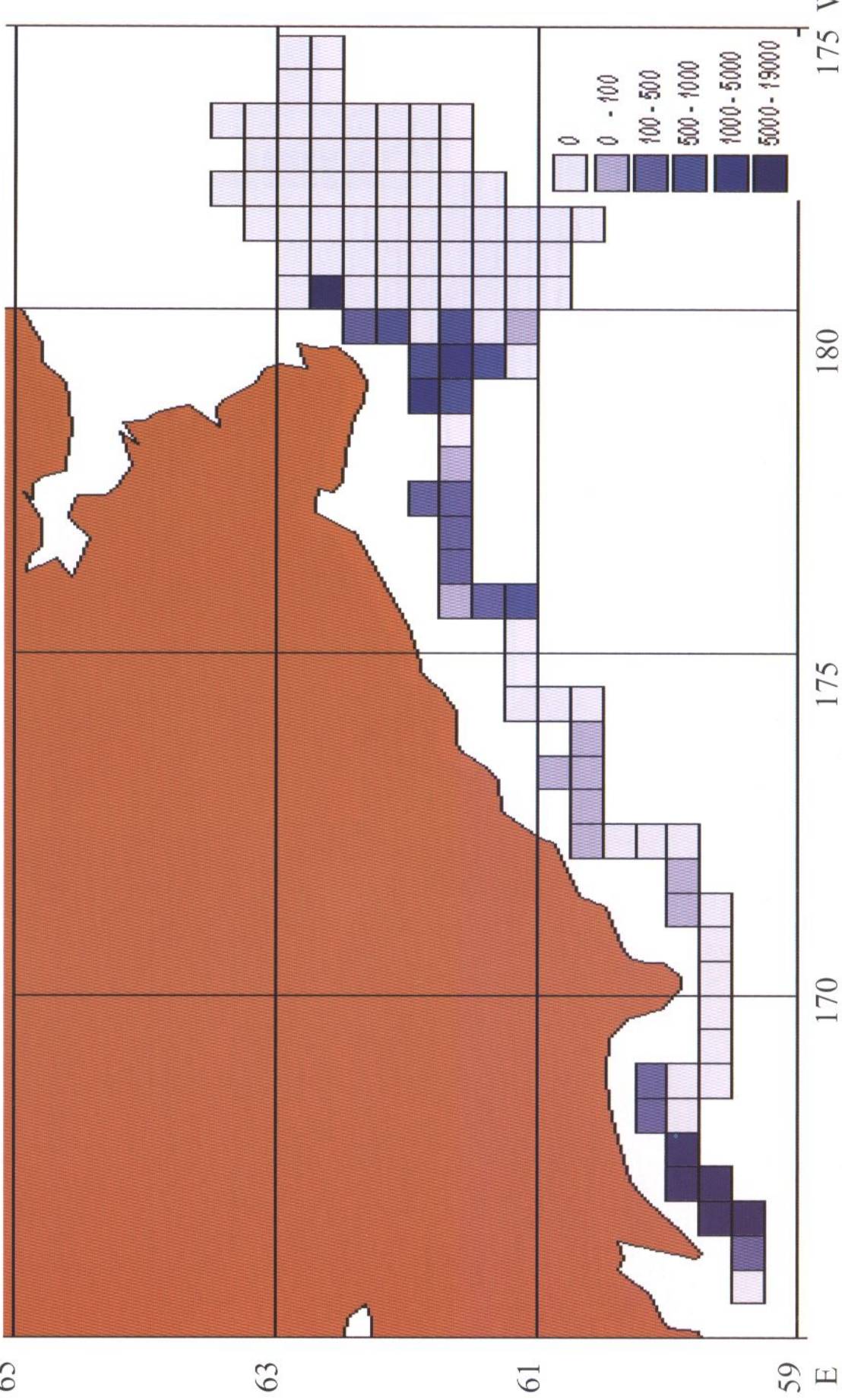


Рис. 30. Карта-схема плотности распределения тихоокеанской трески *Gadus macrocephalus* (кг/миля²), среднемноголетние данные (1996-2003 гг.) по результатам осенних трашовых съемок.

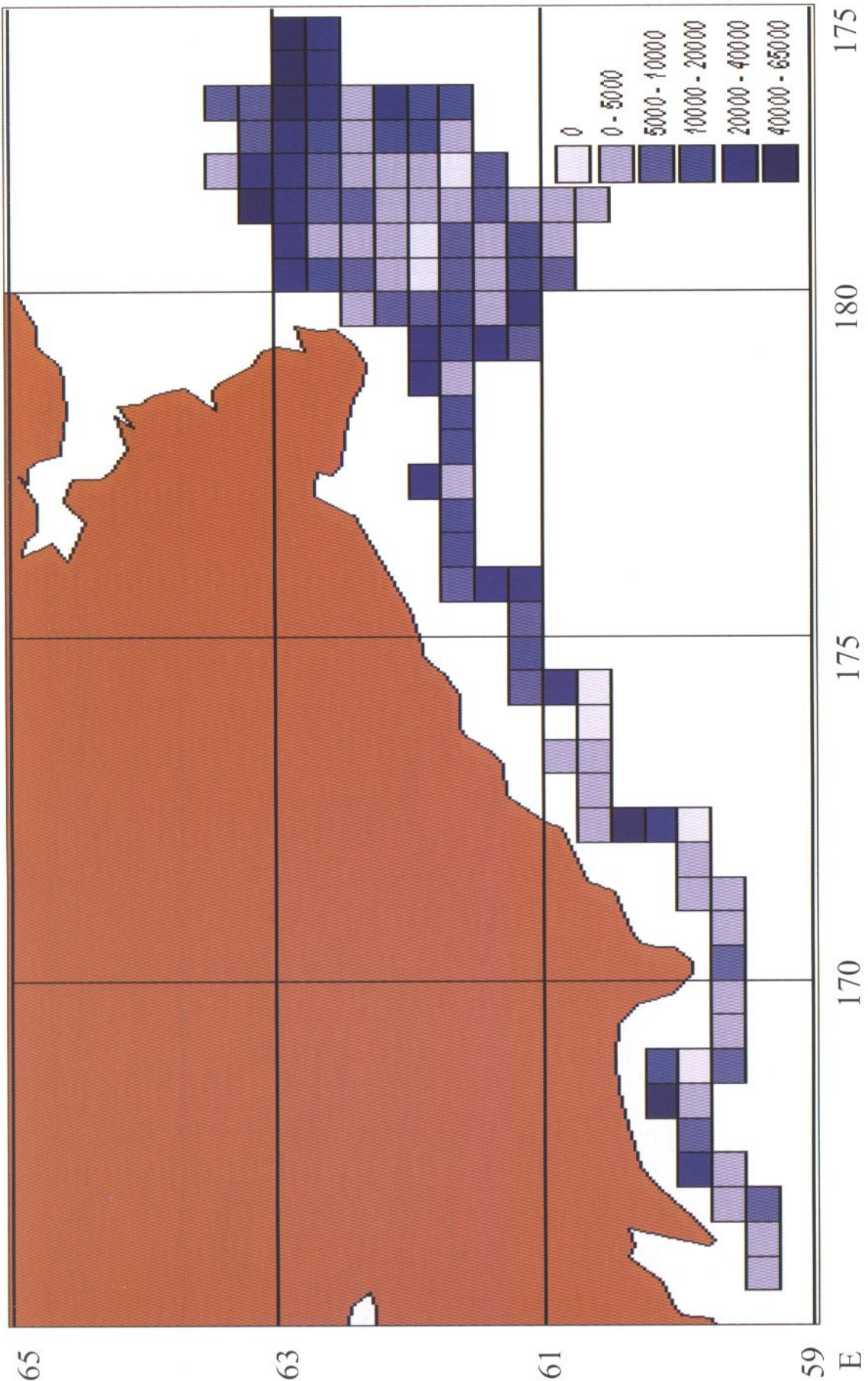


Рис. 31. Карта-схема плотности распределения минтая *Theragra chalcogramma* ($\text{кг}/\text{мил}^2$),
среднемноголетние данные (1996-2003 гг.) по результатам осенних траовых съемок.

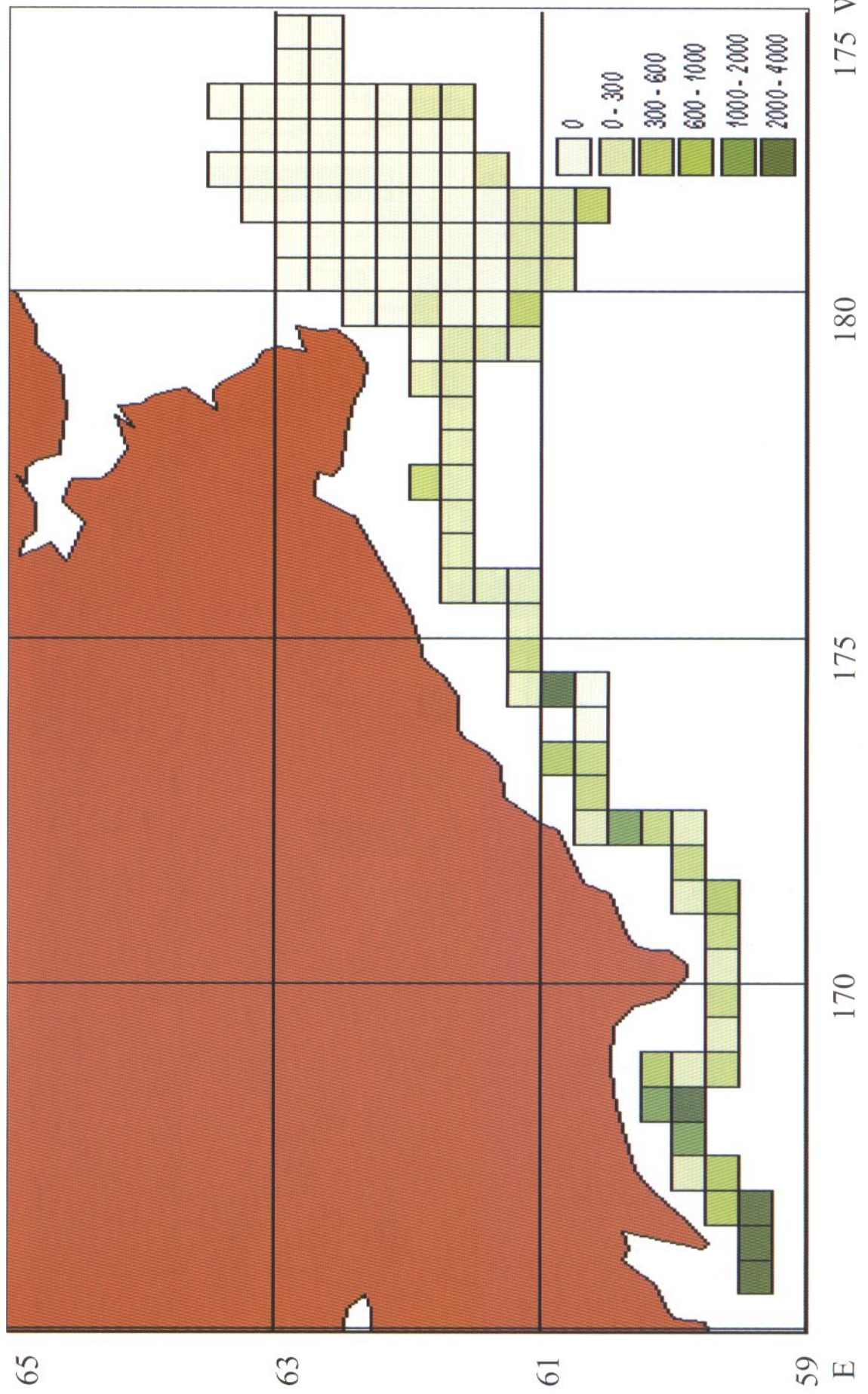


Рис. 32. Карта-схема плотности распределения азиатского стрелозубого палтуса *Atheresthes evermanni* (кг/милля²), среднемноголетние данные (1996-2003 гг.) по результатам осенних траловых съемок.

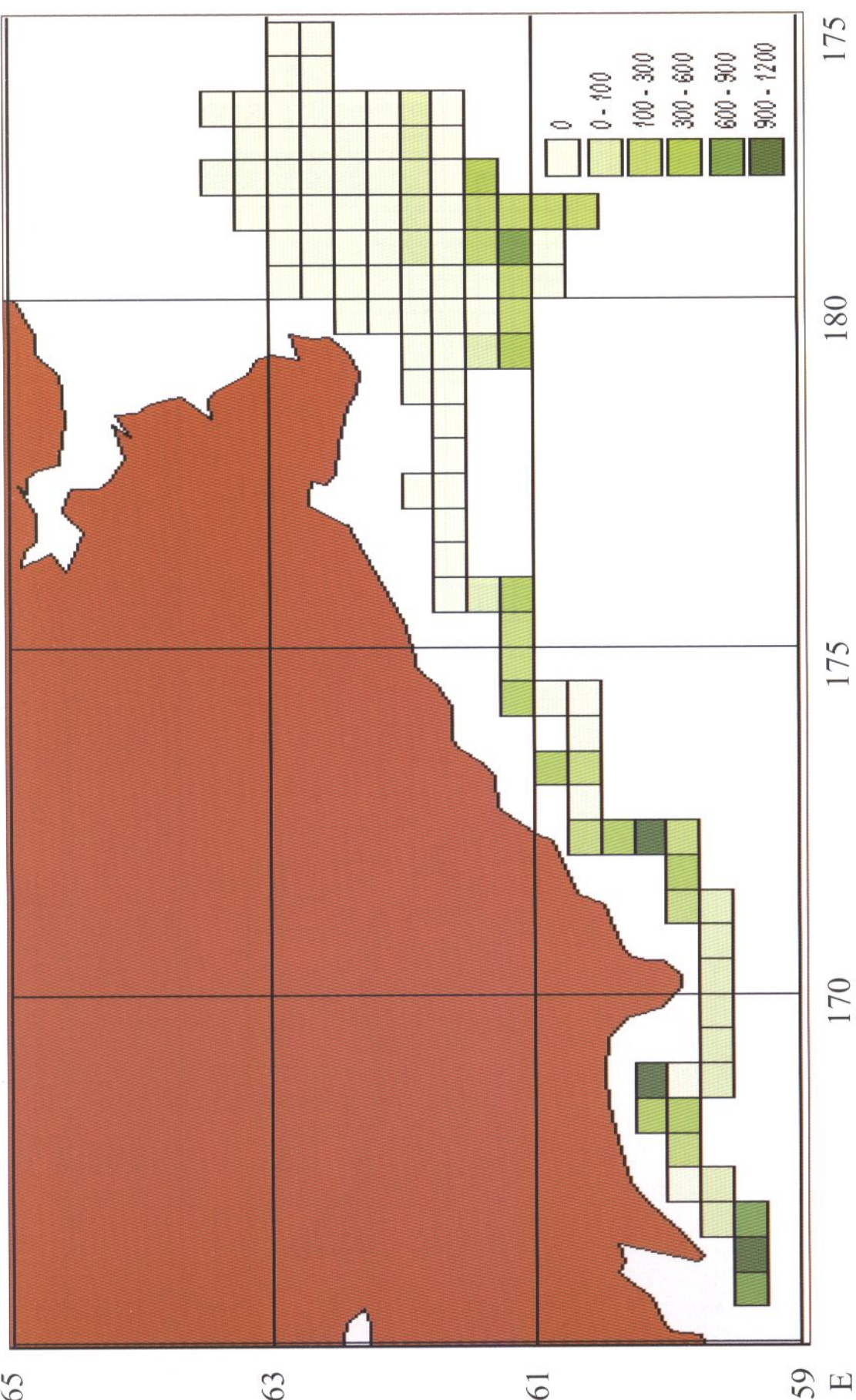


Рис. 33. Карта-схема плотности распределения американского стрелозубого палтуса *Atheresthes stomias* (кг/мил²), среднемноголетние данные (1996-2003 гг.) по результатам осенних трауловых съемок.

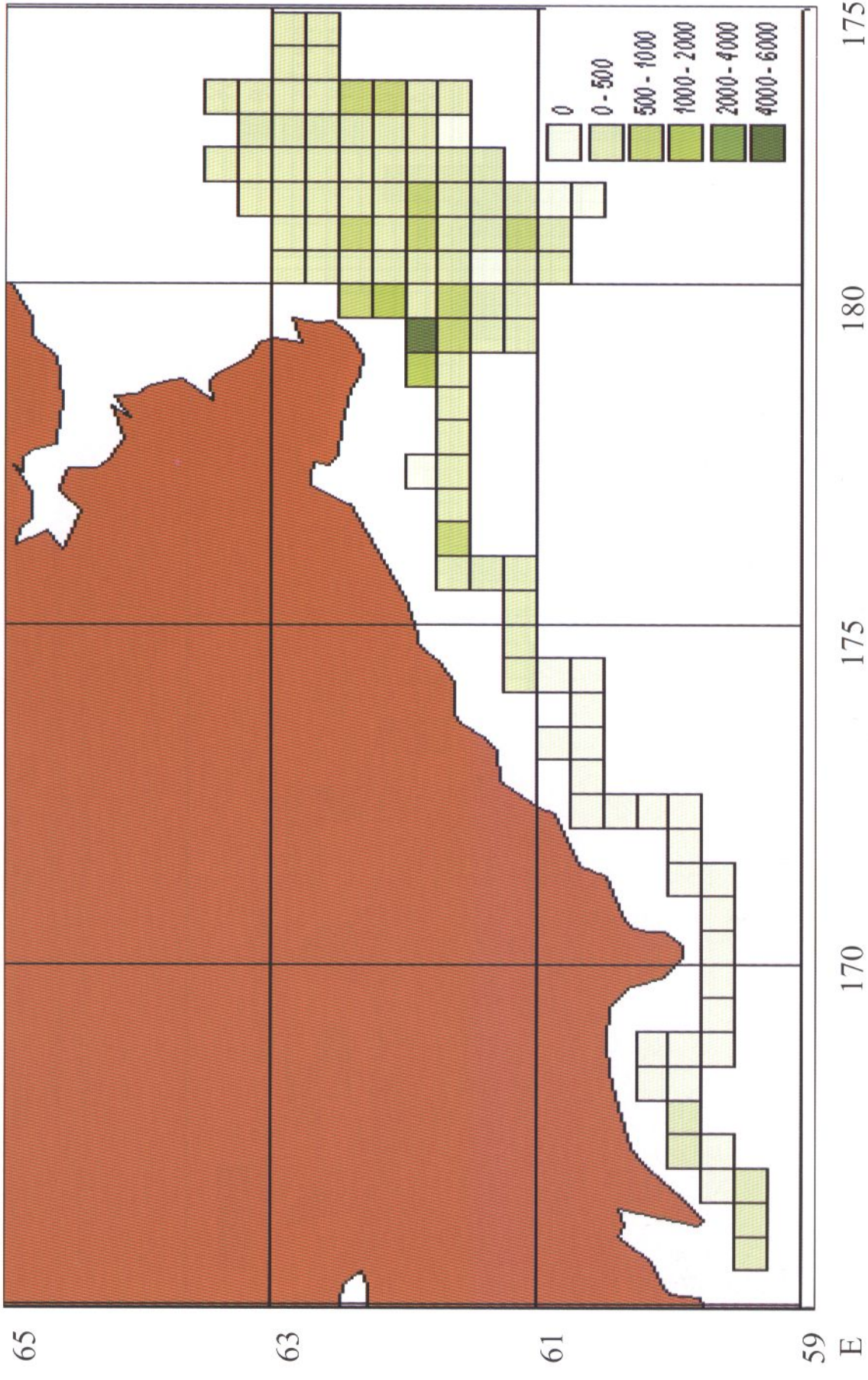


Рис. 34. Карта-схема плотности распределения северной двухлинейной камбалы *Lepidopsetta polyxystra* (кг/миля²), среднемноголетние данные (1996-2003 гг.) по результатам осенних траловых съемок.

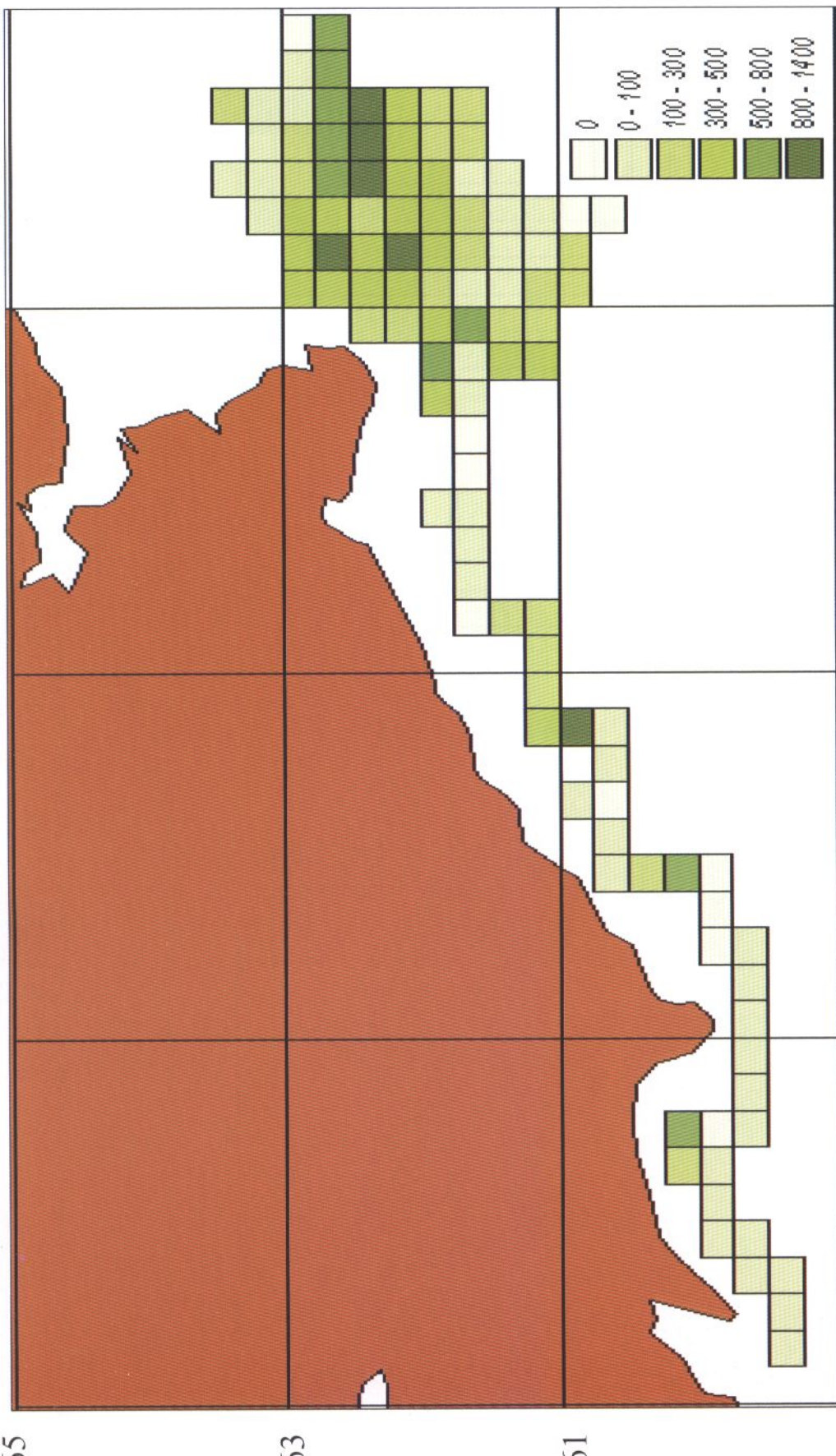


Рис. 35. Карта-схема плотности распределения палтусовидной камбалы *Hippoglossoides elassoides*+*H. robustus* ($\text{кг}/\text{м}^3$), среднемноголетние данные (1996-2003 гг.) по результатам осенних трашовых съемок.

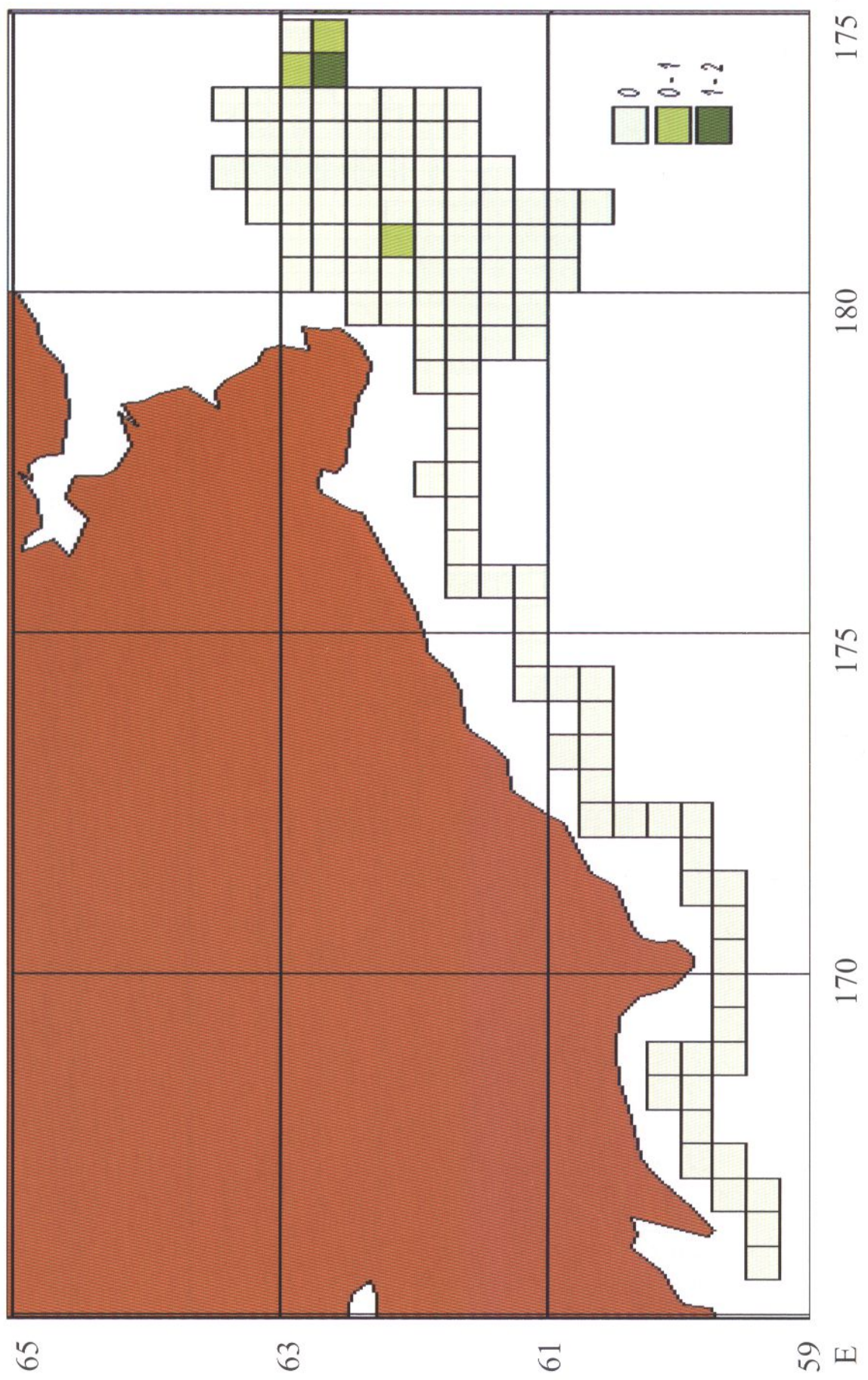


Рис. 36. Карта-схема плотности распределения желтоперой камбалы *Limanda aspera* (кг/миля²), среднемноголетние данные (1996-2003 гг.) по результатам осенних гравировальных съемок.

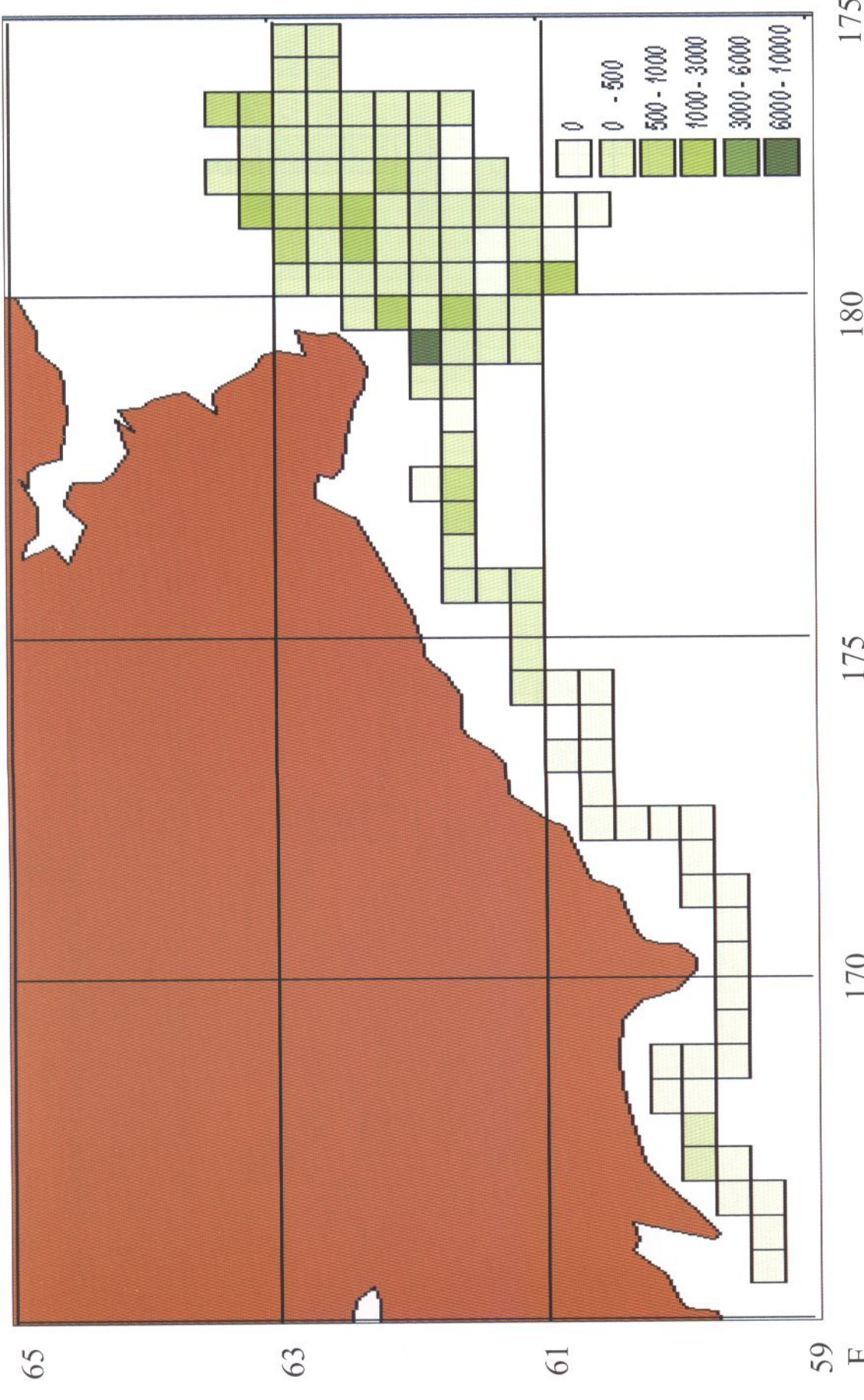


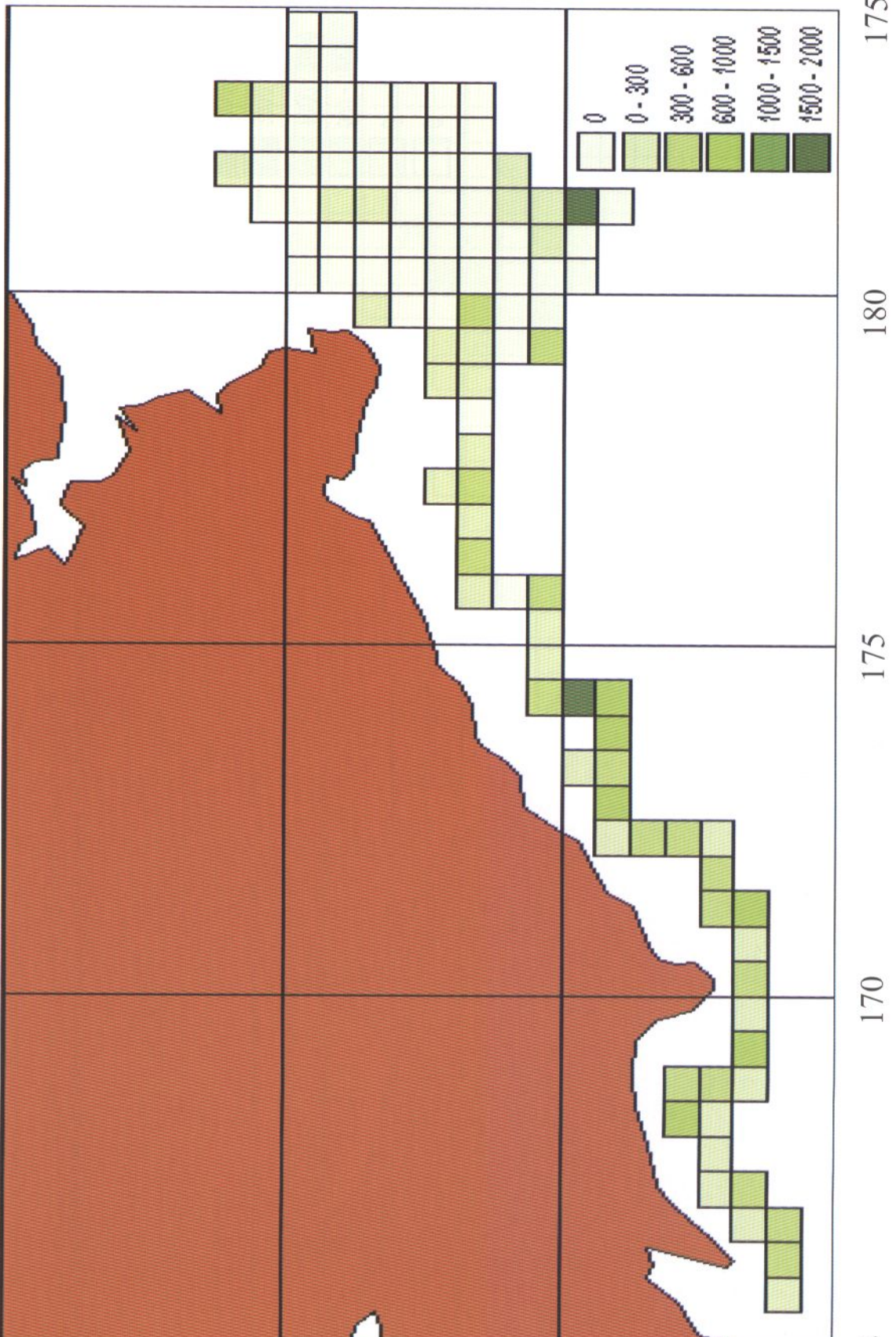
Рис. 37. Карта-схема плотности распределения четырехбугорчатой камбалы *Pleurotectes quadrifasciatus* (кг/миля²), среднемноголетние данные (1996-2003 гг.) по результатам осенних трааловых съемок.

65

63

61

59



76

Рис. 38. Карта-схема плотности распределения тихоокеанского белокорого палтуса *Hippoglossus stenolepis* (кг/миля²), среднеголетние данные (1996-2003 гг.) по результатам осенних траловых съемок.

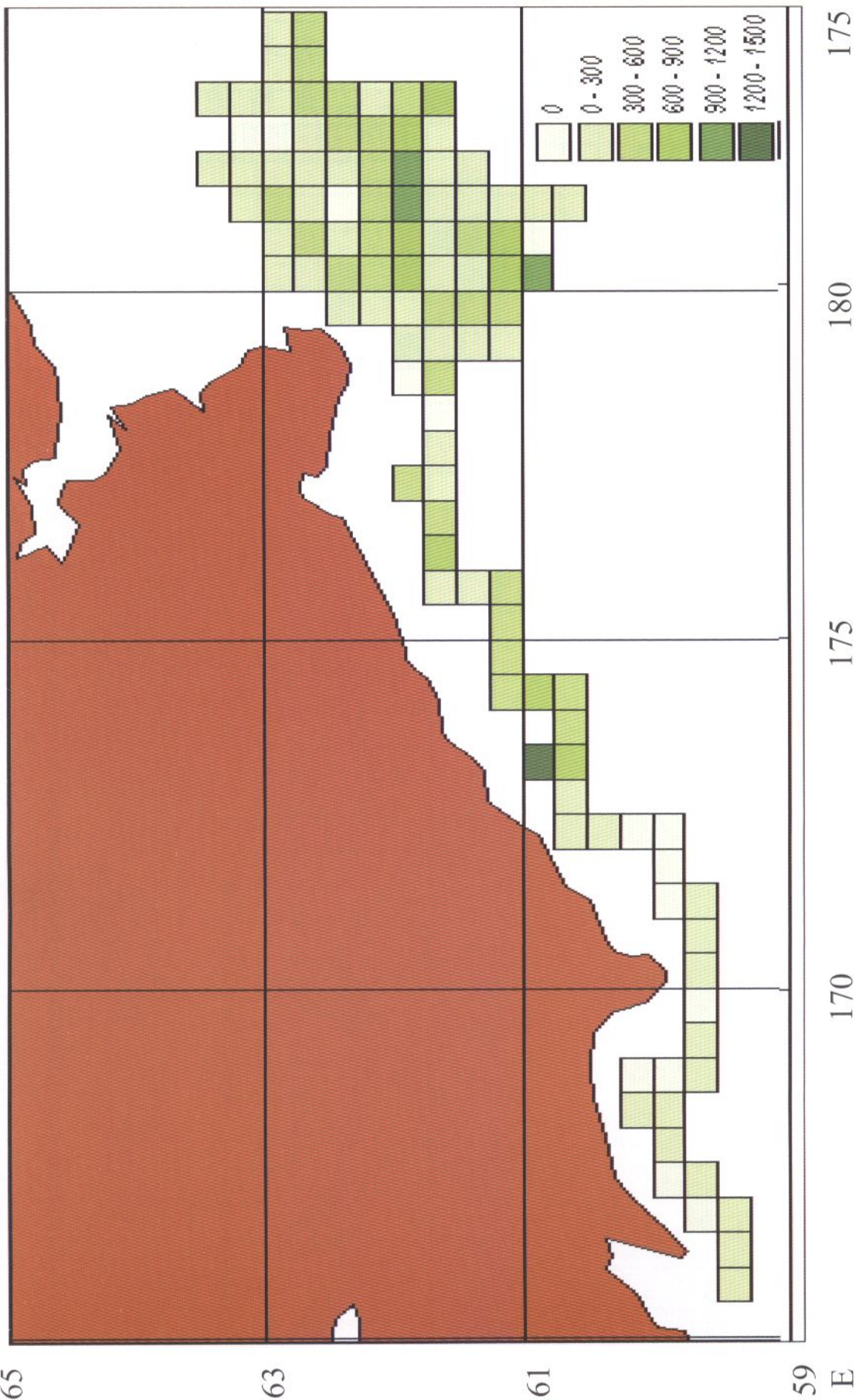


Рис. 39. Карта-схема плотности распределения тихоокеанского черного палтуса *Reinhardtius hippoglossoides matsuurae* (кг/миля²), среднемноголетние данные (1996-2003 гг.) по результатам осенних траловых съемок.

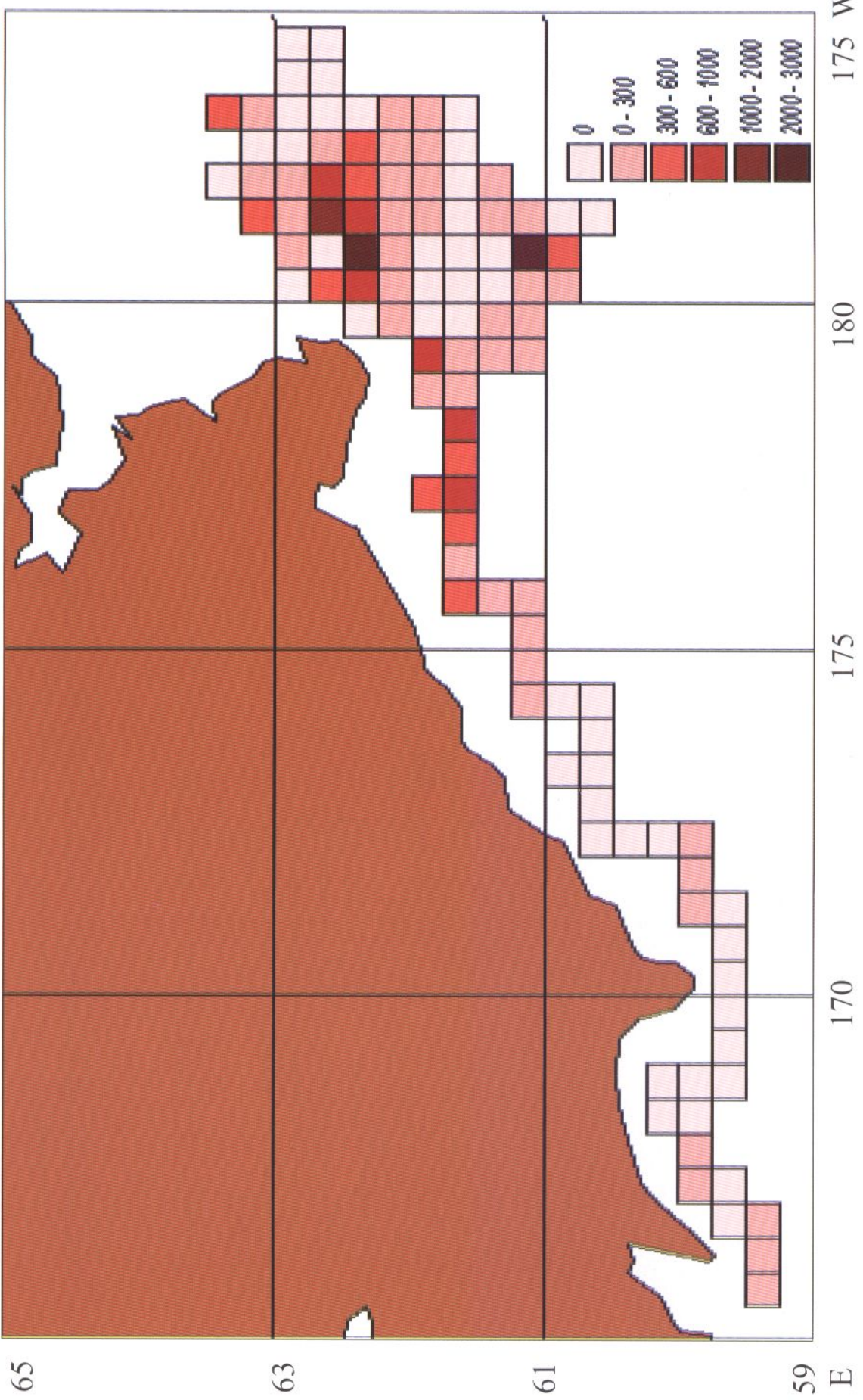
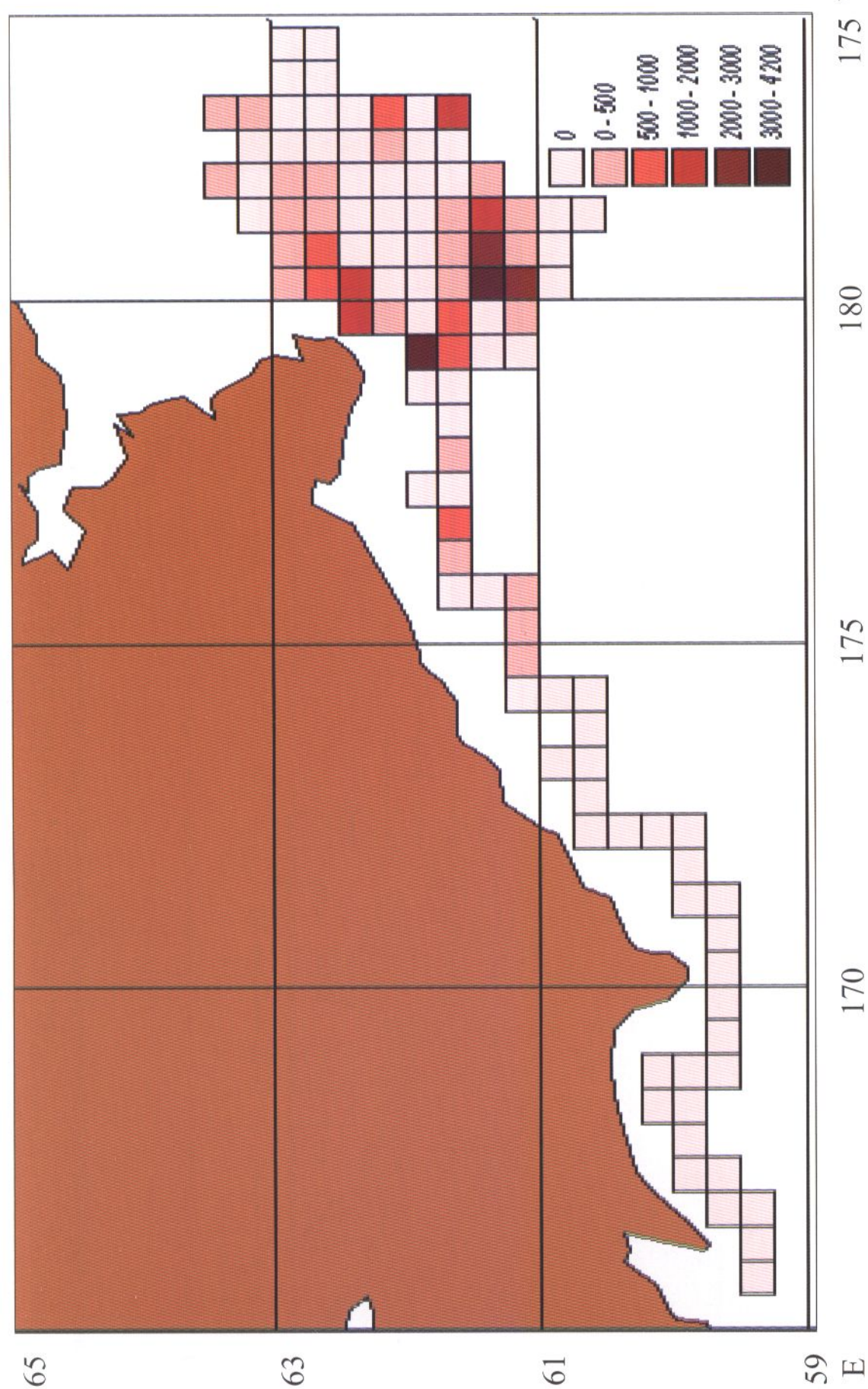


Рис. 40. Карта-схема плотности распределения керчака-яока *Myoictis leucura jaok* (кг/миля²), среднемноголетние данные (1996-2003 гг.) по результатам осенних гравировочных съемок.

Рис. 41. Карта-схема плотности распределения многоиглого керчака *Myoxocephalus polyacanthoscerphalus* ($\text{кг}/\text{миля}^2$), среднемноголетние данные (1996-2003 гг.) по результатам осенних траловых съемок.



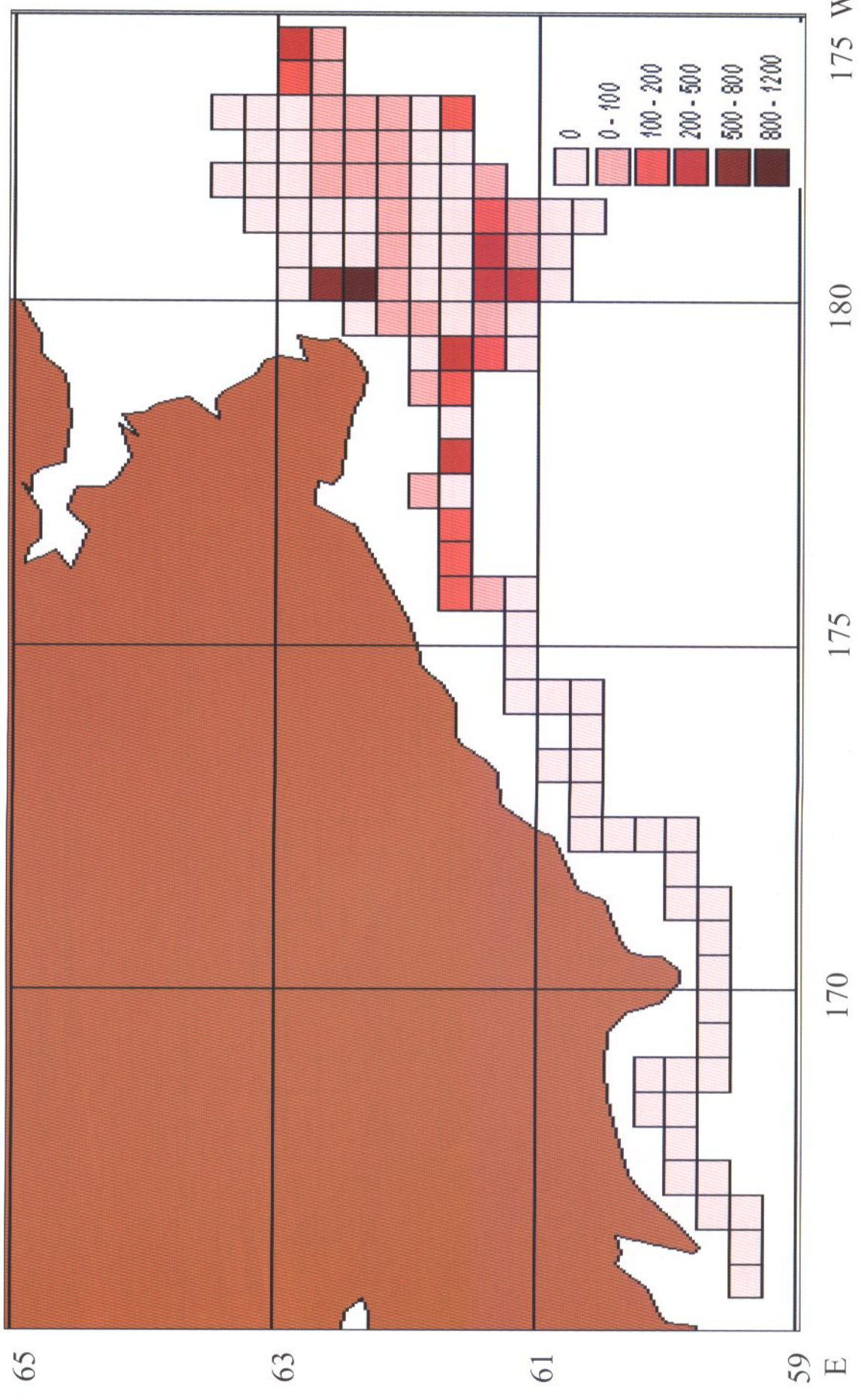


Рис. 42. Карта-схема плотности распределения пестрого получешуйника *Hemilepidotus gilberti* ($\text{kg}/\text{миля}^2$), среднемноголетние данные (1996-2003 гг.) по результатам осенних гравировальных съемок.

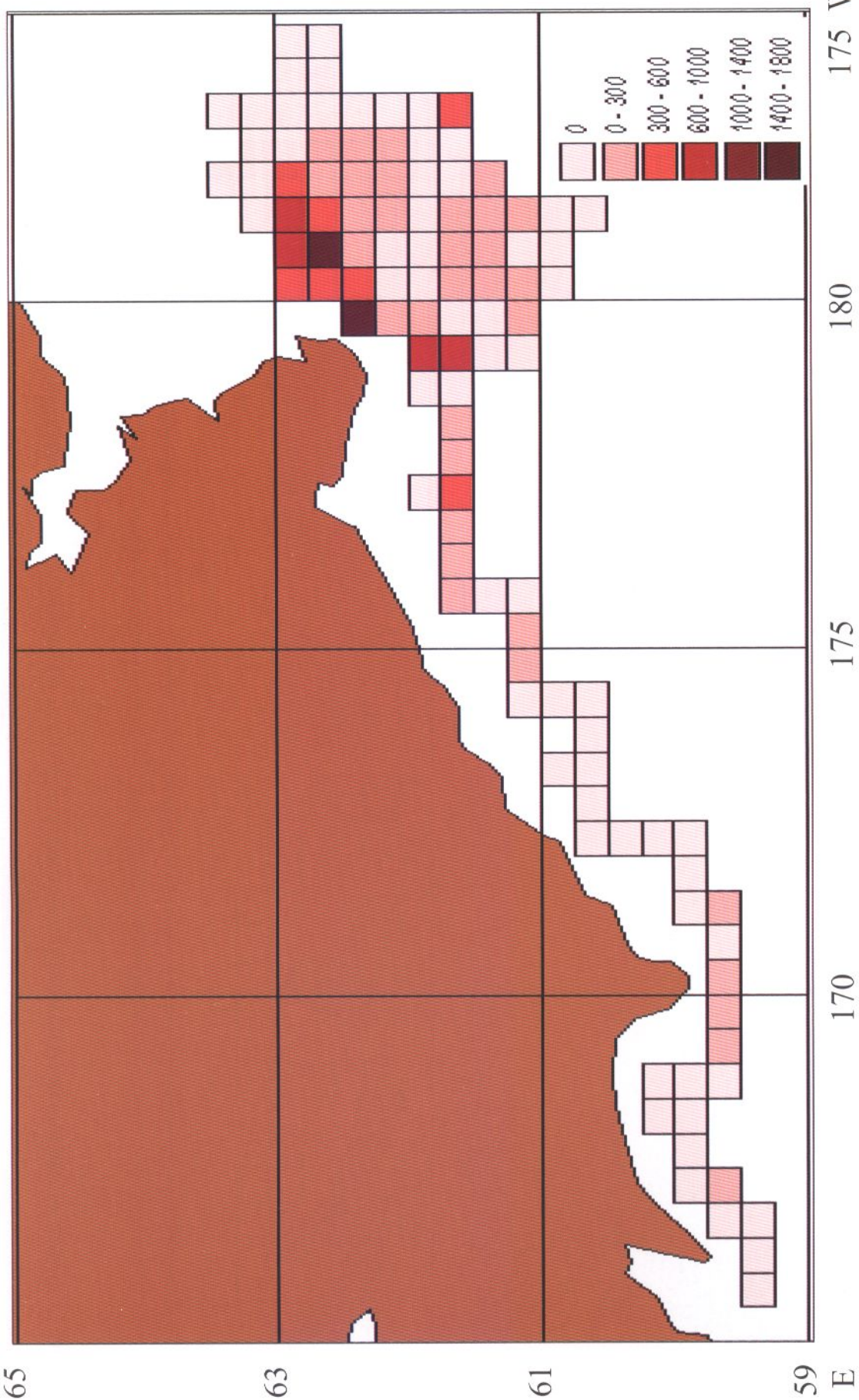


Рис. 43. Карта-схема плотности распределения белобрюхого полулучшуйника *Hemilepidotus jordani* ($\text{кг}/\text{миля}^2$), среднемноголетние данные (1996-2003 гг.) по результатам осенних траловых съемок.

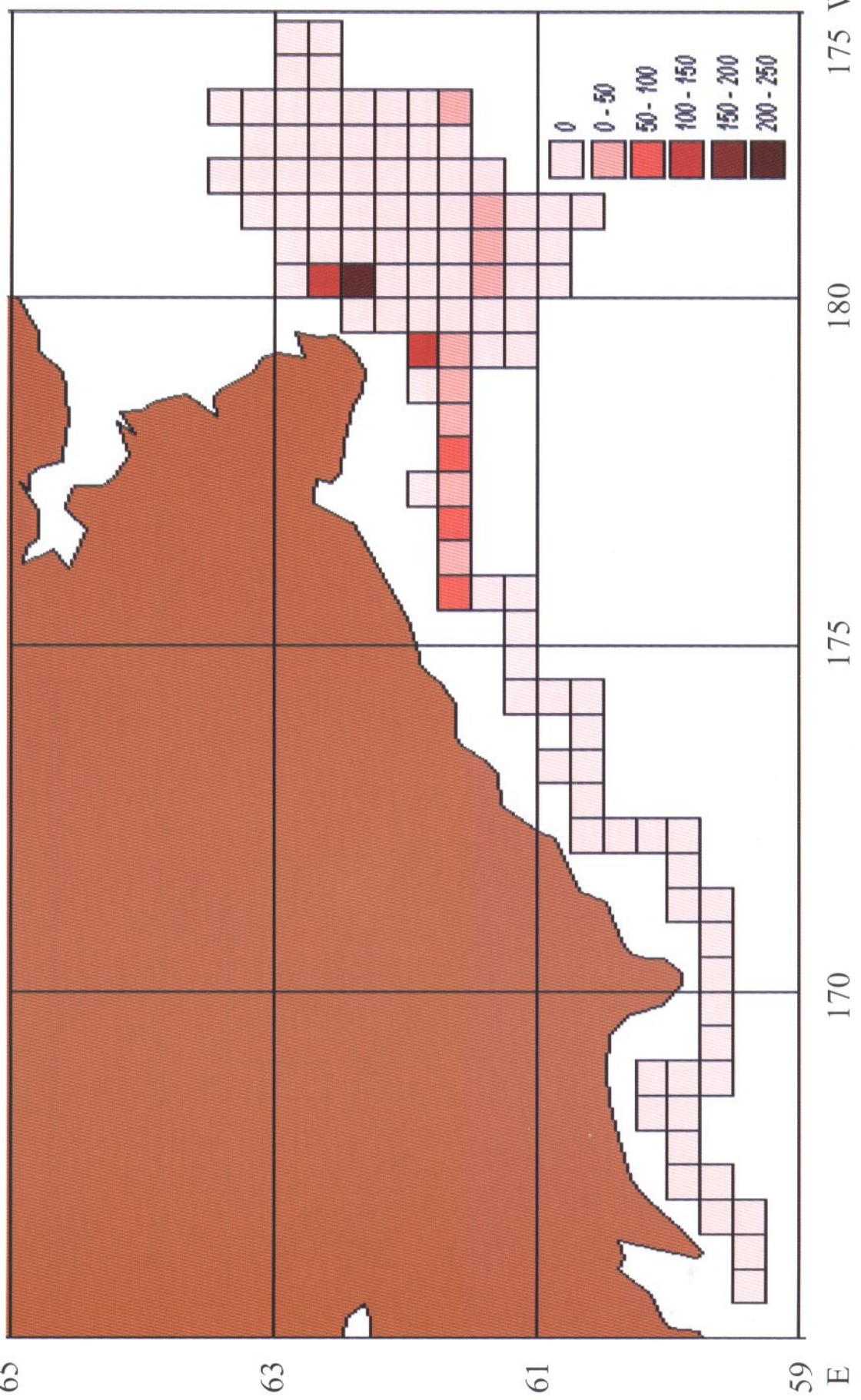


Рис. 44. Карта-схема плотности распределения узкоборого шлемоносца *Gymnacanthus galeatus* (кг/миля²), среднемноголетние
данные (1996-2003 гг.) по результатам осенних траловых съемок.

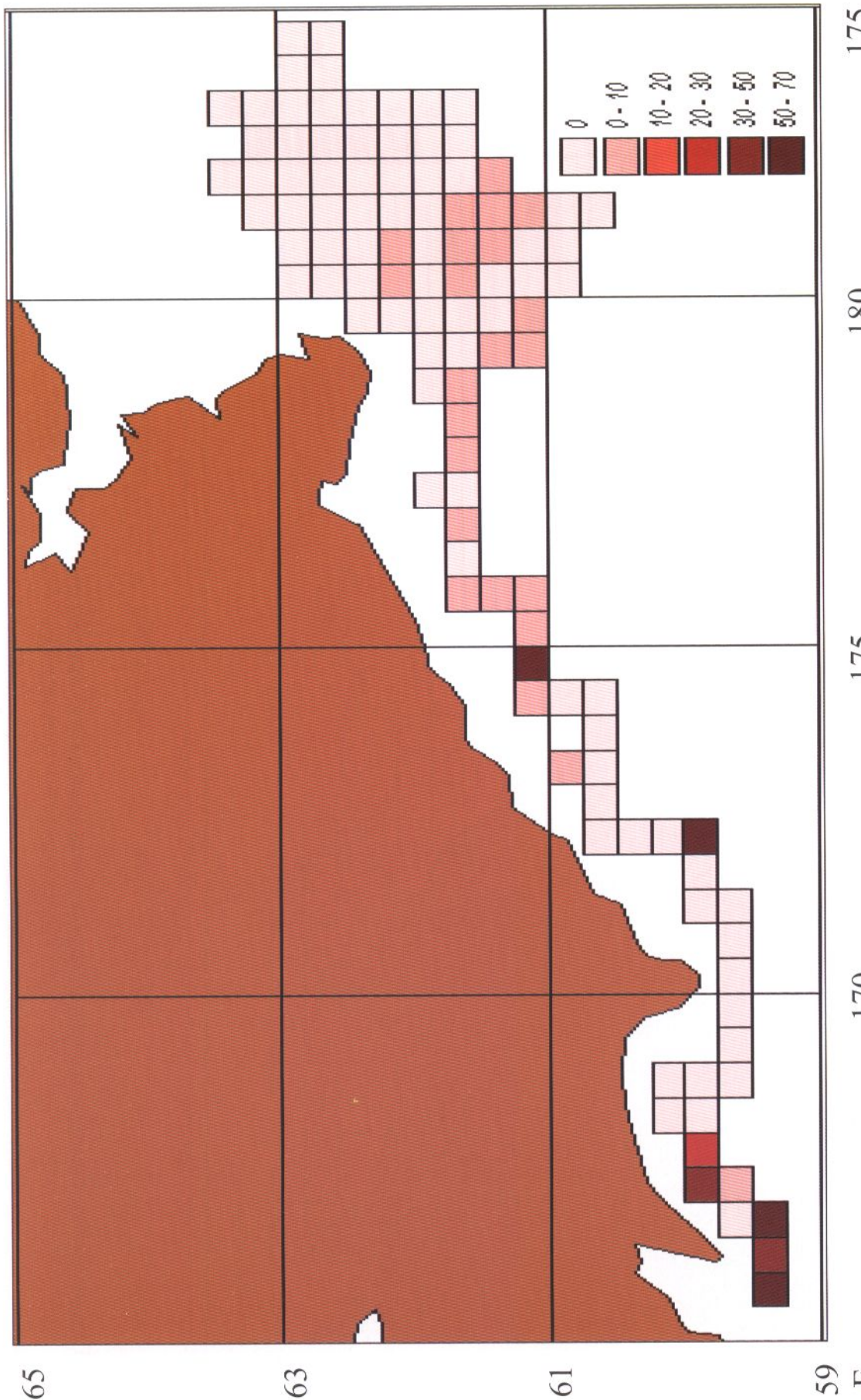


Рис. 45. Карта-схема плотности распределения колючего ишала *Icelus spiniger* ($\text{кг}/\text{миля}^2$), среднемноголетние данные (1996-2003 гг.) по результатам осенних траловых съемок.

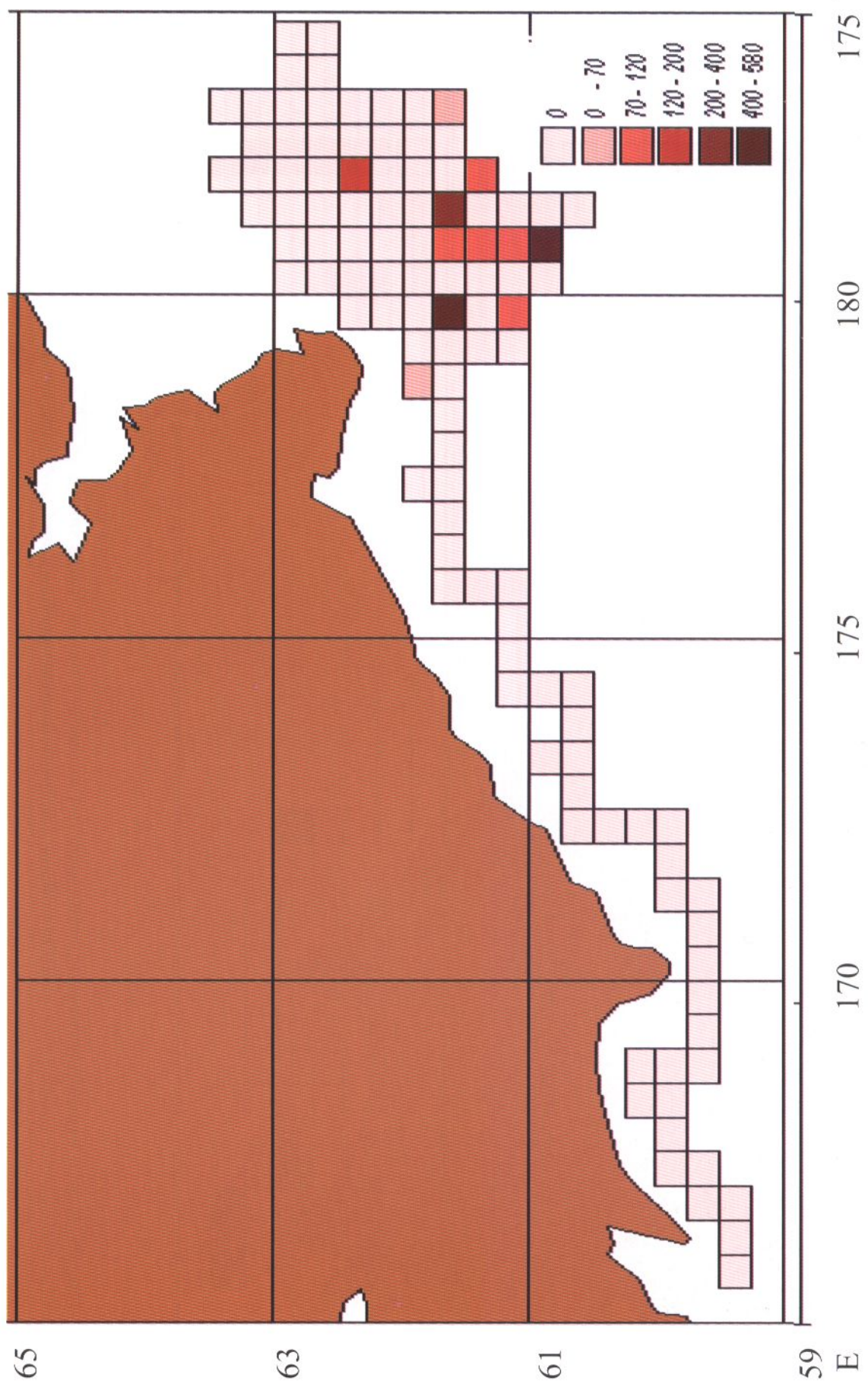


Рис. 46. Карта-схема плотности распределения ульки *Ulca bolini* (кг/миля²), среднемноголетние данные (1996-2003 гг.) по результатам осенних гравировальных съемок.

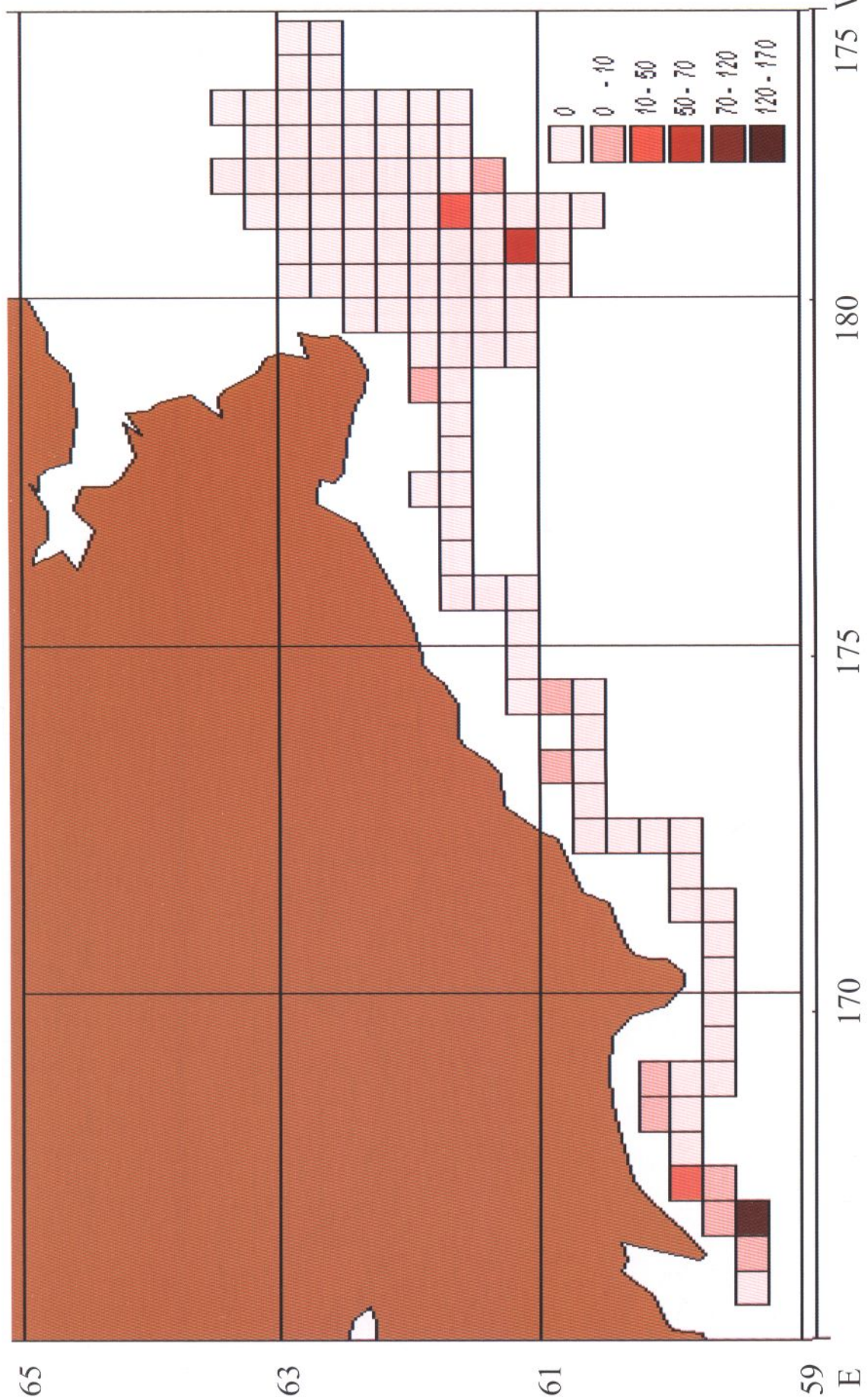


Рис. 47. Карта-схема плотности распределения большеглазого триглона *Triglops scepticus* (кг/миля²), среднемноголетние данные (1996-2003 гг.) по результатам осенних гравировальных съемок.

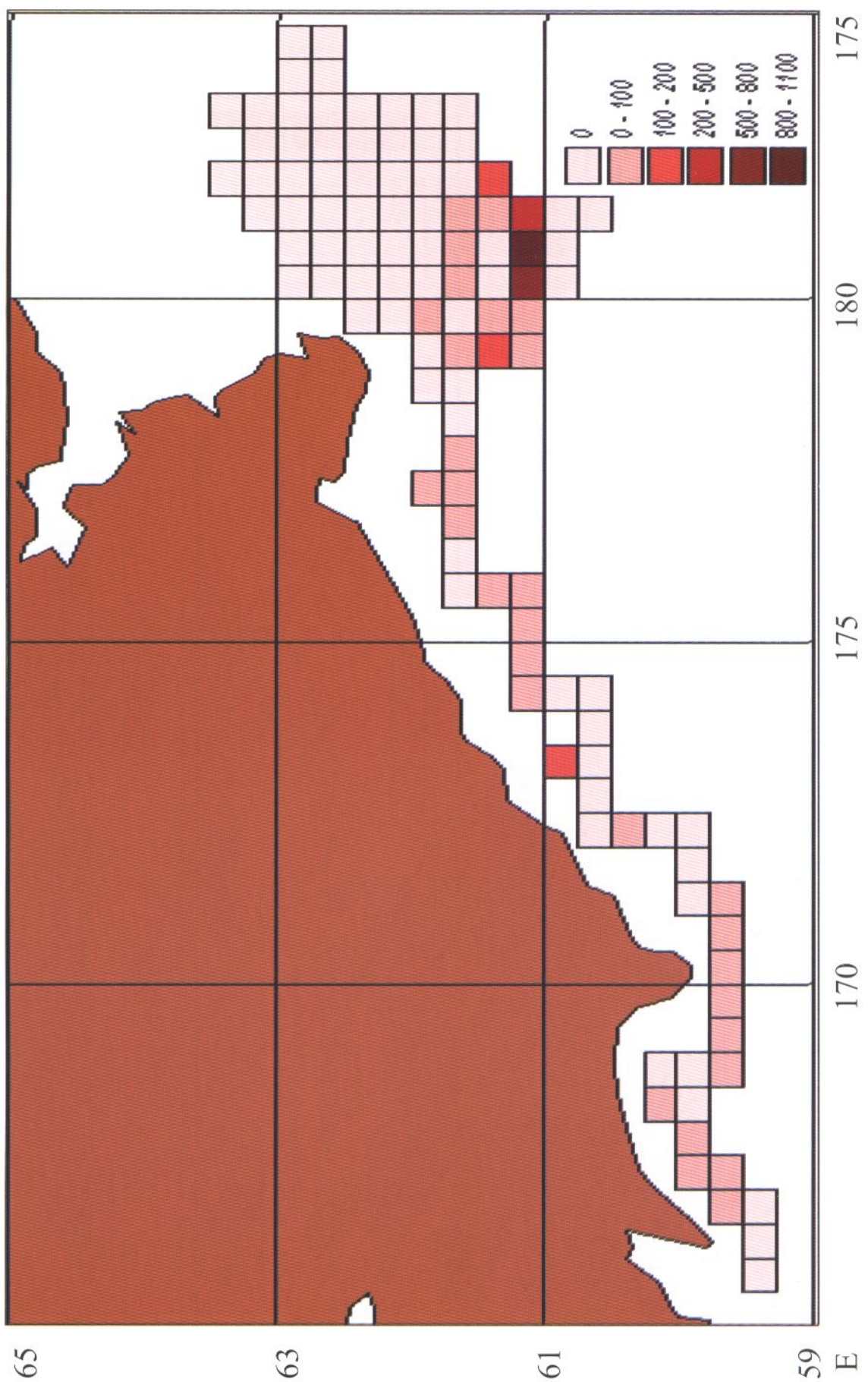


Рис. 48. Карта-схема плотности распределения щетинистого бычка *Dasycottus setiger* (кг/миля²), среднемноголетние данные (1996-2003 гг.) по результатам осенних траовых съемок.

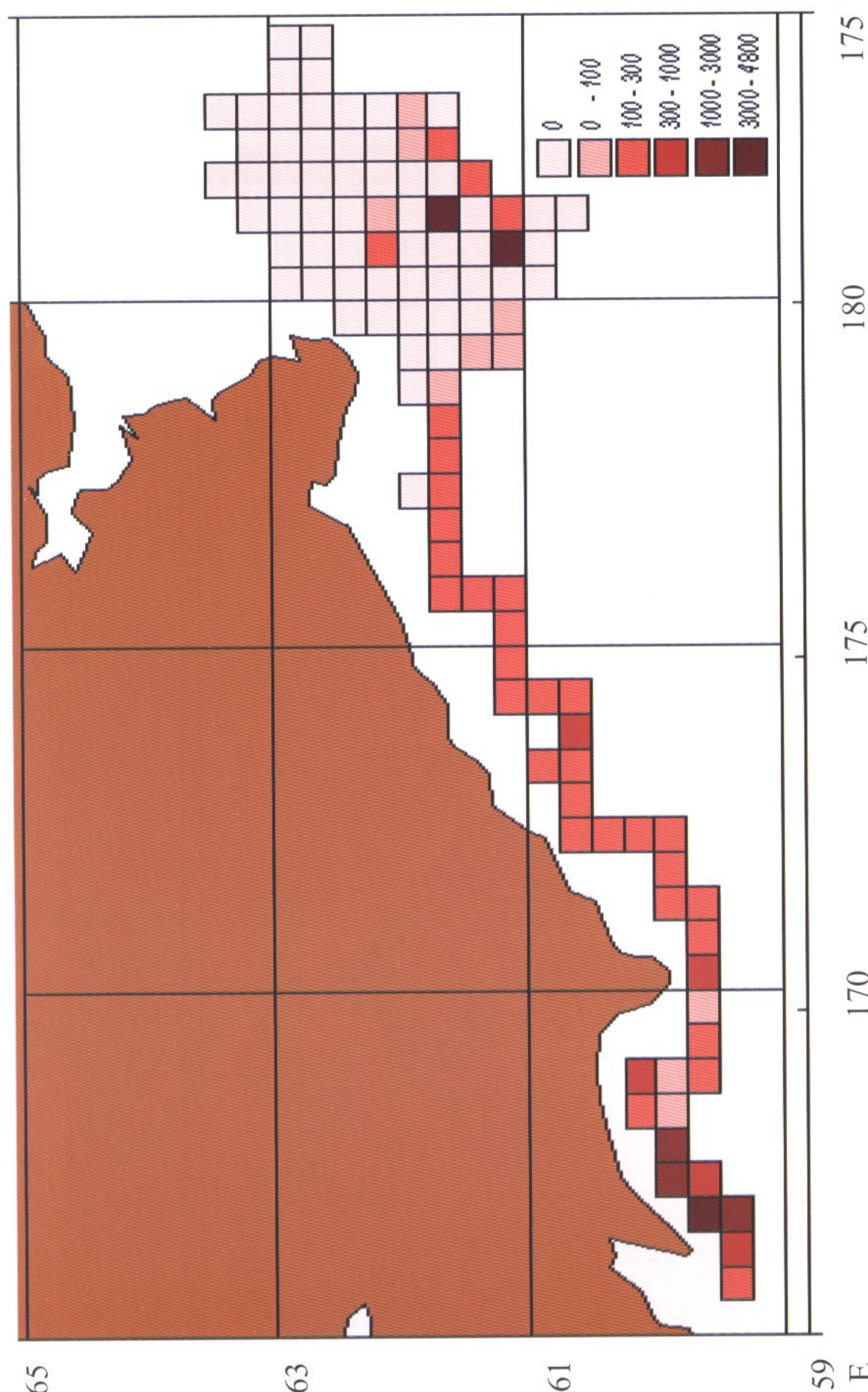


Рис. 49. Карта-схема плотности распределения мягкого бычка *Malacoerpeton zonurus* ($\text{кг}/\text{мия}^2$), среднемноголетние
данные (1996-2003 гг.) по результатам осенних траовых съемок.

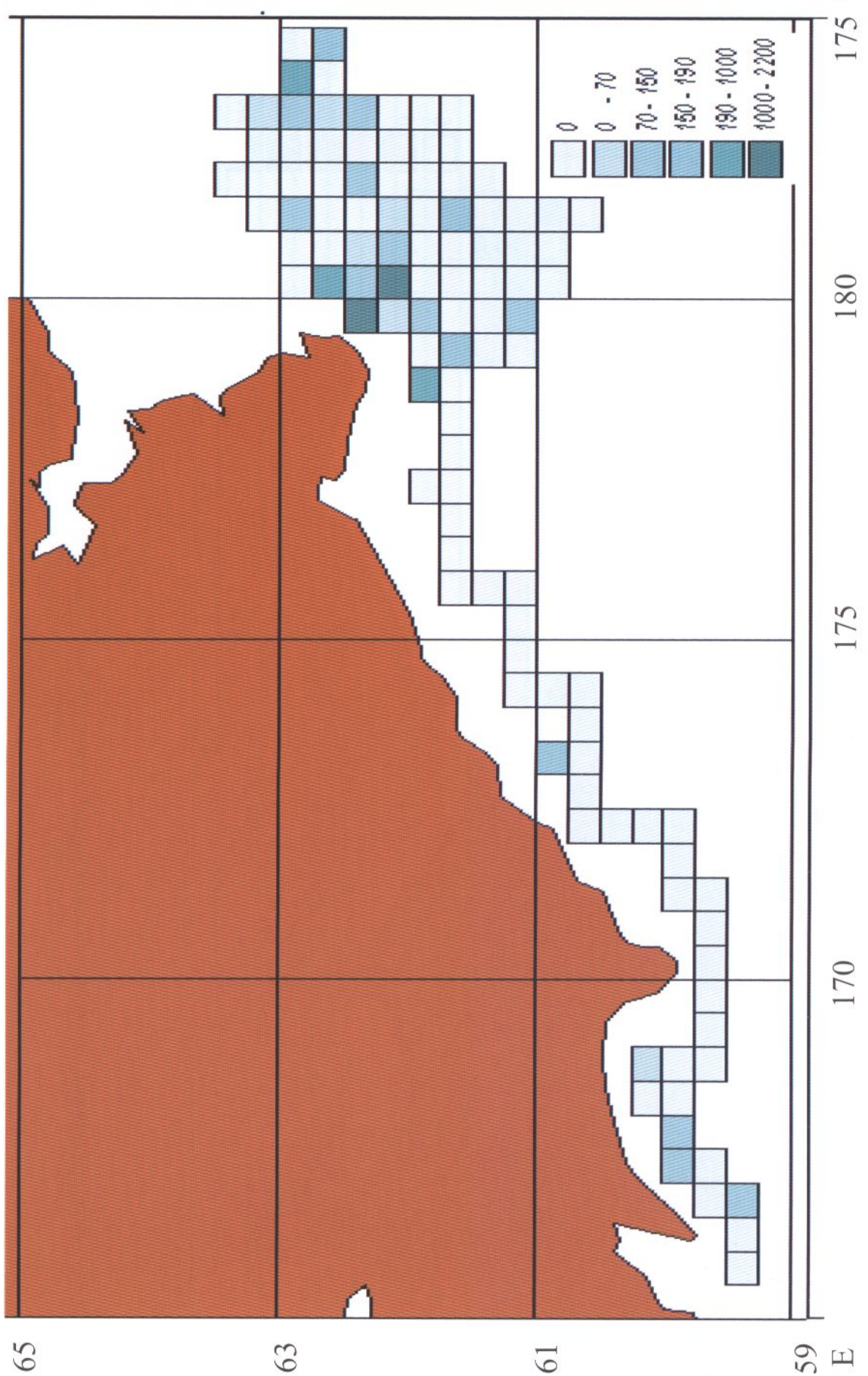


Рис. 50. Карта-схема плотности распределения охотского липариса *Liparis ochotensis* (кг/миля²), среднемноголетние данные (1996-2003 гг.) по результатам осенних промысловых съемок.

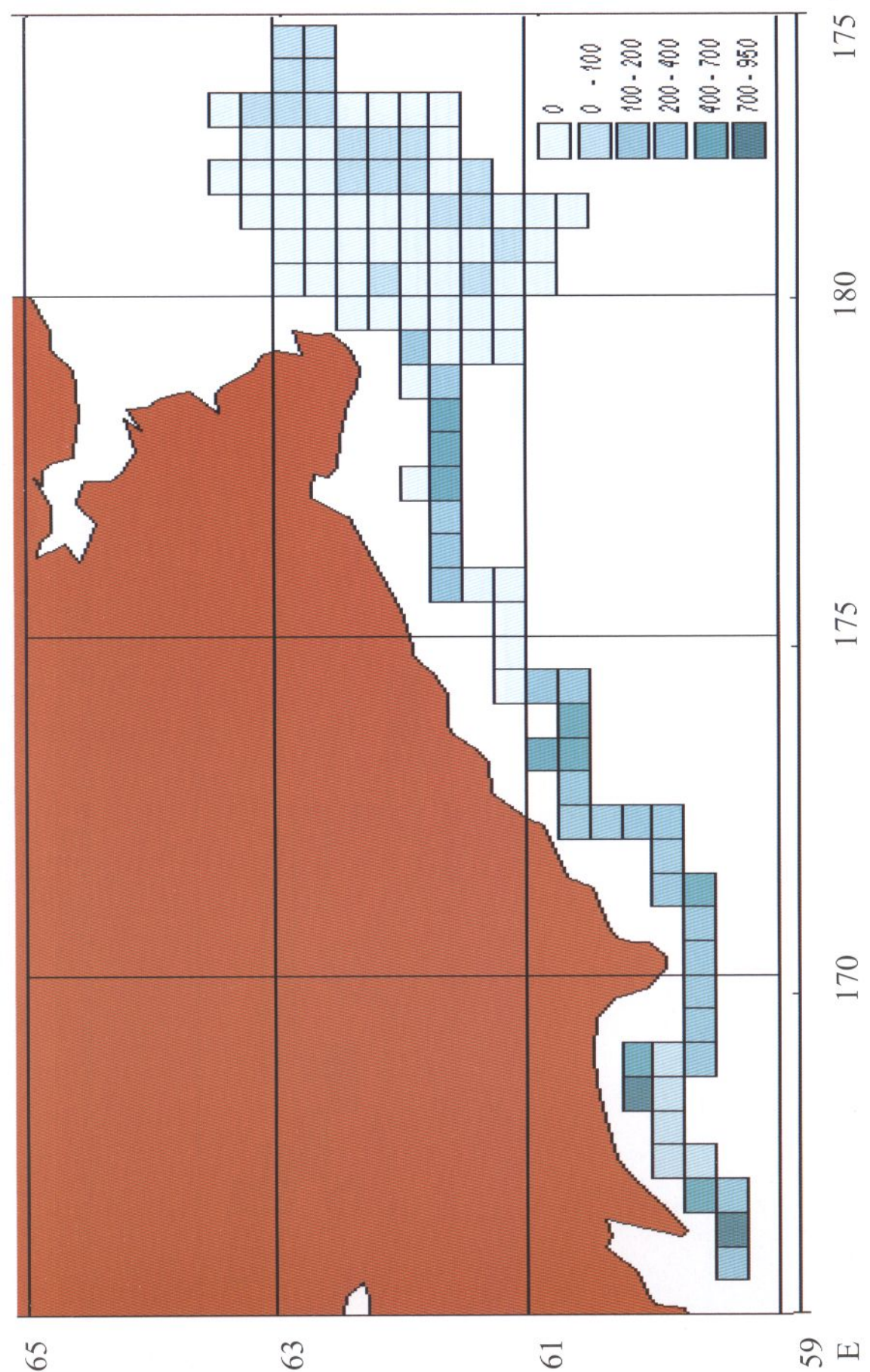


Рис. 51. Карта-схема плотности распределения широколобого карепрокта *Careproctus furcellus* (кг/миля²), среднемноголетние данные (1996-2003 гг.) по результатам осенних траловых съемок.

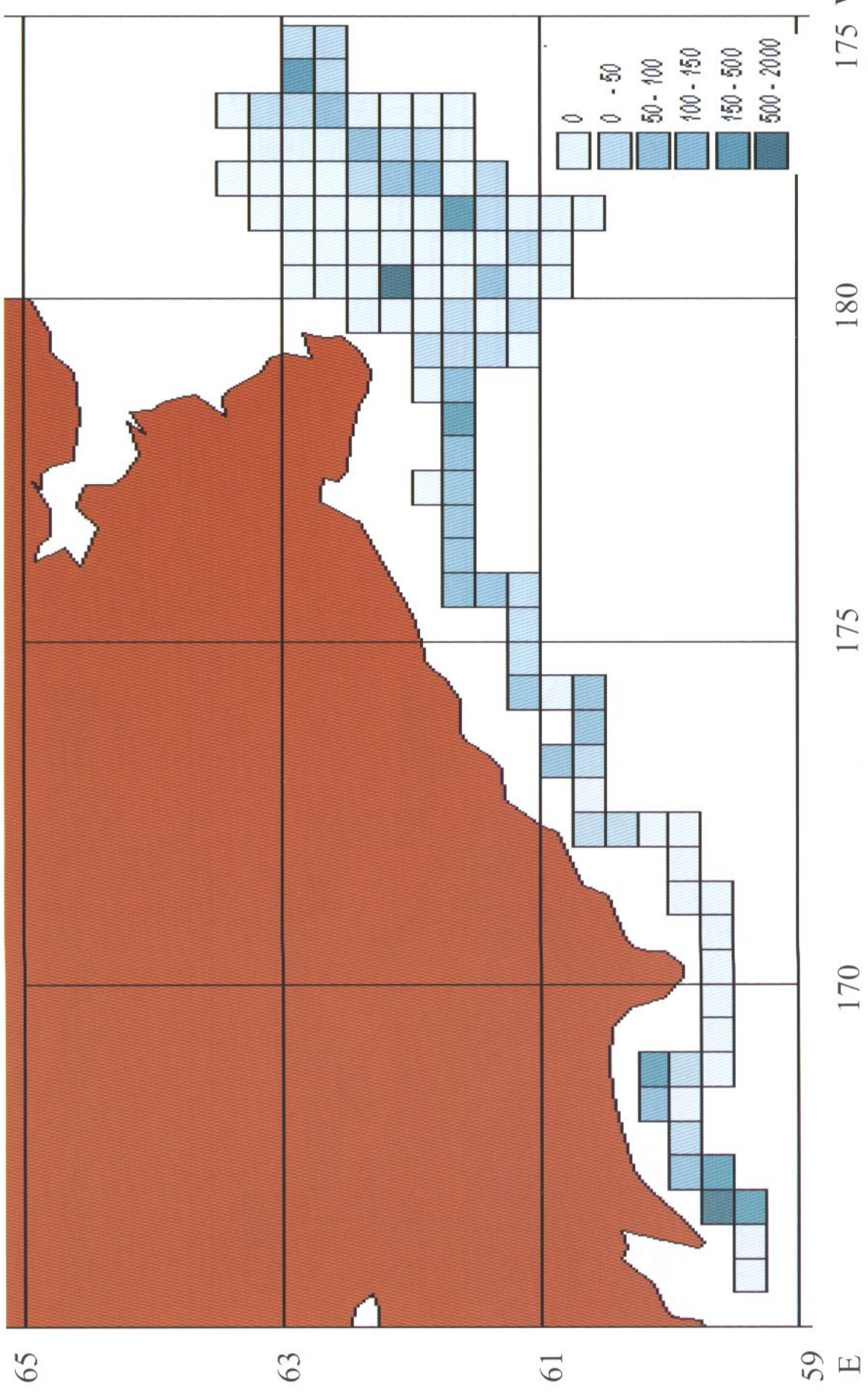


Рис. 52. Карта-схема распределения плотности шершавого карепрокта *Careproctus rastrinus* (кг/миля²), среднемноголетние данные (1996-2003 гг.) по результатам осенних гравировальных съемок.

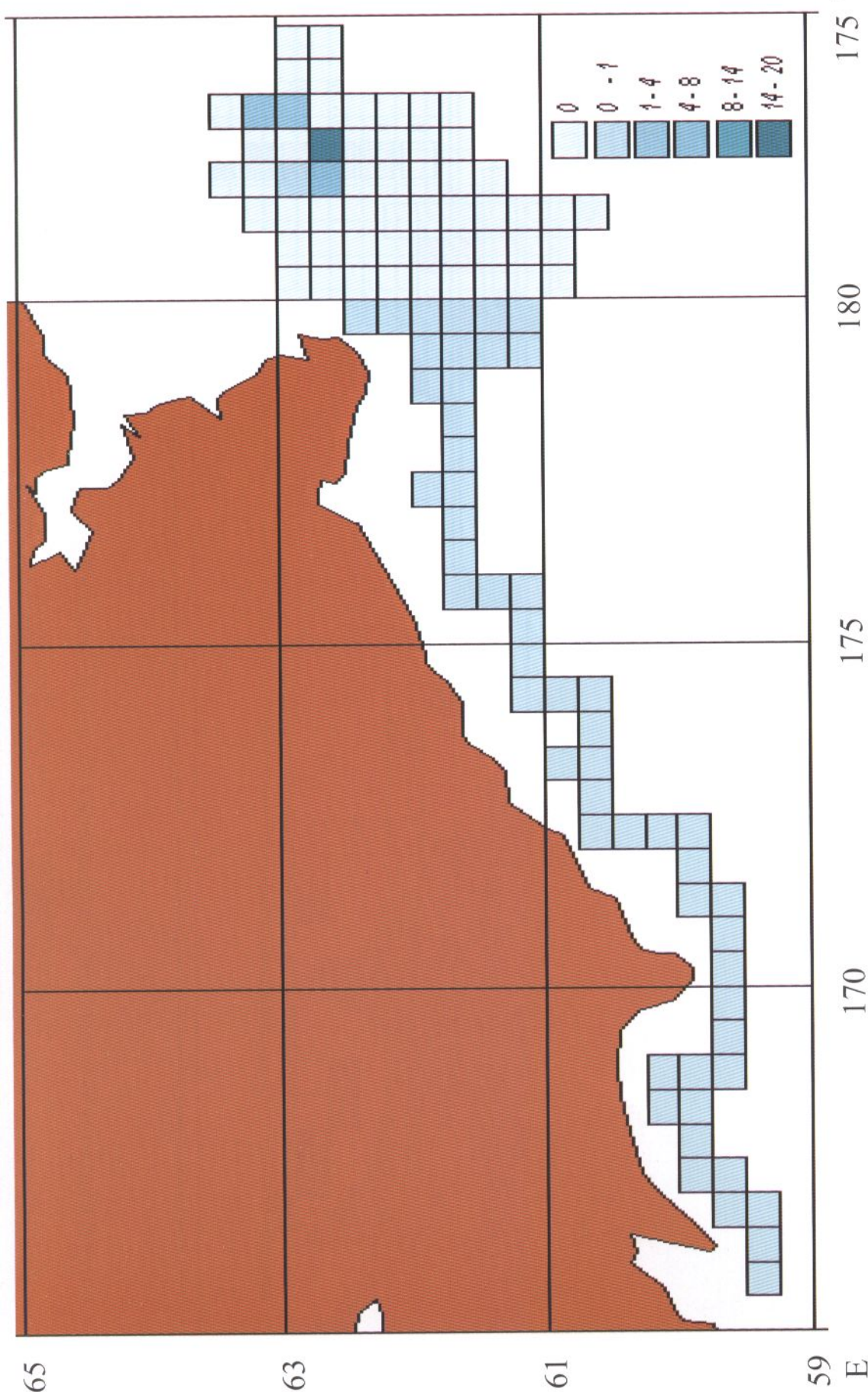


Рис. 53. Карта-схема плотности распределения запоры *Zaprora silenus* ($\text{кг}/\text{миля}^2$), среднемноголетние данные (1996-2003 гг.)
по результатам осенних траловых съемок.

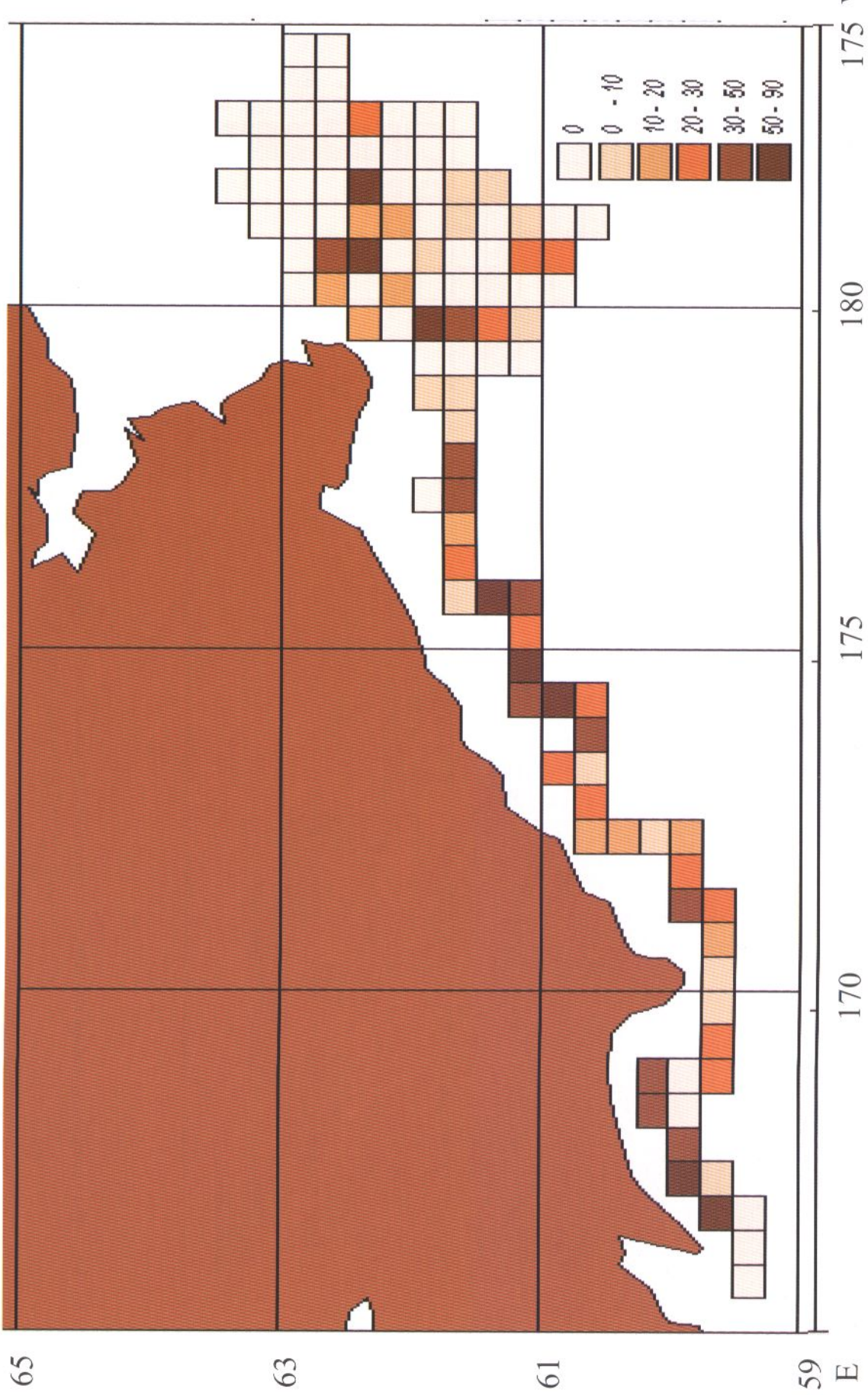


Рис. 54. Карта-схема плотности распределения японской лисички *Percis japonicus* (кг/миля²), среднемноголетние
данные (1996-2003 гг.) по результатам осенних траловых съемок.

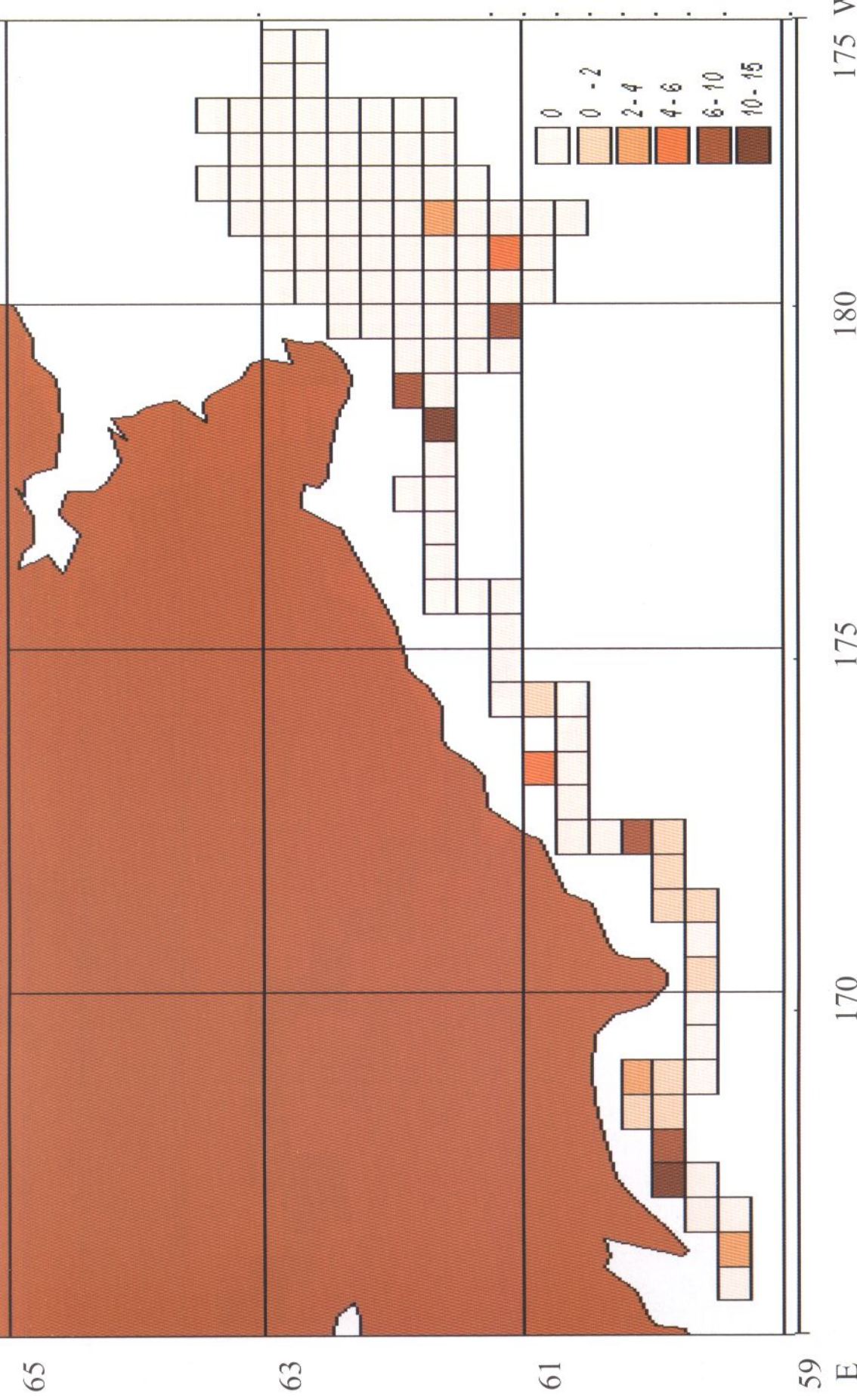


Рис. 55. Карта-схема плотности распределения тонкохвостой лисички *Sarritor frenatus* ($\text{кг}/\text{мил}^2$), среднемноголетние
данные (1996-2003 гг.) по результатам осенних траловых съемок.

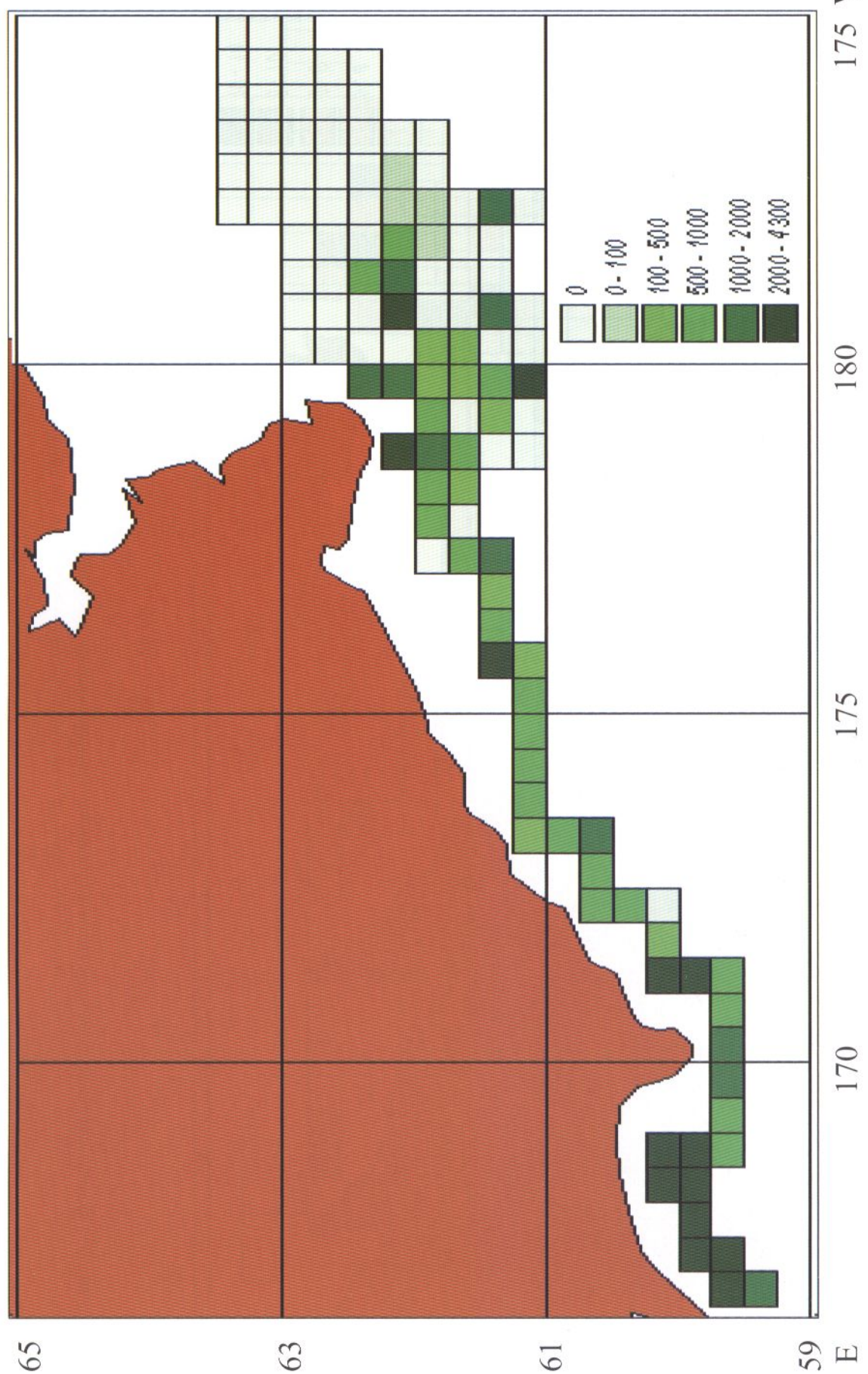


Рис. 56. Карта-схема плотности распределения скатов рода *Bathyraja* (кг/миля²), среднемноголетние данные (1996-2003 гг.)
по результатам зимних траловых съемок.

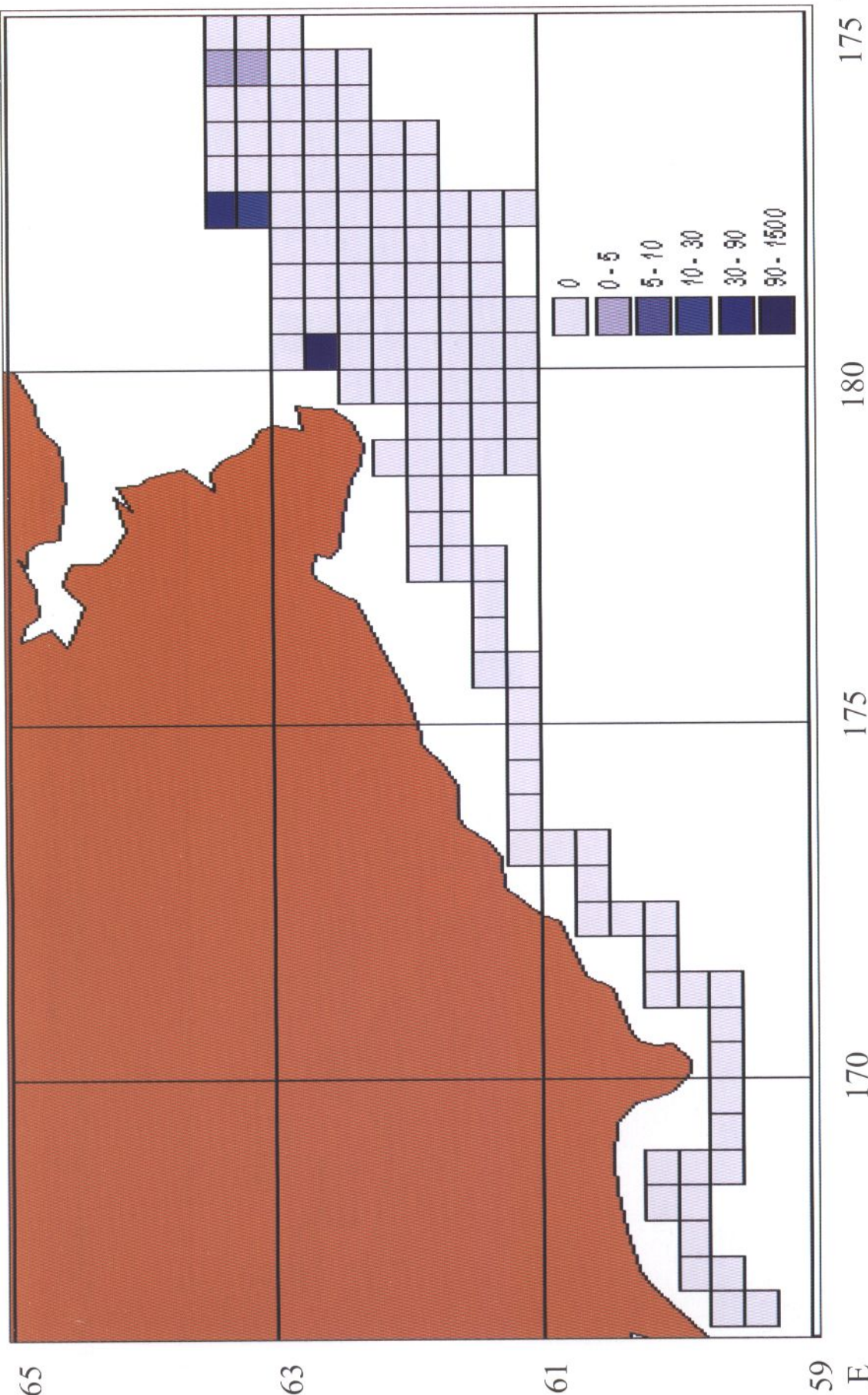


Рис. 57. Карта-схема плотности распределения наваги *Eleginus gracilis* ($\text{кг}/\text{миля}^2$), среднемноголетние данные (1996-2003 гг.)
по результатам зимних траловых съемок.

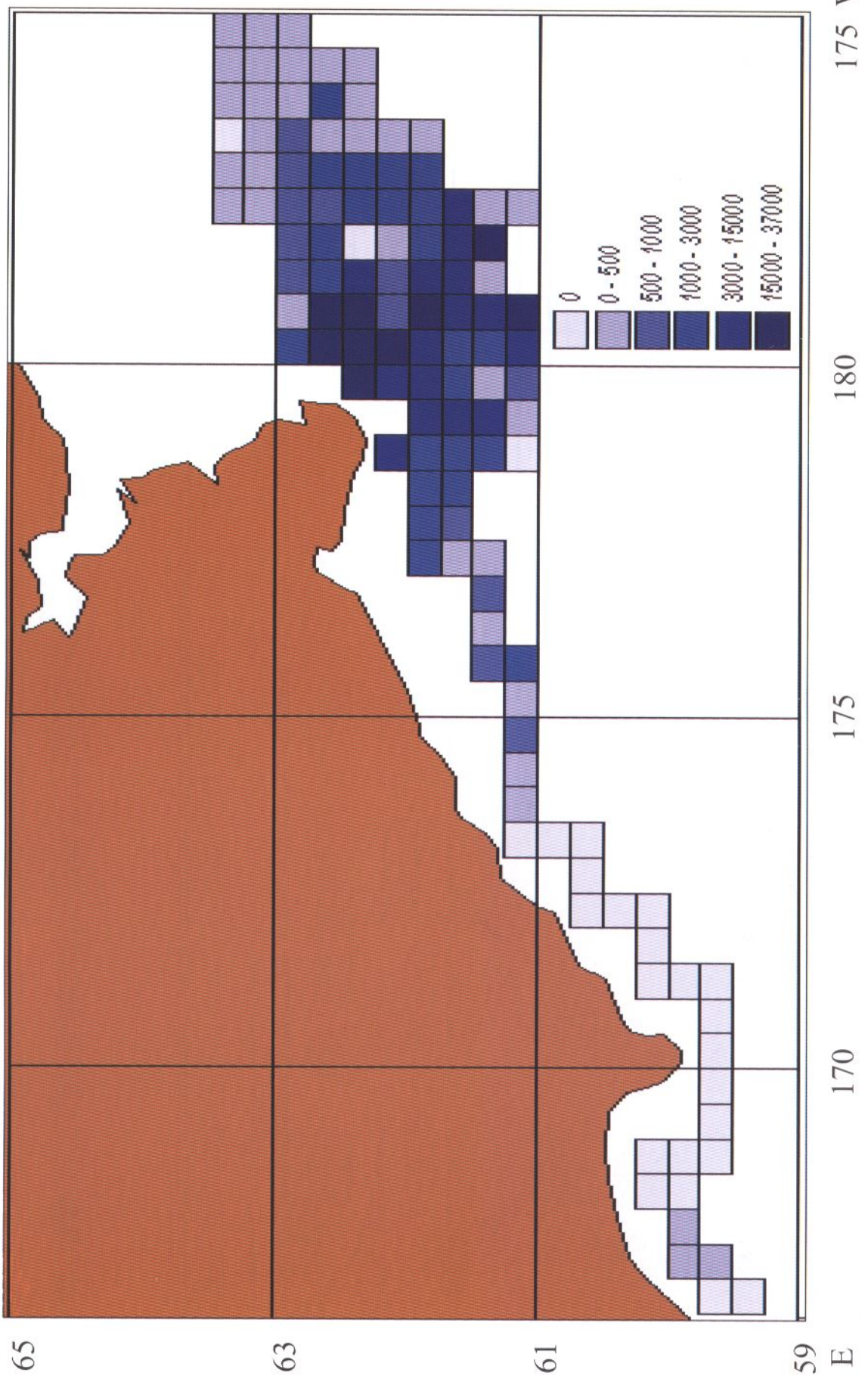


Рис. 58. Карта-схема плотности распределения тихоокеанской трески *Gadus macrocephalus* (кг/миля²), среднемноголетние данные (1996-2003 гг.) по результатам зимних тралевых съемок.

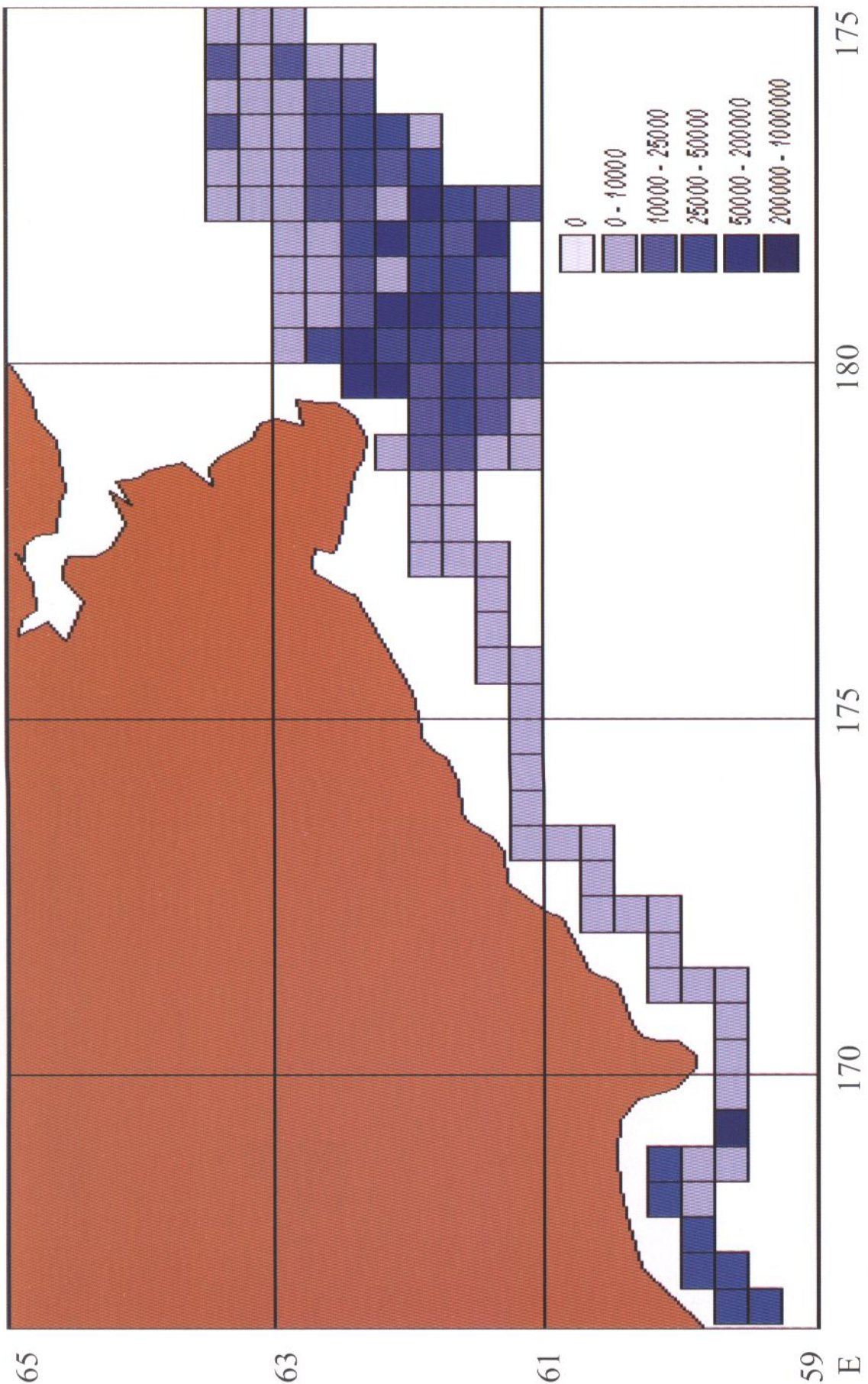


Рис. 59. Карта-схема плотности распределения минтая *Theragra chalcogramma* ($\text{kg}/\text{миля}^2$) среднемноголетние данные (1996-2003 гг.) по результатам зимних траловых съемок.

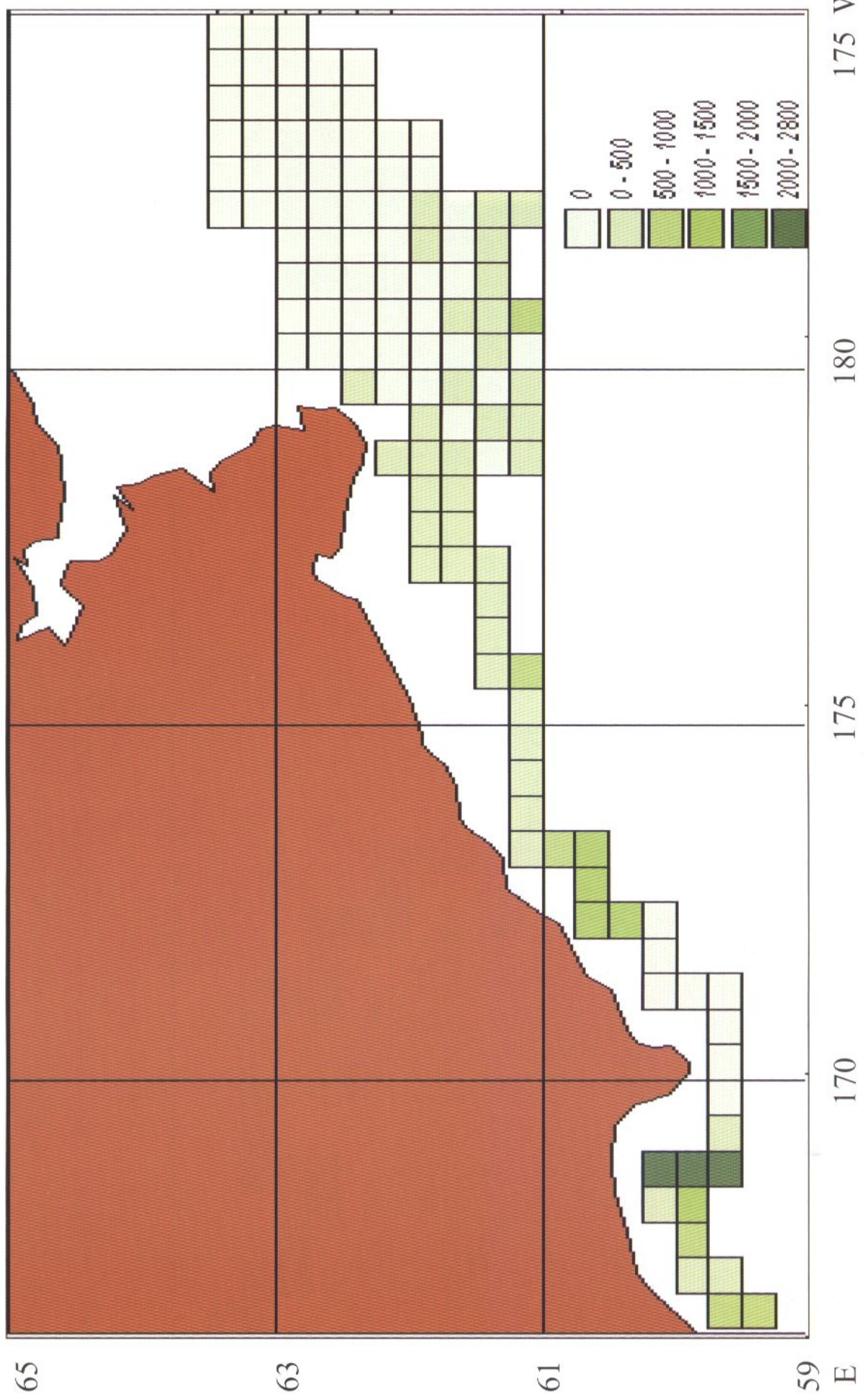


Рис. 60. Карта-схема плотности распределения азиатского стрелозубого палтуса *Atheresches evermanni* (кг/миля²), среднегодовые данные (1996-2003 гг.) по результатам зимних траловых съемок.

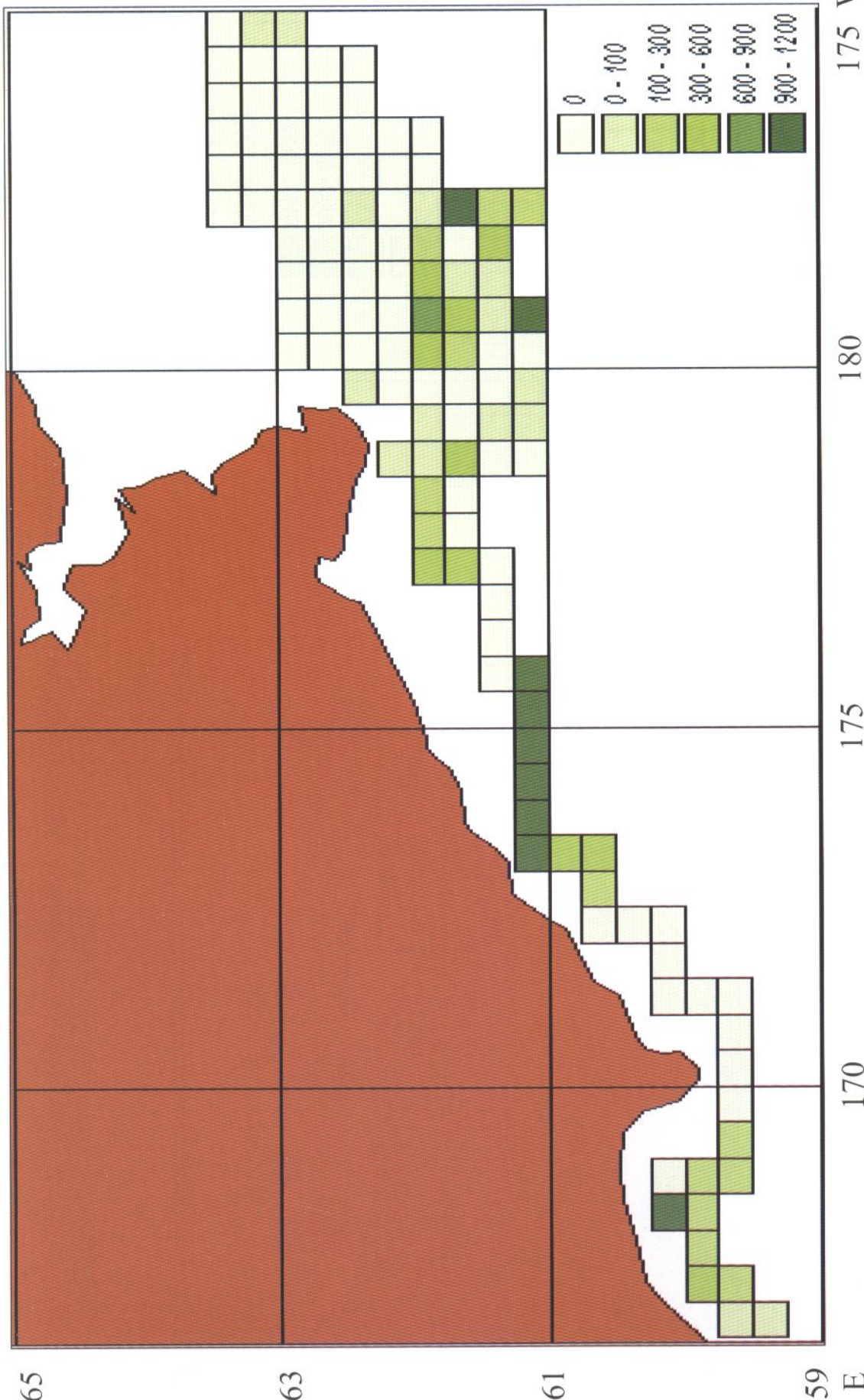


Рис. 61. Карта-схема плотности распределения американского стрелозубого палтуса *Atheresthes stomias* (кг/миля²), среднемноголетние данные (1996-2003 гг.) по результатам зимних траловых съемок.

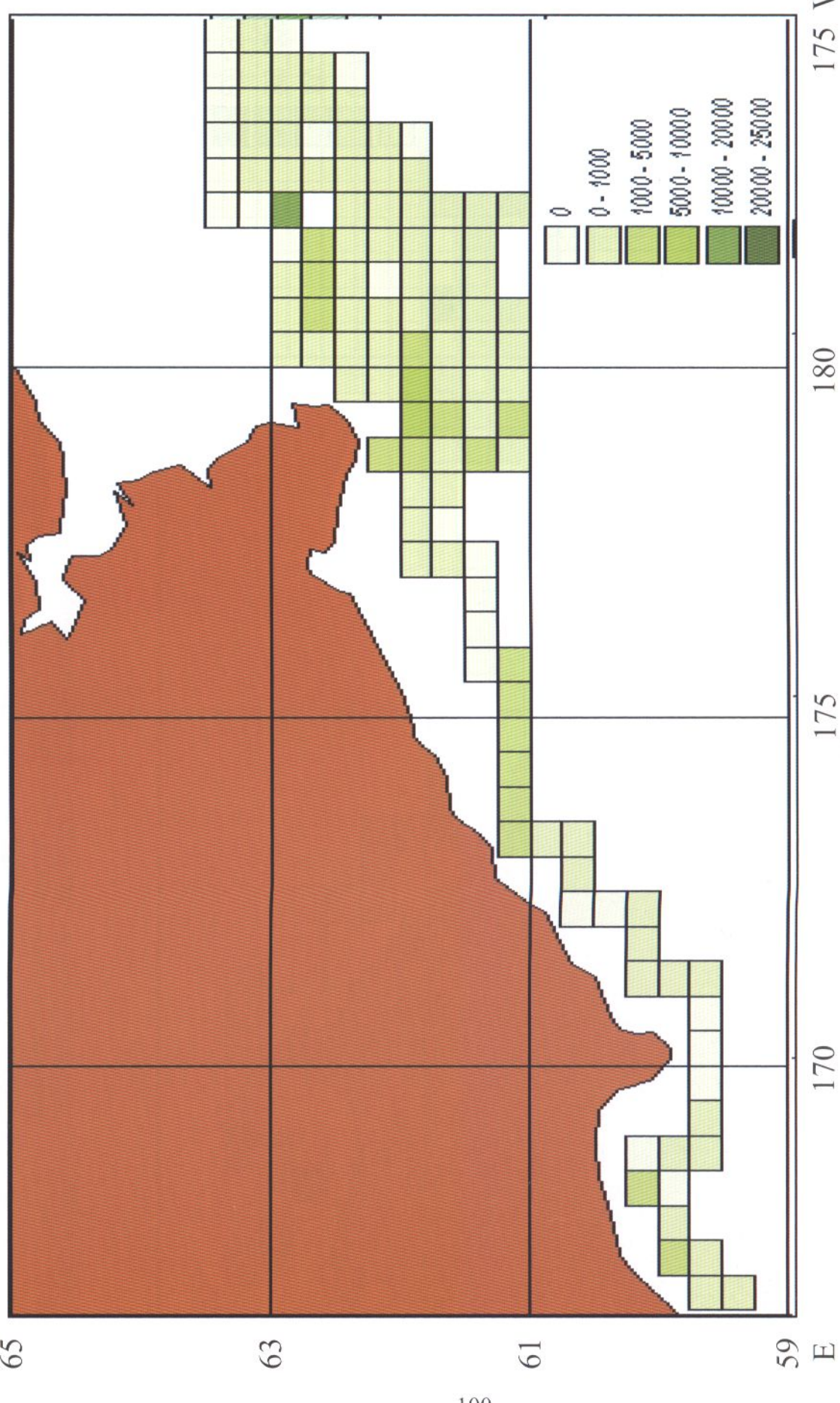
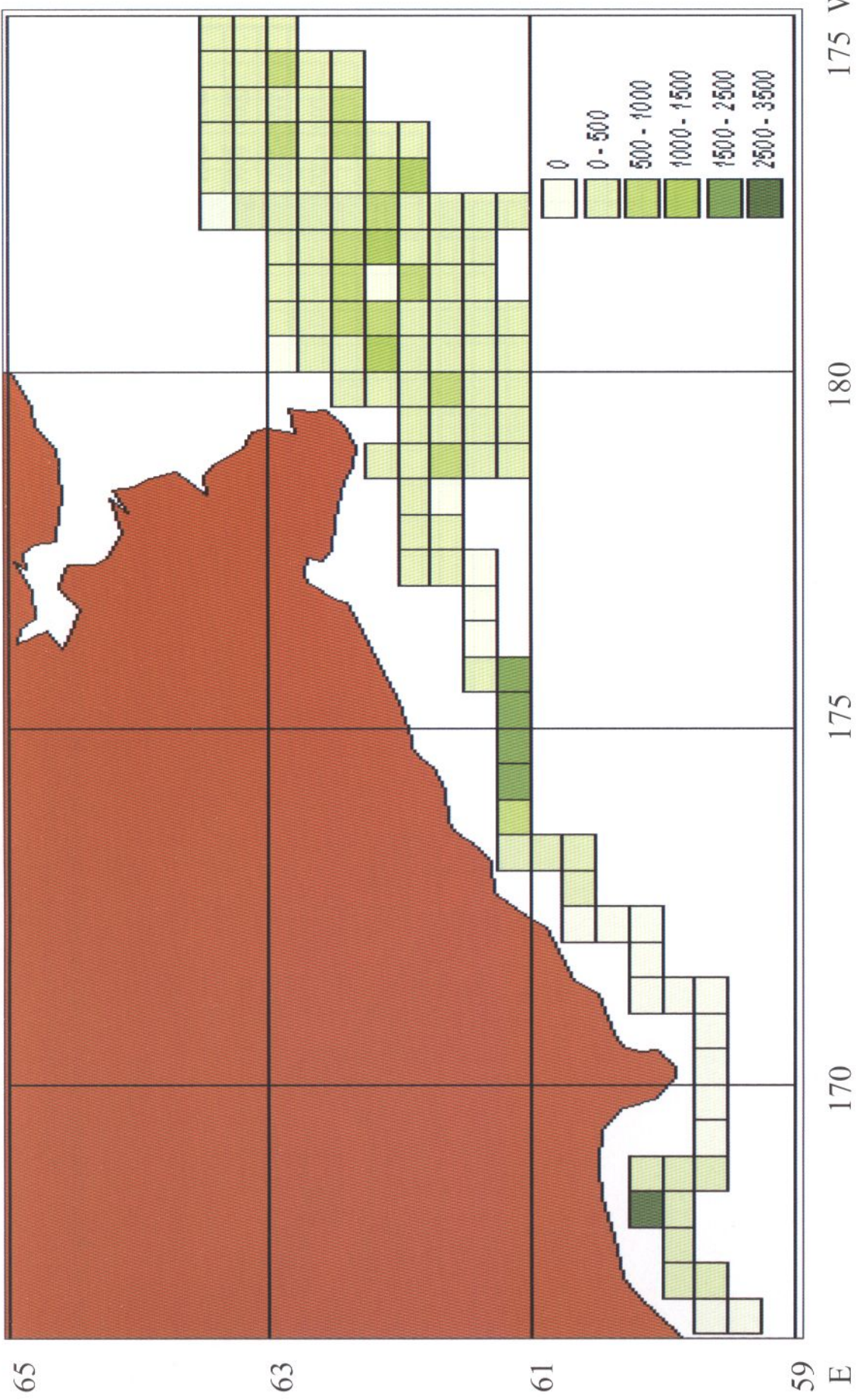


Рис. 62. Карта-схема плотности распределения северной двухлопастной камбалы *Lepidopsetta polyxesta* (кг/миля²), среднемноголетние данные (1996-2003 гг.) по результатам зимних трааловых съемок.

Рис. 63. Карта-схема плотности распределения палтусовидной камбалы *Hippoglossoides elassodon+H. robustus* ($\text{кг}/\text{миля}^2$), среднемноголетние данные (1996-2003 гг.) по результатам зимних траловых съемок.



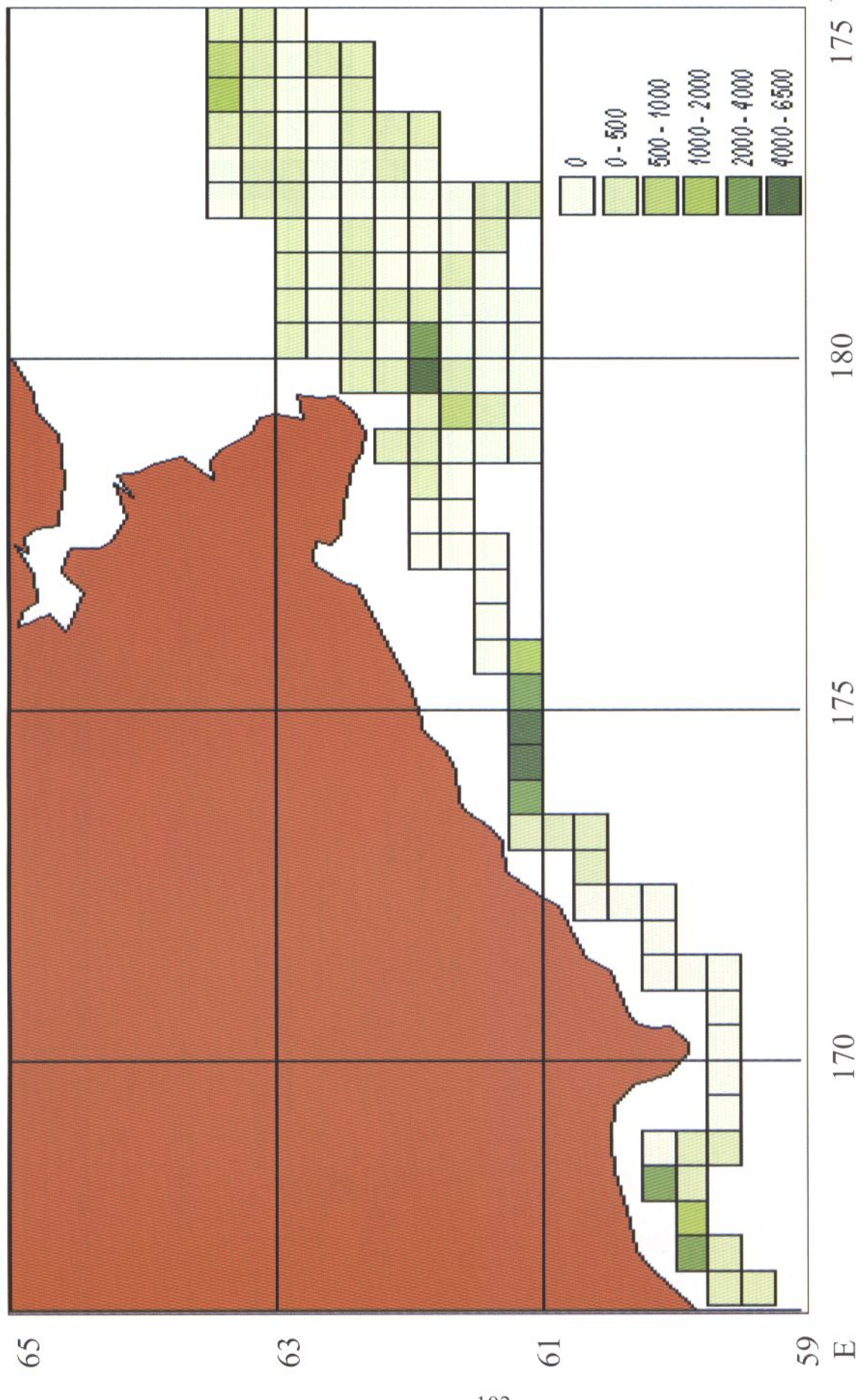
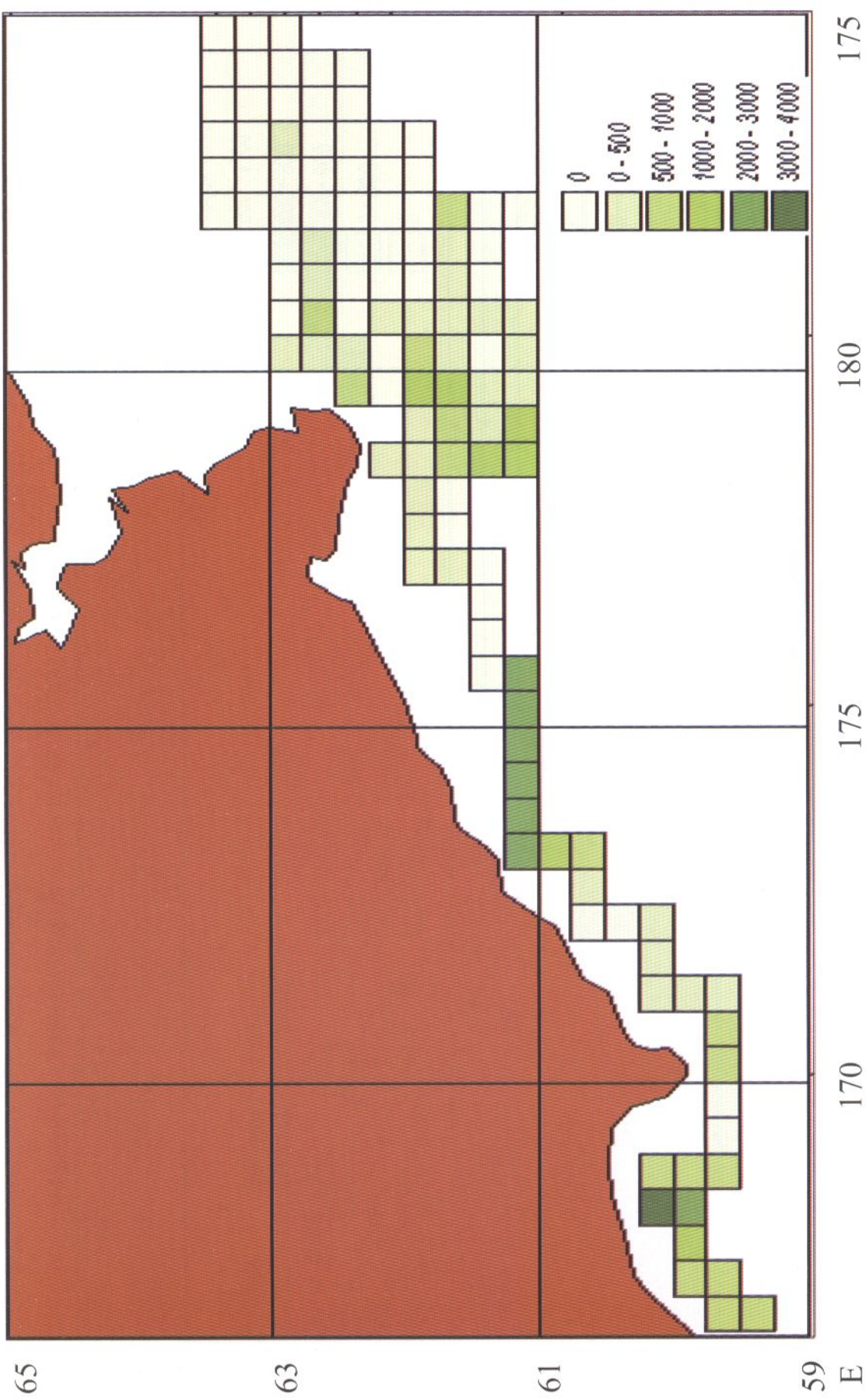


Рис. 64. Карта-схема плотности распределения четырехбугорчатой камбалы *Pleurotectes quadrituberculatus* (кг/миля²), среднемноголетние данные (1996-2003 гг.) по результатам зимних траловых съемок.

Рис. 65. Карта-схема плотности распределения тихоокеанского белокорого палтуса *Hippoglossus stenolepis* (кг/миля²), среднемноголетние данные (1996-2003 гг.) по результатам зимних гравировальных съемок.



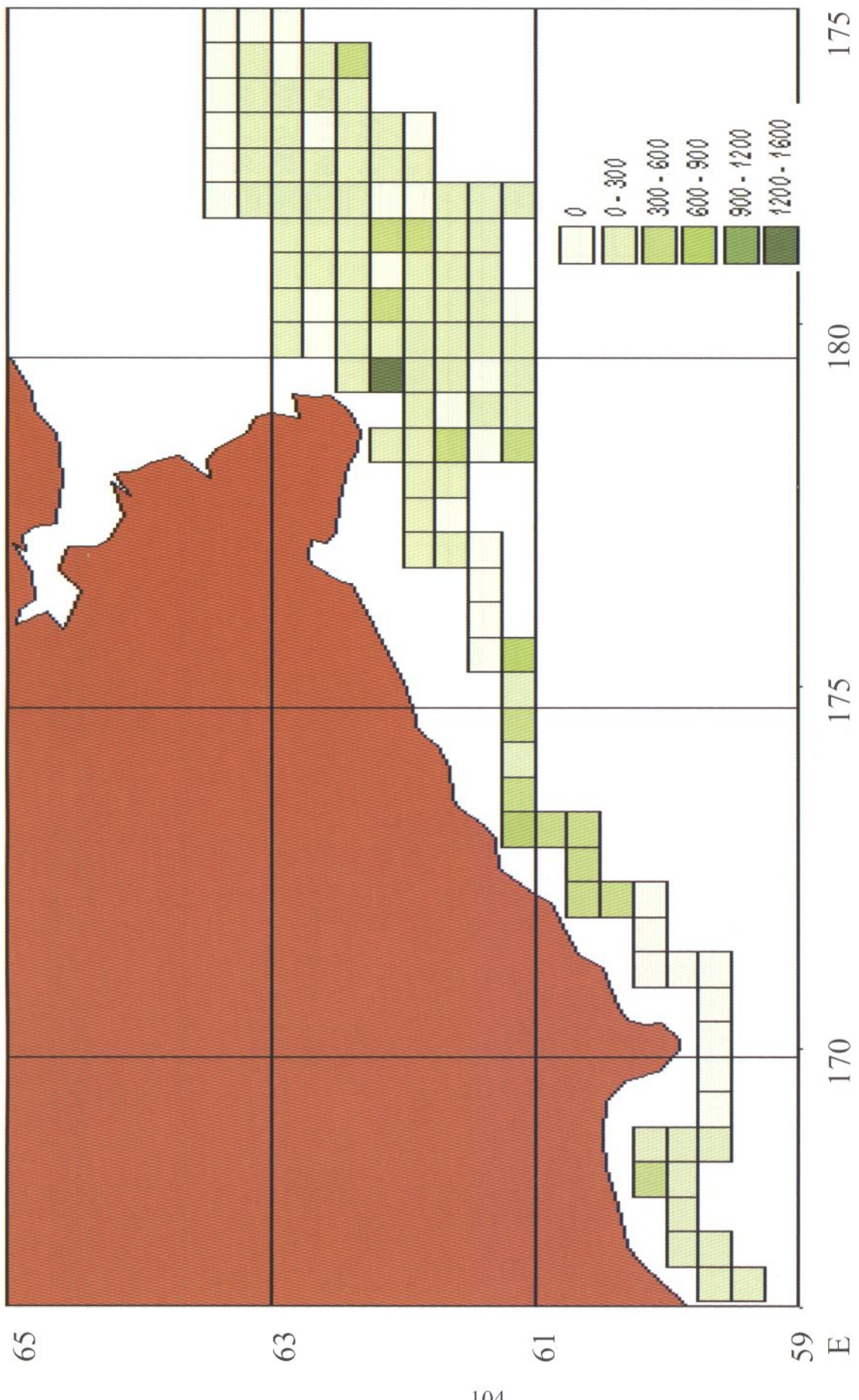


Рис. 66. Карта-схема плотности распределения тихоокеанского черного палтуса *Reinhardtius hippoglossoides matsuurae* ($\text{кг}/\text{миля}^2$), среднемноголетние данные (1996-2003 гг.) по результатам зимних траловых съемок.

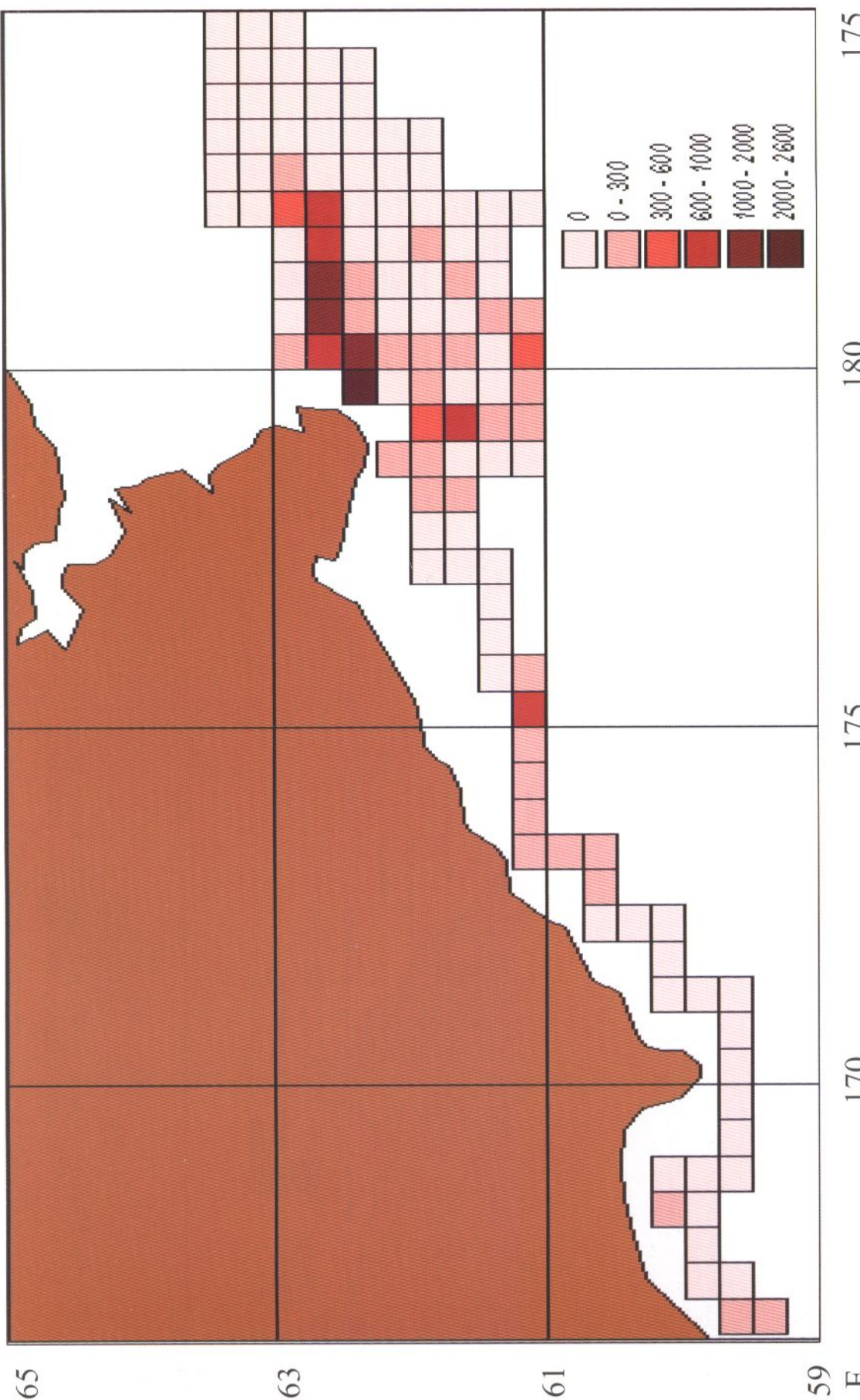


Рис. 67. Карта-схема плотности распределения керчака-яока *Myoxocephalus jaok* (кг/миля²), среднемноголетние данные (1996-2003 гг.) по результатам зимних траловых съемок.

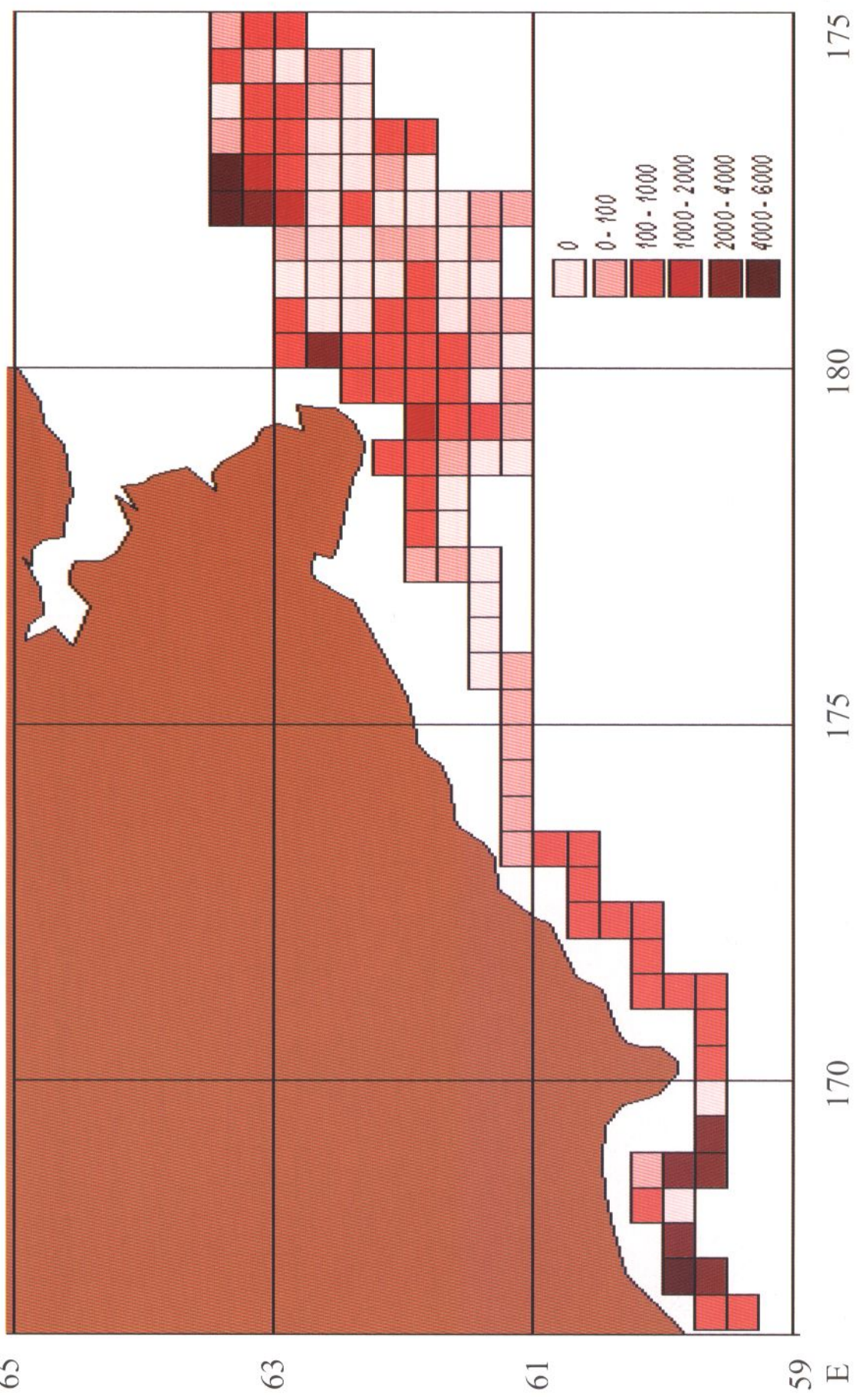


Рис. 68. Карта-схема плотности распределения многоиглого керчака *M. polyacanthosperhalus* ($\text{кг}/\text{миля}^2$), среднемноголетние данные (1996-2003 гг.) по результатам зимних гидрологических съемок.

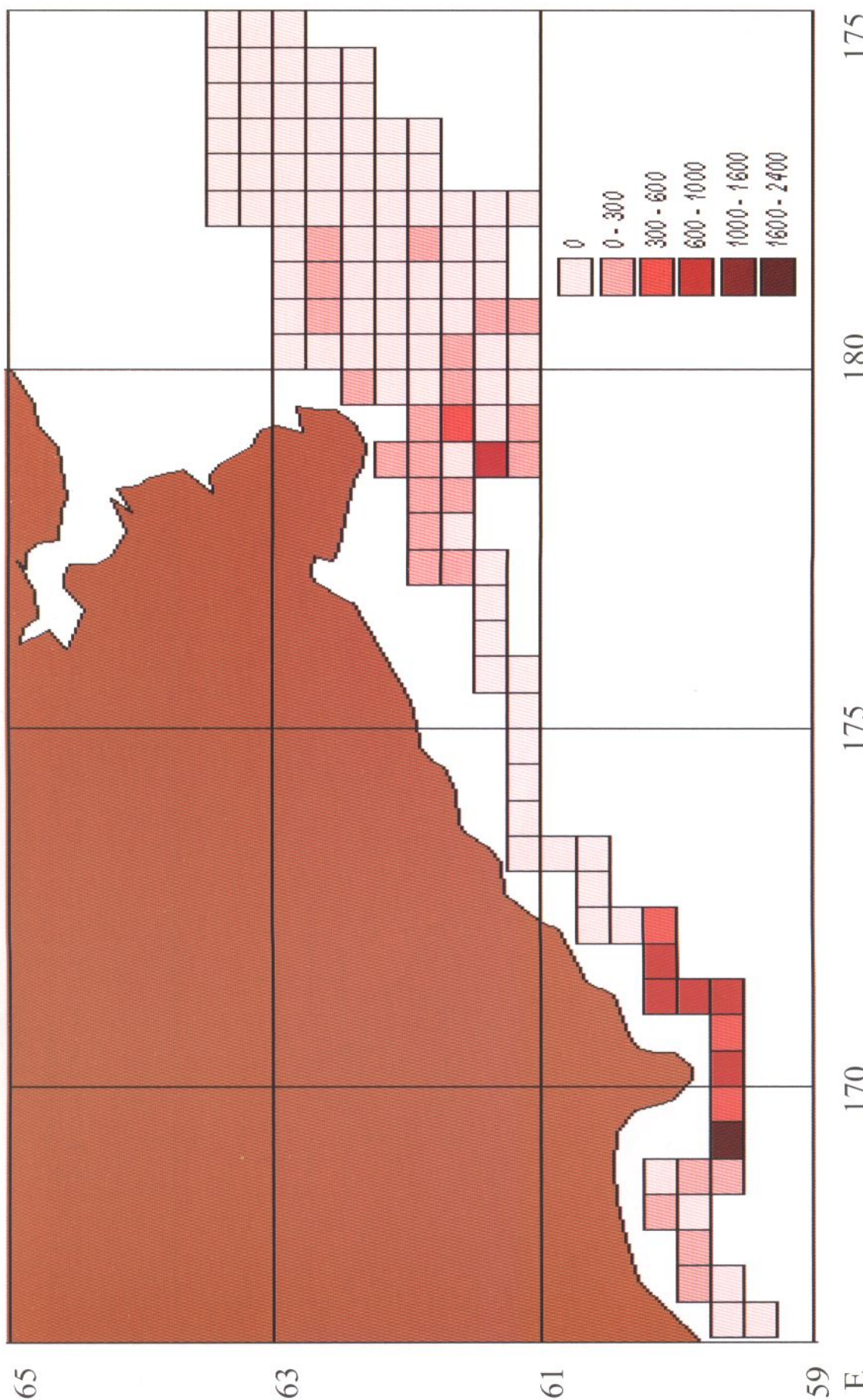


Рис. 69. Карта-схема плотности распределения белоброхого полулучшайника *Hemilepidotus jordani* ($\text{кг}/\text{мил.}^2$), среднемноголетние данные (1996-2003 гг.) по результатам зимних траекторных съемок.

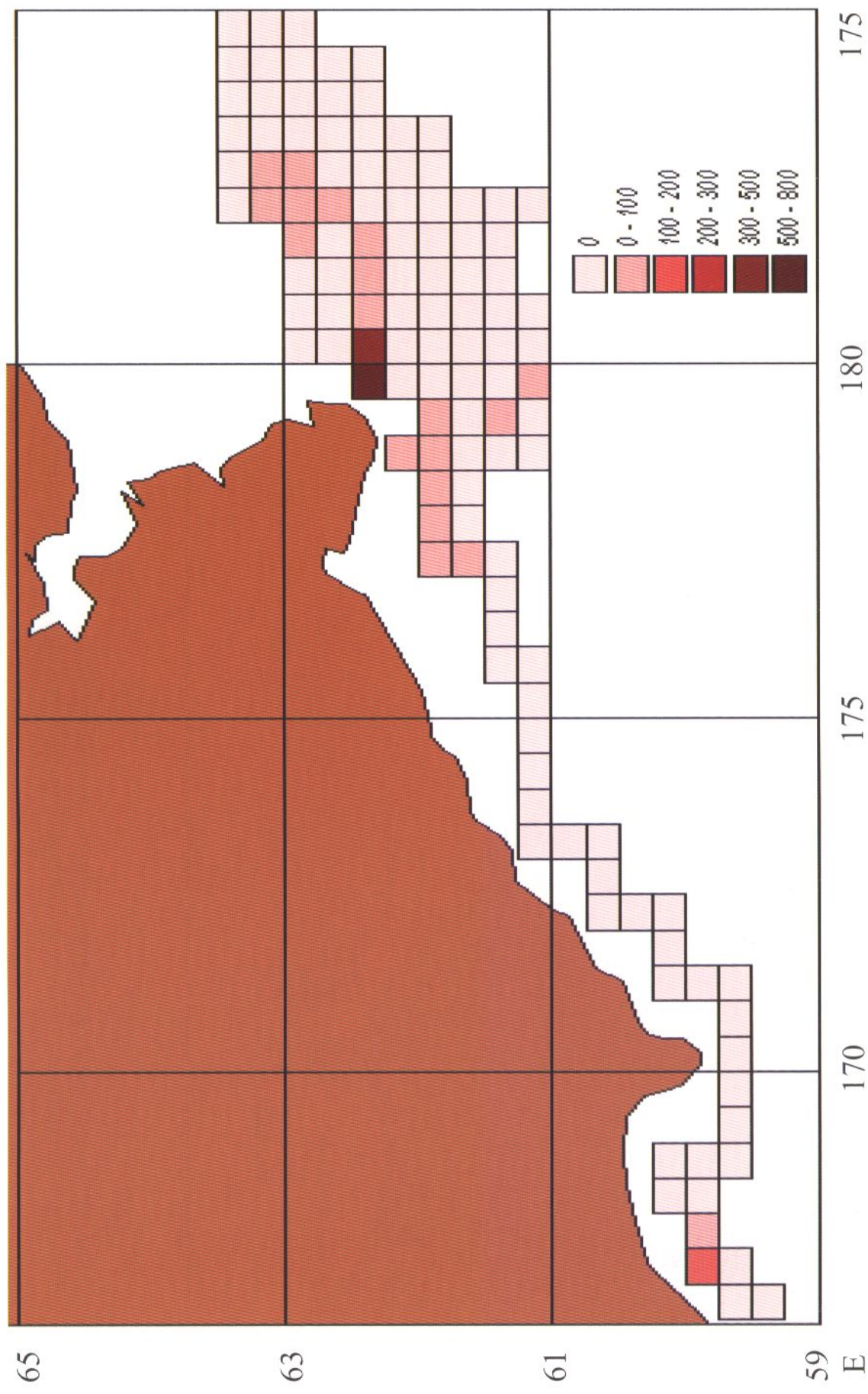


Рис. 70. Карта-схема плотности распределения узколобого шлемоносца *Gymnacanthus galeatus* (кг/миля²), средненоголетние данные (1996-2003 гг.) по результатам зимних трауловых съемок.

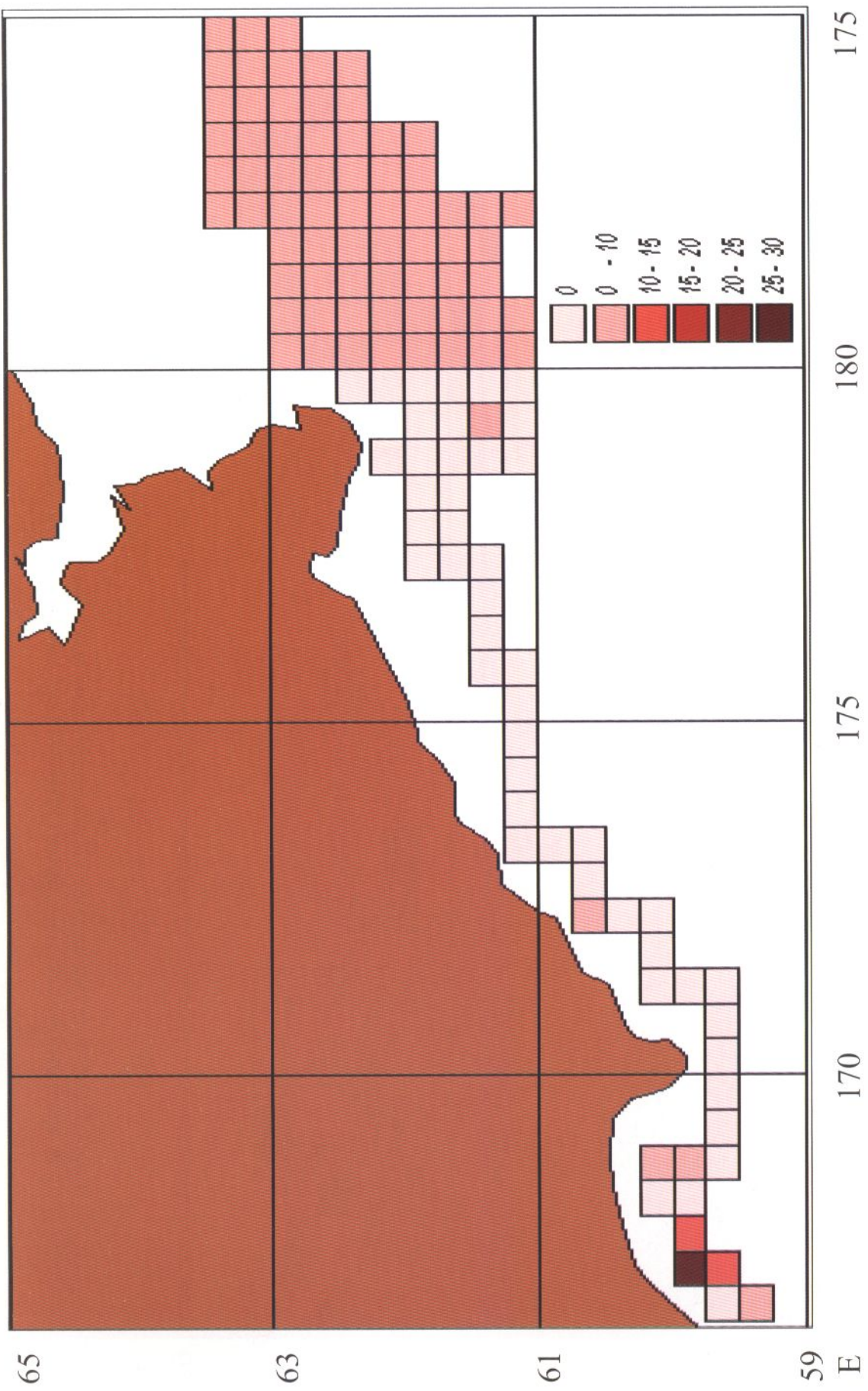


Рис. 71. Карта-схема плотности распределения большеглазого триглонса *Triglops scepticus* (кг/миля²), среднегодовые данные (1996-2003 гг.) по результатам зимних гравировальных съемок.

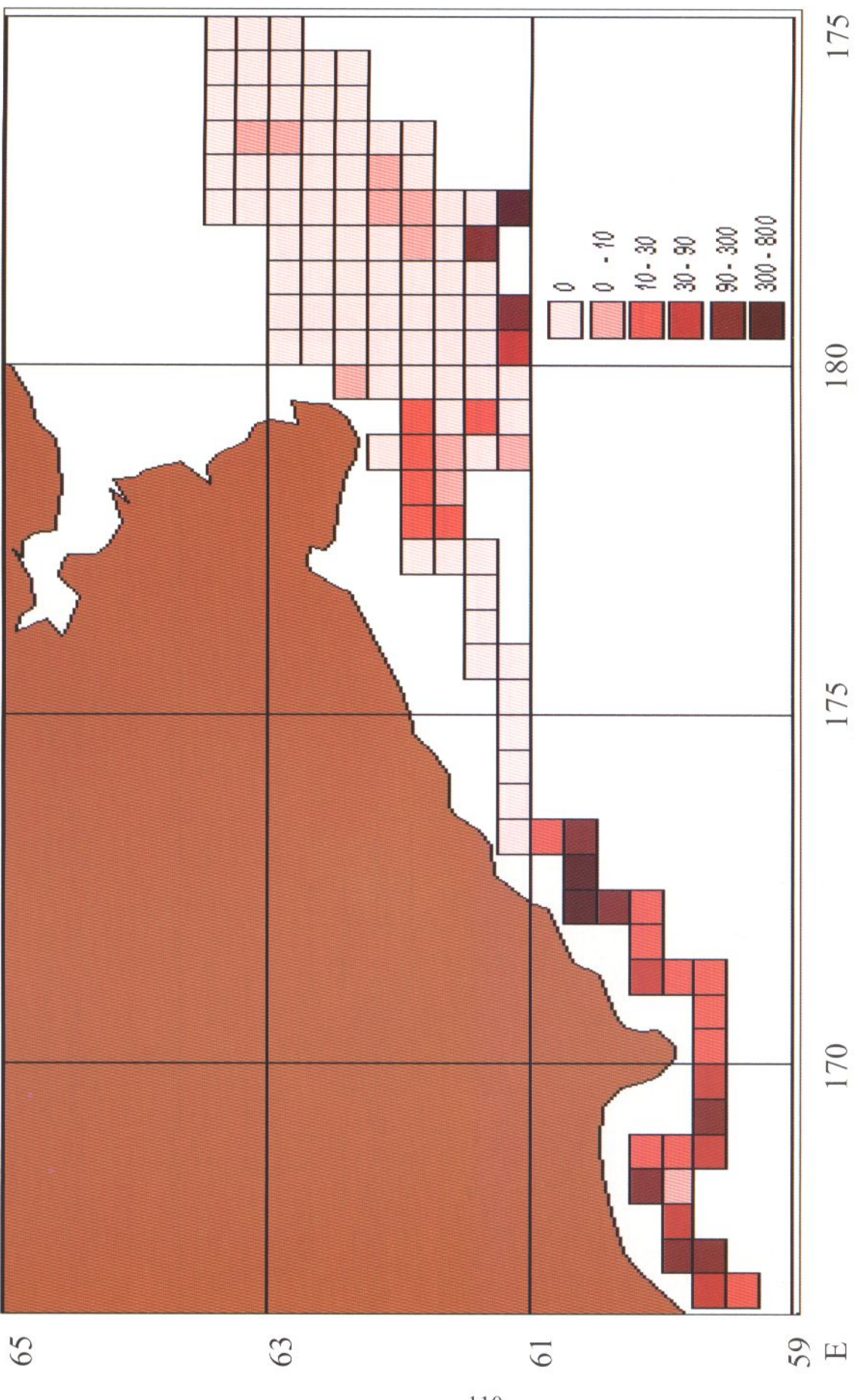


Рис. 72. Карта-схема плотности распределения мягкого бычка *Malacocitus zonurus* (кг/миля²), среднемноголетние данные (1996-2003 гг.) по результатам зимних трааловых съемок.

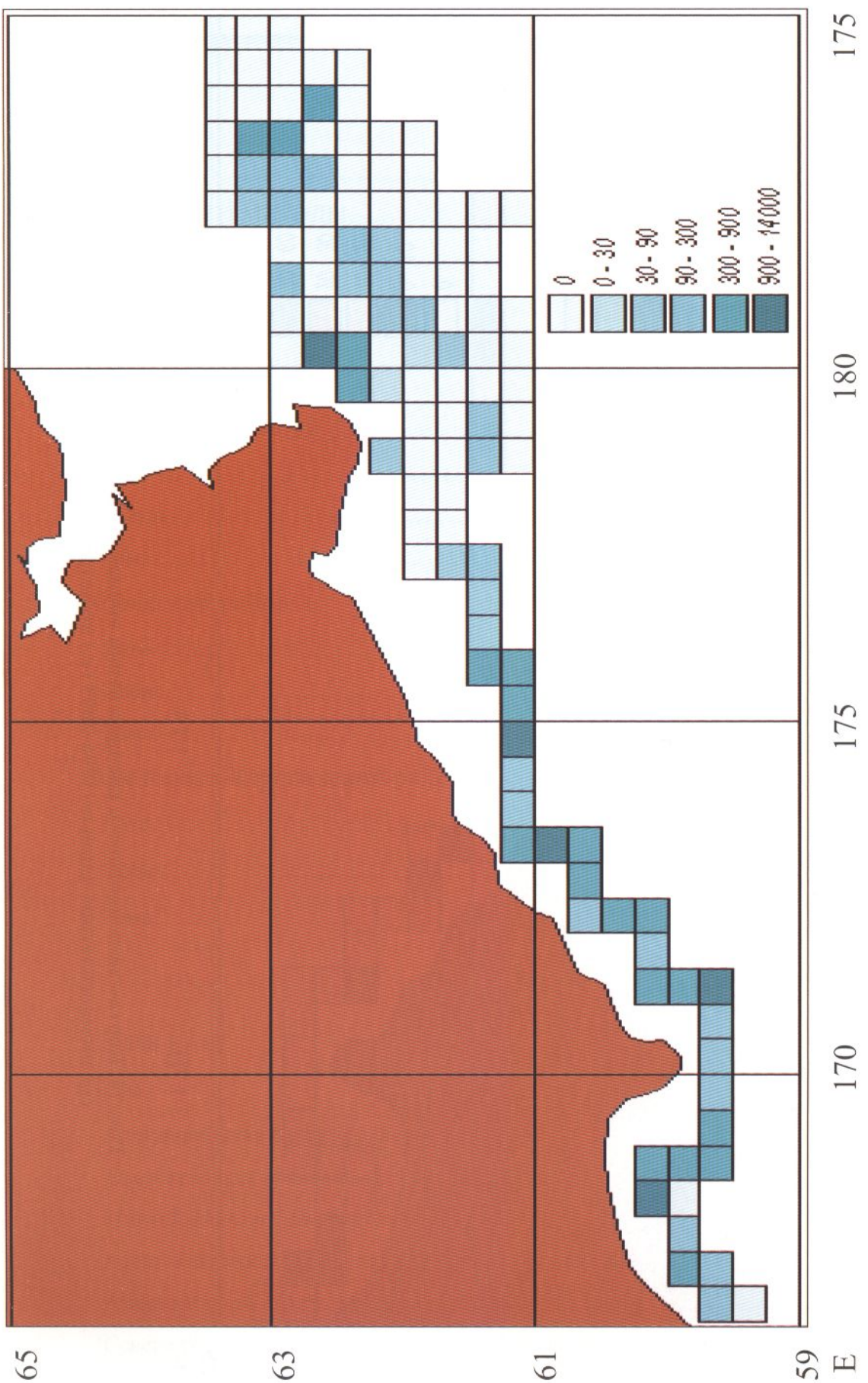


Рис. 73. Карта-схема плотности распределения охотского липариса *Liparis ochotensis* ($\text{kg}/\text{миля}^2$), среднемноголетние данные (1996-2003 гг.) по результатам зимних траовых съемок.

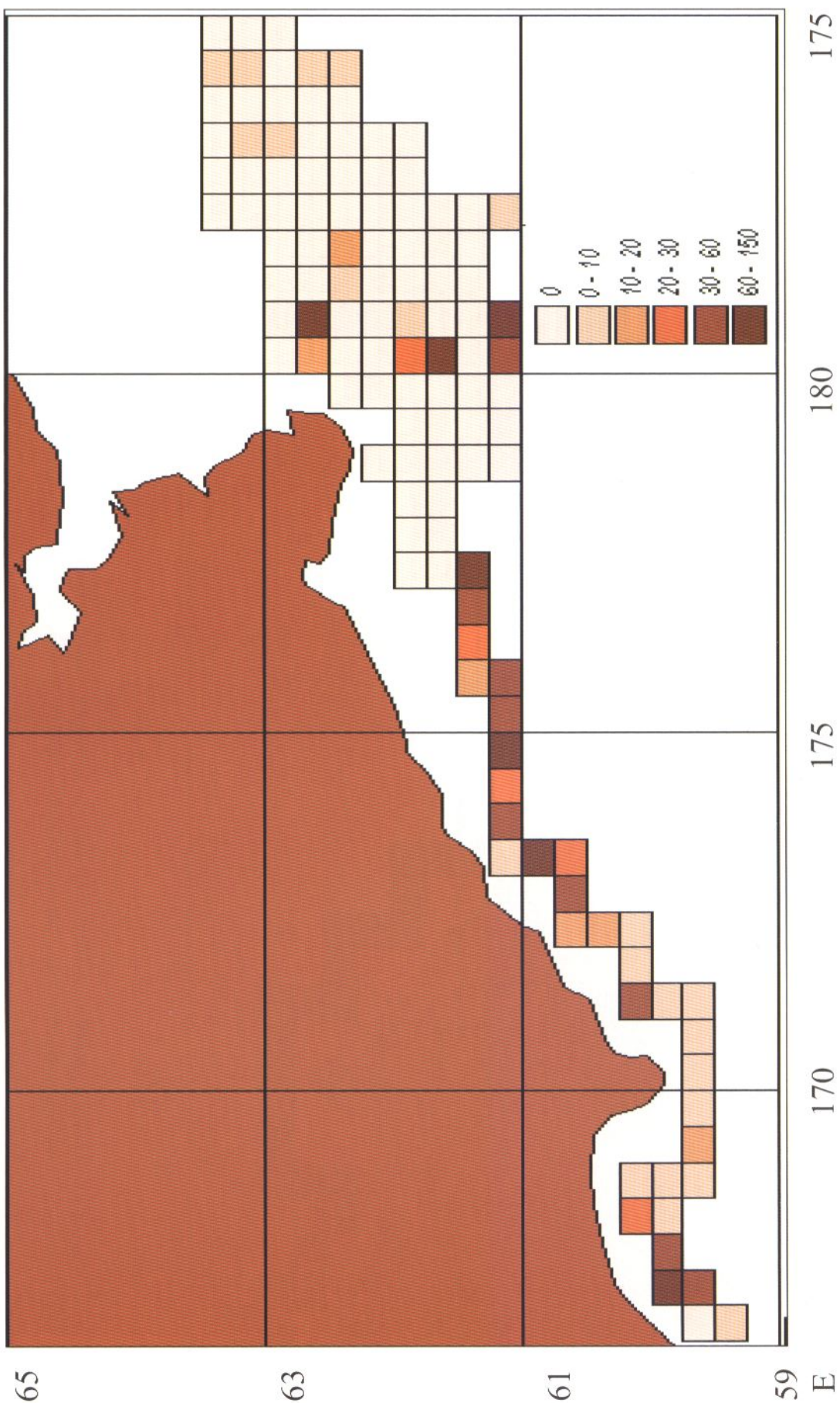


Рис. 74. Карта-схема плотности распределения японской лисички *Percis japonicus* (кг/миля²), среднемноголетние данные (1996-2003 гг.) по результатам зимних траловых съемок.

СОДЕРЖАНИЕ

ВВЕДЕНИЕ.....	5
МАТЕРИАЛЫ И МЕТОДЫ.....	7
ЛИТЕРАТУРА.....	11

СЕРИЯ ТАБЛИЦ

Наваринский район

Лето.....	13
Осень.....	17
Зима.....	20

Корякский район

Лето.....	22
Осень.....	25
Зима.....	26

Олюторско-Карагинский район

Лето.....	29
Осень.....	32
Зима.....	35

СЕРИЯ КАРТ

Лето

Алеутский скат <i>Bathyraja aleutica</i>	39
Тихookeанская треска <i>Gadus macrocephalus</i>	40
Минтай <i>Theragra chalcogramma</i>	41
Азиатский стрелозубый палтус <i>Atheresthes evermanni</i>	42
Американский стрелозубый палтус <i>Atheresthes stomias</i>	43
Северная двухлинейная камбала <i>Lepidopsetta polyxystra</i>	44

Палтусовидная камбала <i>Hippoglossoides elassodon</i> + <i>H. robustus</i>	45
Четырехбуторчатая камбала <i>Pleuronectes quadrituberculatus</i>	46
Тихоокеанский белокорый палтус <i>Hippoglossus stenolepis</i>	47
Тихоокеанский черный палтус <i>Reinhardtius hippoglossoides matsuurae</i>	48
Длиннoperый малорот <i>Glyptocephalus zachirus</i>	49
Керчак-яок <i>Myoxocephalus jaok</i>	50
Многоиглый керчак <i>Myoxocephalus polyacanthocephalus</i>	51
Пестрый получешуйник <i>Hemilepidotus gilberti</i>	52
Белобрюхий получешуйник <i>Hemilepidotus jordani</i>	53
Узколобый шлемоносец <i>Gymnacanthus galeatus</i>	54
Колючий ицел <i>Icelus spiniger</i>	55
Улька <i>Ulca bolini</i>	56
Щетинистый бычок <i>Dasy cottus setiger</i>	57
Мягкий бычок <i>Malacocottus zonurus</i>	58
Коротконогий ликод <i>Lycodes brevipes</i>	59
Редкозубый ликод <i>Lycodes ravidens</i>	60
Охотский липарис <i>Liparis ochotensis</i>	61
Шершавый карепрокт <i>Careproctus rastrinus</i>	62
Японская лисичка <i>Percis japonicus</i>	63
Тонкохвостая лисичка <i>Sarritor frenatus</i>	64
Тонкорылая лисичка <i>Sarritor leptorhynchus</i>	65

Осень

Алеутский скат <i>Bathyraja aleutica</i>	66
Навага <i>Eleginus gracilis</i>	67
Тихоокеанская треска <i>Gadus macrocephalus</i>	68
Минтай <i>Theragra chalcogramma</i>	69
Азиатский стрелозубый палтус <i>Atheresthes evermanni</i>	70
Американский стрелозубый палтус <i>Atheresthes stomias</i>	71
Северная двухлинейная камбала <i>Lepidotetta polyxystra</i>	72
Палтусовидная камбала <i>Hippoglossoides elassodon</i> + <i>H. robustus</i>	73
Желтоперая камбала <i>Limanda aspera</i>	74
Четырехбуторчатая камбала <i>Pleuronectes quadrituberculatus</i>	75
Тихоокеанский белокорый палтус <i>Hippoglossus stenolepis</i>	76

Тихоокеанский черный палтус <i>Reinhardtius hippoglossoides matsuurae</i>	77
Керчак-яок <i>Myoxocephalus jaok</i>	78
Многоиглый керчак <i>Myoxocephalus polyacanthocephalus</i>	79
Пестрый получешуйник <i>Hemilepidotus gilberti</i>	80
Белобрюхий получешуйник <i>Hemilepidotus jordani</i>	81
Узколобый шлемоносец <i>Gymnacanthus galeatus</i>	82
Колючий ицел <i>Icelus spiniger</i>	83
Улька <i>Ulca bolini</i>	84
Большеглазый триглопс <i>Triglops scepticus</i>	85
Щетинистый бычок <i>Dasyctonus setiger</i>	86
Мягкий бычок <i>Malacocottus zonurus</i>	87
Охотский липарис <i>Liparis ochotensis</i>	88
Широколобый карепрокт <i>Careproctus furcellus</i>	89
Шершавый карепрокт <i>Careproctus rastrinus</i>	90
Запрора <i>Zaprora silenus</i>	91
Японская лисичка <i>Percis japonicus</i>	92
Тонкохвостая лисичка <i>Sarritor frenatus</i>	93
 Зима	
Скаты рода <i>Bathyraja</i>	94
Навага <i>Eleginops gracilis</i>	95
Тихоокеанская треска <i>Gadus macrocephalus</i>	96
Минтай <i>Theragra chalcogramma</i>	97
Азиатский стрелозубый палтус <i>Atheresthes evermanni</i>	98
Американский стрелозубый палтус <i>Atheresthes stomias</i>	99
Северная двухлинейная камбала <i>Lepidotsetta polyxystra</i>	100
Палтусовидная камбала <i>Hippoglossoides elassodon+H. robustus</i>	101
Четырехбуторчатая камбала <i>Pleuronectes quadrituberculatus</i>	102
Тихоокеанский белокорый палтус <i>Hippoglossus stenolepis</i>	103
Тихоокеанский черный палтус <i>Reinhardtius hippoglossoides matsuurae</i>	104
Керчак-яок <i>Myoxocephalus jaok</i>	105
Многоиглый керчак <i>Myoxocephalus polyacanthocephalus</i>	106
Белобрюхий получешуйник <i>Hemilepidotus jordani</i>	107
Узколобый шлемоносец <i>Gymnacanthus galeatus</i>	108

Большеглазый триглопс <i>Triglops scepticus</i>	109
Мягкий бычок <i>Malacocotus zonurus</i>	110
Охотский липарис <i>Liparis ochotensis</i>	111
Японская лисичка <i>Percis japonicus</i>	112

CONTENTS

INTRODUCTION.....	5
MATERIAL AND METHODS.....	7
REFERENCES	11

SET OF TABLES

Navarin region	
Summer.....	13
Autumn.....	17
Winter.....	20
Koryak region	
Summer.....	22
Autumn.....	25
Winter.....	26
Olutor-Karagin region	
Summer.....	29
Autumn.....	32
Winter.....	35

SET OF MAPS

Summer	
Aleutian skate <i>Bathyraja aleutica</i>	39
Pacific cod <i>Gadus macrocephalus</i>	40

Walleye pollock <i>Theragra chalcogramma</i>	41
Kamchatka flounder <i>Atheresthes evermanni</i>	42
Arrowtooth flounder <i>Atheresthes stomias</i>	43
Northern rock sole <i>Lepidopsetta polyxystra</i>	44
Flat-head sole <i>Hippoglossoides elassodon+H. robustus</i>	45
Alaska plaice <i>Pleuronectes quadrituberculatus</i>	46
Pacific halibut <i>Hippoglossus stenolepis</i>	47
Pacific black halibut <i>Reinhardtius hippoglossoides matsuurae</i>	48
Rex sole <i>Glyptocephalus zachirus</i>	49
Plain sculpin <i>Myoxocephalus jaok</i>	50
Great sculpin <i>Myoxocephalus polyacanthocephalus</i>	51
Banded Irish lord <i>Hemilepidotus gilberti</i>	52
Yellow Irish lord <i>Hemilepidotus jordani</i>	53
Armorhead sculpin <i>Gymnacanthus galeatus</i>	54
Spiny Icelus <i>Icelus spiniger</i>	55
Big mouth sculpin <i>Ulca bolini</i>	56
Spinyhead sculpin <i>Dasyctonus setiger</i>	57
Darkfin sculpin <i>Malacocottus zonurus</i>	58
Short-finned eelpout <i>Lycodes brevipes</i>	59
Few-tooothed eelpout <i>Lycodes raridens</i>	60
Okhotsk snailfish <i>Liparis ochotensis</i>	61
Pink snailfish <i>Careproctus rastminus</i>	62
Japanese poacher <i>Percis japonicus</i>	63
Sawback poacher <i>Sarritor frenatus</i>	64
Longnose poacher <i>Sarritor leptorhynchus</i>	65
Autumn	
Aleutian skate <i>Bathyraja aleutica</i>	66
Wachna cod <i>Eleginus gracilis</i>	67
Pacific cod <i>Gadus macrocephalus</i>	68
Walleye pollock <i>Theragra chalcogramma</i>	69
Kamchatka flounder <i>Atheresthes evermanni</i>	70
Arrowtooth flounder <i>Atheresthes stomias</i>	71
Northern rock sole <i>Lepidopsetta polyxystra</i>	72

Flat-head sole <i>Hippoglossoides elassodon</i> + <i>H. robustus</i>	73
Yellowfin sole <i>Limanda aspera</i>	74
Alaska plaice <i>Pleuronectes quadrituberculatus</i>	75
Pacific halibut <i>Hippoglossus stenolepis</i>	76
Pacific black halibut <i>Reinhardtius hippoglossoides matsuurae</i>	77
Plain sculpin <i>Myoxocephalus jaok</i>	78
Great sculpin <i>Myoxocephalus polyacanthocephalus</i>	79
Banded Irish lord <i>Hemilepidotus gilberti</i>	80
Yellow Irish lord <i>Hemilepidotus jordani</i>	81
Armorhead sculpin <i>Gymnacanthus galeatus</i>	82
Spiny Icelus <i>Icelus spiniger</i>	83
Big mouth sculpin <i>Ulca bolini</i>	84
Bigeye sculpin <i>Triglops scepticus</i>	85
Spinyhead sculpin <i>Dasyctonus setiger</i>	86
Darkfin sculpin <i>Malacocottus zonurus</i>	87
Okhotsk snailfish <i>Liparis ochotensis</i>	88
Forktail snailfish <i>Careproctus furcellus</i>	89
Pink snailfish <i>Careproctus rastrimus</i>	90
Prowfish <i>Zaprora silenus</i>	91
Japanese poacher <i>Percis japonicus</i>	92
Sawback poacher <i>Sarritor frenatus</i>	93
Winter	
Scates of genus <i>Bathyraja</i>	94
Wachna cod <i>Eleginus gracilis</i>	95
Pacific cod <i>Gadus macrocephalus</i>	96
Walleye pollock <i>Theragra chalcogramma</i>	97
Kamchatka flounder <i>Atheresthes evermanni</i>	98
Arrowtooth flounder <i>Atheresthes stomias</i>	99
Northern rock sole <i>Lepidotsetta polyxystra</i>	100
Flat-head sole <i>Hippoglossoides elassodon</i> + <i>H. robustus</i>	101
Alaska plaice <i>Pleuronectes quadrituberculatus</i>	102
Pacific halibut <i>Hippoglossus stenolepis</i>	103
Pacific black halibut <i>Reinhardtius hippoglossoides matsuurae</i>	104

Plain sculpin <i>Myoxocephalus jaok</i>	105
Great sculpin <i>Myoxocephalus polyacanthocephalus</i>	106
Yellow Irish lord <i>Hemilepidotus jordani</i>	107
Armorhead sculpin <i>Gymnacanthus galeatus</i>	108
Bigeye sculpin <i>Triglops scepticus</i>	109
Darkfin sculpin <i>Malacocottus zonurus</i>	110
Okhotsk snailfish <i>Liparis ochotensis</i>	111
Japanese poacher <i>Percis japonicus</i>	112

**АТЛАС
количественного распределения
демерсальных рыб шельфа и верхнего материкового склона
северо-западной части Берингова моря**

Заведующая редакцией *Г.П. Короткова*
Художественный редактор *В.В. Веселова*

Корректор *Е.П. Яковлева*
Компьютерная верстка *Т.В. Шуваловой*

Подписано в печать 20.07.2006 г. Формат 60×84 $\frac{1}{8}$
Печ. л. 15,12 Тираж 250 экз. Заказ № 535

Издательство ВНИРО
107 140, Москва, ул. Верхняя Красносельская, 17

Тел.: (495) 264-65-33
Факс: (495) 264-91-87